



مقالات‌های پژوهشی

- بررسی تراکم استخوان در گروه‌های سنی مختلف زنان اصفهان در سال ۱۳۹۳ ۲۲۷۱
دکتر علامرضا داشتی، دکتر محمد رضا سلامت، قاسم عاصی، امیر حسین سلامت
- تبیین تأثیر نرم افزار آموزشی Let's Face It جهت بهبود مهارت‌های شناخت چهره در مبتلایان به اویسم شهر اصفهان ۲۲۷۹
دکتر مصطفی نجفی، زینب جعفری، دکتر مهران سحکی
- تأثیر لیزر فوکوگولاسیون رتین به روش‌های Pattern Scan و تک نقطه‌ای در تعییرات ایسکمی رتین و نتوواسکولا ریزاسیون آن در بیماران مبتلا به رتینوباتی دیابتی؛ یک کارآزمایی بالینی ۲۲۸۸
دکر فرزان کیان ارجی، دکتر علیرضا چمشیدی مدد، دکتر علیرضا دهقانی، دکتر خدایار کلابچی، دکر حشمت‌الله قبری، دکر محمد رضا اخلاقی
- بررسی میزان ابتلاء اختلالات خواب در بیماران مبتلا به ریزش موی سکه‌ای ۲۲۹۶
دکتر غلامحسین غفاری‌پور، دکتر عباس زمانیان، دکتر عباس راثی، دکتر سیده اسدیگی، دکتر شیوا قدس
- بررسی تأثیر پارامترهای پرتو درمانی بر کیفیت زندگی بیماران مبتلا به سرطان سر و گردن پس از پرتو درمانی تطبیقی سه بعدی ۲۳۰۲
سید رضا موسوی، دکتر نصرالله جباری
- بررسی مقایسه‌ای، اضطراب، افسردگی، استرس و کیفیت زندگی در دو گروه مبتلا و غیر مبتلا به آکنه ۲۳۰۹
دکر محمد علی نیلوفر و زاده، نیلوفر حمیدی نسب، محمد رضا نیلی پور طباطبایی، آسیه خیدری، دکر سید محسن حسینی

مقاله کوتاه

- تأثیر آلوئودرا بر نفروتوکسیستی کلیوی ناشی از جنتاماسین ۲۳۱۶
دکر مرضیه کافشانی، شبیم حاجیان، دکر محمود رفیعیان کوبایی

Original Articles

- Bone Mineral Density in Women of Different Age Groups in Isfahan, Iran in 2013-2014 2278
Gholamreza Dashti PhD, Mohammadreza Salamat PhD, Qasem Assi, Amirhossein Salamat MSc
- Effect of "Let's Face It" Computer Game on Improving Face Recognition Skills in Patients with Autism Spectrum Disorders 2287
Mostafa Najafi MD, Zeinab Jafari, Behzad Mahaki PhD
- Comparison of the Effects of the Pattern Scan and Conventional Single Spot Panretinal Photocoagulation in Patients with Proliferative Diabetic Retinopathy; A Randomized Clinical Trial 2295
Farzan Kianersi MD, Alireza Jamshidimadad MD, Alireza Dehghani MD, Khodayar Golabchi MD, Heshmatollah Ghanbari MD, Mohamadreza Akhlagh MD
- The Prevalence of Sleep Disorders in Patients with Alopecia Areata 2301
Gholamhossein Ghafarpour MD, Abbas Zamanian MD, Abbas Rasi MD, Sepideh Asadbeigi MD, Shiva Ghods MD
- Influence of Radiation Therapy Parameters on the Quality of Life in Patients with Head and Neck Cancer Treated with Three-Dimensional Conformal Radiotherapy 2308
Seyed Reza Mousavi MSc, Nasrollah Jabbari PhD
- Comparison of Anxiety, Depression, Stress and Quality of Life in Patients Acne and Healthy Individuals 2315
Mohammad Ali Nilforoushzadeh MD, Niloufar Hamidinasab, Mohammad Reza Nilipour-Tabatabaei, Asieh Heidari, Sayed Mohsen Hosseini PhD

Short Communication

- The Effects of Aloe Vera against Gentamicin-Induced Tubular Toxicity 2320
Marzieh Kafeshani PhD, Shabnam Hajian MSc, Mahmoud Rafieian-Kopaei PhD



محله دانشکده پزشکی اصفهان

سال سی و سوم، شماره (۳۶۵)، هفته اول اخضد ۱۳۹۴

صاحب امتیاز:

دانشگاه علوم پزشکی و خدمات بهداشتی- درمانی استان اصفهان

مدیر مسؤول: دکتر منصور شعله ور سردبیر افتخاری: دکتر رویا کلیشادی

سردبیر: دکتر مجید برکتین

معاون سردبیر: دکتر مریم راد احمدی

امور نشر:

(ویراستاری، صفحه آرایی، طراحی و چاپ)

شرکت فرزانگان راداندیش

اصفهان، صندوق پستی ۸۱۴۶۵-۱۷۹۸

تلفن و دورنگار: ۰۳۱-۳۶۶۸۶۳۰۲

f.radandish@gmail.com
www.farzaneganco.ir

تیراژ: ۵۰۰ نسخه

ناشر:

انتشارات دانشگاه علوم پزشکی اصفهان

نشانی: اصفهان، خیابان هزار جریب، دانشگاه علوم پزشکی اصفهان

E-mail: publications@mui.ac.ir

دفتر مجله: دانشکده پزشکی صندوق پستی: ۸۱۷۴۴/۱۷۶

مسئول دفتر: گلنazar رجبی

دورنگار: ۰۳۱-۳۷۹۲۲۲۹۱

تلفن: ۰۳۱-۳۶۶۹۴۷۳۷

E-mail: jims@med.mui.ac.ir

<http://www.journals.mui.ac.ir/jims>

وب سایت مجله:

این مجله در نمایه‌های بین‌المللی زیر در دسترس قرار دارد.

- Scopus
- Chemical Abstracts
- Islamic World Science Citation Center (ISC)
- Academic Search Complete EBSCO Publishing databases
- WHO/EMRO/Index Medicus

- Google Scholar
- Index Copernicus
- Directory of Open Access Journal (DOAJ)
- Index Academicus
- Scientific Information Database (www.sid.ir)
- www.iranmedex.com

کپیرایت: چاپ مطالب مندرج در این مجله به شرط ذکر منبع مجله بلامانع است.

تصاویر رنگی مقالات و کلیپهای ویدئویی بر روی وب سایت مجله قابل دسترسی می‌باشند

اعضای شورای نویسندگان مجله دانشکده پزشکی اصفهان (به ترتیب حروف الفبا)

نام و نام خانوادگی	مرتبه علمی
۱- دکتر مجتبی اطحی	دانشیار، متخصص گوش و حلق و بینی، دانشگاه علوم پزشکی اصفهان، اصفهان، ایران
۲- دکتر ابراهیم اسفندیاری	استاد، متخصص علوم تشریحی، دانشگاه علوم پزشکی اصفهان، اصفهان، ایران
۳- دکتر محمد اسماعیل اکبری	استاد، فوق تخصص جراحی، دانشگاه علوم پزشکی تهران، تهران، ایران
۴- دکتر فرامرز اسماعیل بیگی	استاد، متخصص داخلی، دانشکده پزشکی، آمریکا
۵- دکتر افسون امامی	دانشیار، فوق تخصص نفروЛОژی، دانشگاه علوم پزشکی اصفهان، اصفهان، ایران
۶- شاهین امامی	گروه بیوشیمی و غدد داخلی، بیمارستان سن آنتونیو، فرانسه
۷- دکتر علیرضا امامی	دانشیار، متخصص بیماری های عفونی و گرمسیری، دانشگاه علوم پزشکی اصفهان، اصفهان، ایران
۸- دکتر بابک امرا	استاد، فوق تخصص رید، دانشگاه علوم پزشکی اصفهان، اصفهان، ایران
۹- دکتر رضا امین	استاد، متخصص اطفال، دانشگاه علوم پزشکی شیراز، شیراز، ایران
۱۰- دکتر کن باست	استاد، متخصص بیماری های پوستی، مرکز تحقیقات پوست و لیشماینیوز، کانادا
۱۱- دکتر رضا باقریان سرارودی	استادیار، متخصص روانشناسی، دانشگاه علوم پزشکی اصفهان، اصفهان، ایران
۱۲- دکتر مجید برکتین	استاد، متخصص روانپزشکی، دانشگاه علوم پزشکی اصفهان، اصفهان، ایران
۱۳- فرزین پور فرزاد	گروه زیست شناسی سلوی و ژنتیک، دانشگاه اراسموس، روتردام، هلند
۱۴- دکتر مسعود پورمقدس	استاد، متخصص قلب و عروق، دانشگاه علوم پزشکی اصفهان، اصفهان، ایران
۱۵- دکتر احمد چیت‌ساز	دانشیار، متخصص قلب و عروق، دانشگاه علوم پزشکی اصفهان، اصفهان، ایران
۱۶- دکتر مینا حسن رضایی	متخصص نورو ایمونولوژی، دانشکده داروسازی، آمریکا
۱۷- دکتر سید مرتضی حیدری	دانشیار، متخصص بیوهوشی، دانشگاه علوم پزشکی اصفهان، اصفهان، ایران
۱۸- دکتر بهناز خانی	دانشیار، متخصص زنان و زایمان، دانشگاه علوم پزشکی اصفهان، اصفهان، ایران
۱۹- دکتر مجید خزاعی	دانشیار، متخصص فیزیولوژی، دانشگاه علوم پزشکی اصفهان، اصفهان، ایران
۲۰- دکتر حسن رزمجو	استاد، متخصص چشم، فلوشیپ ویتره و رتین، دانشگاه علوم پزشکی اصفهان، اصفهان، ایران
۲۱- دکتر رضا روزبهانی	استادیار، متخصص بیوشکی اجتماعی، دانشگاه علوم پزشکی اصفهان، اصفهان، ایران
۲۲- دکتر مسعود سهیلیان	استاد، فلوشیپ ویتره و رتین، دانشگاه علوم پزشکی شهید بهشتی، تهران، ایران
۲۳- دکتر منصور شعلهور	دانشیار، متخصص قلب و عروق، دانشگاه علوم پزشکی اصفهان، اصفهان، ایران
۲۴- دکتر محمد رضا صفوی	دانشیار، متخصص بیوهوشی، دانشگاه علوم پزشکی اصفهان، اصفهان، ایران
۲۵- دکتر خسرو عادلی	استاد، متخصص بیوشمی بالینی، دانشگاه تورنتو، تورنتو، کانادا
۲۶- دکتر سعید عندیلی	دانشیار، متخصص پاتولوژی، دانشگاه لویس ویل، آمریکا
۲۷- دکتر غلامرضا عسکری	متخصص بیماری های پوستی، دانشگاه علوم پزشکی اصفهان، اصفهان، ایران
۲۸- دکتر زیبا فرجزادگان	دانشیار، متخصص پزشکی اجتماعی، دانشگاه علوم پزشکی اصفهان، اصفهان، ایران
۲۹- دکتر حمید فشارکی	دانشیار، متخصص چشم، فلوشیپ ویتره و رتین، دانشگاه علوم پزشکی اصفهان، اصفهان، ایران
۳۰- دکتر مرجانه فولادی	دکترای پرستاری، دانشگاه فلوریدا، آمریکا
۳۱- دکتر علی قیصری	استاد، فوق تخصص جراحی قلب، کالیفرنیا، آمریکا
۳۲- دکتر منصور کارآموز	استاد، متخصص اطفال، دانشگاه علوم پزشکی اصفهان، اصفهان، ایران
۳۳- دکتر رویا کلشادی	دانشیار، فوق تخصص قلب و عروق، دانشگاه علوم پزشکی اصفهان، اصفهان، ایران
۳۴- دکتر جعفر گلشاهی	استاد، متخصص بیماری های پوستی، مرکز تحقیقات پوست و لیشماینیوز، کانادا
۳۵- دکتر عزیر گهری	دانشیار، فوق تخصص آسیب شناسی پزشکی، دانشگاه علوم پزشکی اصفهان، اصفهان، ایران
۳۶- دکتر پروین محزونی	استاد، متخصص چشم، دانشگاه علوم پزشکی تهران، تهران، ایران
۳۷- دکتر سید مهدی مدرس	دانشیار، متخصص علوم تشریحی، دانشگاه علوم پزشکی اصفهان، اصفهان، ایران
۳۸- دکتر محمد مردانی	استاد، متخصص جراحی اعصاب، دانشگاه علوم پزشکی اصفهان، اصفهان، ایران
۳۹- دکتر هوشنگ معین	استاد، متخصص غدد داخلی، مرکز تحقیقات غدد و متابولیسم، آمریکا
۴۰- دکتر ایله مغیثی	دانشیار، متخصص قلب و عروق، دانشگاه علوم پزشکی شهید بهشتی، تهران، ایران
۴۱- دکتر مجید ملکی	دانشیار، متخصص فیزیوتراپی، آمریکا
۴۲- دکتر محمد رضا نوربخش	استاد، متخصص قلب و عروق، دانشگاه علوم پزشکی تهران، تهران، ایران
۴۳- دکتر فریدون نوحی	استاد، متخصص قلب و عروق، دانشگاه علوم پزشکی شیراز، ایران
۴۴- دکتر علی محمد هنجنی	

راهنمای نگارش و ارسال مقاله علمی - پژوهشی

مجله علمی - پژوهشی دانشکده پزشکی اصفهان، در Scopus نمایه شده و به صورت هفت‌نامه، تحت حمایت دانشگاه علوم پزشکی اصفهان منتشر می‌گردد. این مجله اقدام به انتشار مقالات علمی در زمینه پژوهش‌های علوم پزشکی (پایه و بالینی) و رشته‌های وابسته به آن می‌نماید. مقالاتی در این مجله پذیرفته می‌شوند که علمی - پژوهشی بوده و پیش از این در جای دیگری منتشر نشده و یا حتی به طور همزمان به مجلات دیگر ارسال نگردیده باشند. این مجله مقالات به زبان فارسی شامل انواع پژوهشی اصیل، مروی، گزارش موردي، مقالات کوتاه، مقالات دارای امتیاز بازآموزی و نامه به سردبیر را منتشر می‌نماید و بر روی وب سایت مجله به آدرس <http://jims.mui.ac.ir> قرار می‌دهد. مقالات ارسالی باید در فرمت پیشنهادی مجله ارسال گردند و به دست نوشه‌هایی که در خارج از فرم ذکر شده در راهنمای نویسنده‌گان ارسال گردند ترتیب اثر داده نخواهد شد.

هیأت تحریریه پس از دریافت مقالات اقدام به بررسی مقاله از لحاظ ساختاری و موضوعی می‌نماید و چنانچه مقاله در بررسی اولیه مورد تأیید باشد، برای داوری ارسال می‌شود. زمان فرایند داوری (از دریافت تا پذیرش نهایی آن) ۳ ماه و در صورت تقاضا جهت بررسی سریع‌تر با شرایط ذکر شده در راهنمای نویسنده‌گان ۲۱ روز می‌باشد. لازم به ذکر است داوری و انتشار مقاله در این هفت‌نامه مستلزم پرداخت هزینه است. لذا پس از انجام مراحل داوری و پذیرش مقاله و قبل از صدور نامه پذیرش، لازم است نویسنده‌گان محترم فرایند مالی را تکمیل نمایند.

نحوه ارسال دست نوشه‌ها در سامانه نویسنده‌گان محترم پس از آماده سازی دست نوشه مطابق راهنمای نویسنده‌گان، از طریق ثبت نام (Registration) در سامانه الکترونیک مجله دانشکده پزشکی اصفهان به آدرس <http://jims.mui.ac.ir>، می‌توانند وارد صفحه شخصی خود شده و تمامی بخش‌ها را تکمیل و دست نوشه را ارسال نمایند.

توجه به نکات زیر در ارسال مقاله ضروری است:

- ارسال مقاله منحصرًا از طریق ثبت نام در سامانه الکترونیک مجله دانشکده پزشکی انجام می‌شود. لازم است فقط نویسنده مسؤول اقدام به سابمیت مقاله نماید و مقالاتی که توسط سایر نویسنده‌گان یا اشخاص دیگر سابمیت شوند مورد بررسی قرار نخواهد گرفت.

- نویسنده‌ای که برای بار دوم اقدام به ارسال مقاله اصلاح شده خود می‌نماید، حتماً باید از طریق صفحه شخصی قبلی خود اقدام نموده و به هیچ عنوان دوباره به عنوان کاربر جدید و با ایمیل جدید در سامانه ثبت نام نکند.

- وارد کردن اسمی تمامی نویسنده‌گان در سامانه و در محل مربوط به وارد کردن اسمی نویسنده‌گان مقاله، الزامي است. - پس از ارسال مقاله، تغییر اسمی نویسنده‌گان امکان‌پذیر نمی‌باشد.

- فایل‌هایی که نویسنده در مرحله اولیه ارسال می‌کنند شامل: (۱) فایل Word صفحه عنوان (۲) فایل Word دست نوشه، (۳) فرم تعهدنامه، (۴) فرم مشخصات کامل نویسنده‌گان (Cover letter) است که به ترتیب بایستی آپلود گردد.

- نویسنده‌گان در قسمت ارسال فایل‌ها، با ارسال یک فایل تعهد نامه که به امضای همه نویسنده‌گان رسیده است، حق انتشار مقاله را به مجله دانشکده پزشکی اصفهان واگذار می‌نمایند. در غیر این صورت مقاله در روند داوری قرار نخواهد گرفت.

- مقالات ارسالی باید دارای فایل مجزا (Cover letter) شامل یک نامه خطاب به سردبیر حاوی عنوان مقاله، اسم، آدرس و ایمیل نویسنده مسؤول، اسمی و ایمیل سایر نویسنده‌گان باشد. در این نامه بایستی به صراحت اعلام گردد که دست نوشته در مجلات دیگر چاپ نشده است یا همزمان در حال بررسی نمی‌باشد.

- در مرحله دوم بعد از این که دست نوشته از نظر هماستایی و فرمت مجله مورد ارزیابی اولیه قرار گرفت و تاییدیه دفتر مجله درخصوص قابل ارجاع بودن آن دست نوشه برای شروع فرایند داوری ارسال گردید، ضروری است ۵۰ درصد کل هزینه به منظور شروع فرآیند داوری به عنوان (Processing fee) بر اساس موارد ذکر شده در بخش هزینه انتشار راهنمای نویسنده‌گان پرداخت گردد. این هزینه غیر قابل برگشت می‌باشد. سپس فایل مربوط به تصویر اسکن شده فیش پرداختی فقط با نام نویسنده مسؤول از طریق سایت به دفتر مجله ارسال گردد. لازم به ذکر است تنظیم دست نوشته بر اساس فرمت مجله، و پرداخت وجه اولیه فقط جهت ارسال به داوران بوده و دال بر پذیرش آن نمی‌باشد.

نحوه ارایه مقاله

از مؤلفان گرامی تقاضا می‌شود، در ارسال مقالات به نکات زیر توجه فرمایند:

- ارسال مقاله فقط از طریق سایت پذیرفته می‌شود.

- زبان رسمی مجله، فارسی است و مقالات فقط به زبان فارسی همراه با چکیده انگلیسی قابل پذیرش هستند.

- دست نوشته‌های به زبان‌های غیر از فارسی و ترجمه شده در این مجله منتشر نمی‌شود.

- مقالات باید پژوهشی و حاصل تحقیق نویسنده یا نویسنده علوم پزشکی (پایه و بالینی) و رشته‌های مرتبط بوده که پیش از این به انگلیسی یا فارسی در سایر مجلات منتشر نشده باشد و یا به طور همزمان به مجلات دیگر نیز ارسال نگردیده باشد.
- این مجله مقالات شامل انواع اصلی و پژوهشی، مروری، مقالات کوتاه، مقالات دارای امتیاز بازآموزی و نامه به سردبیر را در منتشر می‌نماید.
- فیلم‌های آموزشی تهیه شده توسط محققین نیز توسط این مجله انتشار می‌یابد.
- مقالات قابل انتشار در مجله علمی-پژوهشی دانشکده پزشکی اصفهان شامل موارد زیر می‌باشند.
 - الف- مقالات پژوهشی اصیل: مقالات علمی-پژوهشی با حداکثر حجم ۲۵۰۰ کلمه؛ سقف مجموع جداول و تصاویر ۴، سقف منابع و مأخذ ۳۰ عدد می‌باشد.
 - ب- مقالات کوتاه پژوهشی: مقالات علمی کوتاه پژوهشی با حداکثر ۱۰۰۰ کلمه؛ سقف مجموع جداول و تصاویر ۲، سقف منابع و مأخذ ۱۵ عدد می‌باشد.
 - ج- مقالات مروری - مقالات مروری (Review Article) از نویسنده‌گان مجرب و صاحب مقالات پژوهشی در زمینه مورد بحث پذیرفته خواهد شد. اصول کلی نگارش مشابه سایر مقاله‌های پژوهشی است. این نوع مقالات با حداکثر ۷۰۰۰ کلمه می‌باشند. در فهرست منابع حداقل ۶ مرجع مورد استفاده می‌باشند متعلق به نویسنده باشد (با حداقل چهار مقاله از شش مقاله به عنوان نویسنده اول یا نویسنده مسؤول). برای ارسال مقالات مروری ضروری است که حتماً از قبل با سردبیر مجله هماهنگی لازم صورت گرفته و سپس اقدام به ارسال دست نوشته نمایند در غیر اینصورت مجله از بررسی آن معذور است.
 - د- نامه به سردبیر- نامه به سردبیر می‌تواند به صورت ارایه مشاهدات علمی یا نقد یکی از مقالات چاپ شده در این مجله باشد و با بحثی کوتاه، همراه با درج فهرست منابع نگاشته شود. نامه به سردبیر با حداکثر ۱۰۰۰ کلمه؛ سقف مجموع جداول و تصاویر ۲، سقف منابع و مأخذ ۵ عدد می‌باشد. نقد مقاله برای نویسنده مسئول مقاله مورد نقد، ارسال خواهد شد و همراه با پاسخ وی، در صورت تصویب شورای نویسنده‌گان به چاپ خواهد رسید.
 - ه- تحقیقات کیفی- تحقیقات کیفی با حداکثر ۳۰۰۰ کلمه؛ سقف مجموع جداول و تصاویر ۴، سقف منابع و مأخذ ۳۰ عدد می‌باشد.
 - ز- گزارش مورد- گزارش‌های موردنی شامل گزارش موارد نادر یا جالب است و باید شامل چکیده، مقدمه، گزارش مورد، بحث، نتیجه‌گیری، سپاس‌گزاری و منابع باشد. گزارش مورد با حداکثر ۱۰۰۰ کلمه؛ سقف مجموع جداول و تصاویر ۵، سقف منابع و مأخذ ۱۵ عدد می‌باشد.
- تبصره ۱- مقالات ترجمه پذیرفته نمی‌شود.
- تبصره ۲- ارسال دست نوشته یا مدارک با فرمت PDF به هیچ عنوان پذیرفته نیست.
- تبصره ۳- مقاله‌های کارآزمایی بالینی پیش از ارسال برای انتشار، بایستی در یکی از مراکز ثبت کارآزمایی‌های بالینی مانند مرکز ثبت کارآزمایی بالینی ایران IRCT به آدرس زیر ثبت شده و کد ثبت آنها به همراه مقاله ارسال شود: <http://www.irct.ir>
- مقالات ارسالی باید دارای بخش‌های ذیل باشند و به دست نوشتۀ‌ای که خارج از فرمت ذکر شده ارسال گردند ترتیب اثر داده خواهد شد.
- دست نوشته باید توسط نرمافزار MS Word در سایز A4 و قادر هر گونه صفحه‌آرایی، فاصله خطوط ۱ برابر (Single) با حاشیه‌های ۲/۵ سانتی‌متری، به صورت یک ستونی، قلم Zar B سایز ۱۱، قلم عنوان Zar A سایز ۱۱، قلم تایپ متن خلاصه انگلیسی و رفرانس‌ها از قلم Time New Roman سایز ۱۰ وجهت قلم عنوان لاتین نیز از قلم Time New Roman سایز ۱۰ Bold استفاده شود.
- معادلات باید به صورت خوانا با حروف و علائم مناسب با استفاده از Microsoft Word Equation تهیه شوند. واحدها بر حسب واحد بین‌المللی (SI) و معادلات به ترتیب شماره‌گذاری شوند.
- دست نوشته باید شامل دو فایل: (۱) فایل Word صفحه عنوان (۲) فایل Word دست نوشته (به ترتیب دارای چکیده، مقدمه، روش‌ها، یافته‌ها، بحث، تقدیر و تشرک و منابع) باشد. تأکید می‌گردد از ارسال فایل‌های متعدد حاوی جداول، تصاویر و غیره خودداری شود.
- صفحه عنوان: این صفحه باید شامل عنوان کامل، عنوان مکرری، اسمی نویسنده یا نویسنده‌گان با بالاترین مدرک تحصیلی، گروه یا بخش یا مؤسسه محل فعالیت ایشان و همچنین آدرس، تلفن، فاکس و پست الکترونیکی نویسنده مسؤول و تقدیر و تشکر (شامل تشرک از افراد، شاره طرح پژوهشی و یا پایان نامه، ذکر منابع مالی و اعتباری طرح پژوهشی) باشد. ضروری است که علاوه بر ذکر تقدیر و تشکر در صفحه عنوان، در پایان دست نوشته نیز بخش تقدیر و تشکر مجدد تکرار گردد.
- ذکر اسامی نویسنده یا نویسنده‌گان با بالاترین مدرک تحصیلی، گروه یا بخش یا مؤسسه محل فعالیت ایشان به انگلیسی نیز در صفحه عنوان الزامی است.
- تبصره ۱- عنوان مقاله معرف محتوای مقاله باشد و از ۲۰ واژه تجاوز نکند.
- تبصره ۲- با توجه به سیستم الکترونیک مجله، مقاله مستقیماً برای داور ارسال می‌گردد، لذا توجه شود که در فایل ورد پس از صفحه عنوان، مقاله قادر اسامی نویسنده‌گان باشد. در غیر این صورت تا اصلاح شدن فایل، ارسال مقاله برای داور متوقف می‌شود.
- چکیده: تمام مقالات اصلی باید دارای چکیده مقاله به دو زبان فارسی و انگلیسی با حداکثر ۲۵۰۰ کلمه باشد. چکیده باید شامل بخش‌های مقدمه، روش‌ها، یافته‌ها، بحث و واژگان کلیدی باشد. در پایان چکیده مقاله سه الی پنج کلمه کلیدی قرار می‌گیرد که بایستی تنها با استفاده از راهنمای MeSH از آدرس (<http://nlm.nih.gov/mesh/MBrowser.html>) استخراج گردد. چکیده انگلیسی بایستی دقیقاً معادل چکیده فارسی باشد و شامل بخش‌های Keywords, Conclusion, Findings, Methods, Background باشد.
- مقدمه و معرفی: در این بخش اهداف و علل انجام مطالعه آورده می‌شود؛ بنابراین نیازی به ارائه گستره مطالب موجود در متون علمی نیست. در این بخش باید از ارائه اطلاعات، یافته‌های و نتایج مطالعه خودداری گردد.
- روش‌ها: این بخش شامل ارائه دقیق مشاهدات، مداخلات و روش‌های مورد استفاده در مطالعه است. اگر روش مورد استفاده شناخته شده است فقط منبع آن ذکر گردد اما اگر روشی نوین است، باید به صورتی توضیح داده شود که برای سایر محققان قابل درک و به طور عینی قابل انجام و تکرار باشد. در صورت استفاده از

دستگاه و تجهیزات خاص باید نام، نام کارخانه سازنده و آدرس آن در پرانتز ذکر گردد. اگر از دارو در مطالعه استفاده شده است باید نام ژنریک، دوز و روش مصرف آن آورده شود. در مورد افراد و بیماران تحت مطالعه باید جنس و سن (همراه انحراف معیار) آورده شود. در مورد نرم افزارها و سیستم های کامپیوتری باید سال و ویرایش آن در پرانتز و پس از نام آن ذکر گردد.

در صورتی که مطالعه دارای پرسشنامه یا چک لیست است، ضمیمه کردن آن لازم است؛ شیوه تأیین روایی مشخص شود و توصیف دقیق فرآیند اجرایی برای روازای آن توضیح داده شود. چگونگی تعیین روش های مورد استفاده برای تأیین پایابی پرسشنامه و گزارش نتایج آزمون های آماری به کار گرفته شده جهت تأیین پایابی توضیح داده شود. در مورد پرسشنامه های استاندارد ذکر نام و مرجع آن کافی است.

- یافته ها: این بخش به صورت متن همراه با جداول ها، شکل ها و نمودارها ارائه می گردد. در این بخش فقط یافتها ارائه می شود و باید از ذکر دلایل و استدلال های مرتبط با آن خودداری گردد. محتوای جداول نباید به صورت کامل در متن ارائه شوند، بلکه کافی است با ذکر شماره جدول، شکل و یا نمودار به آنها در میان متن اشاره شود. جدول ها، نمودارها و شکل ها هر کدام باید در یک صفحه جداگانه و پس از منابع، در پایان دست نوشته به ترتیب آورده شوند. همچنین باید جداول و نمودارها در فایل اصلی دست نوشته، علاوه بر ارجاع در متن، محل قراری گیری آنها نیز جانمایی شده باشد.

- بحث: در این بخش در ابتدا به یافته های مهم اساسی مطالعه و سپس تشابه و تفاوت های آن با یافته های سایر پژوهشگران در مطالعات مشابه اشاره می گردد. ذکر جزئیات کامل یافته ها در این بخش لازم نیست. تأکید بر یافته های جدید و با اهمیت مطالعه حاضر و دستاوردهای آن در این قسمت ضروری است. ذکر این که فرضیه ارائه شده در مطالعه صحیح یا نادرست بوده، یا این که دلایل کافی برای رد یا قبول آن به دست نیامده است، ضروری می باشد. هدف این بخش، ذکر دلیل اصلی انجام تحقیق، تحلیل و تفسیر یافته ها و همچنین نتیجه گیری کلی (Conclusion) است.

- جداول: جداول بدون حاشیه خارجی ارسال گردد. تعداد محدود جدول با توجه به حجم مطالعه و مقاله، همراه با ذکر عنوان آن در بالای جدول مورد قبول خواهد بود. ارسال جداول فقط تحت نرم افزار MSWord مورد قبول است. توضیحات اضافی در خصوص محتوای جداول باید به صورت پی نوشته و در پایین جدول باشد. جدول ها باید در صفحات جداگانه و در پایان دست نوشته (پس از منابع) قرار داده شوند. جدول ها باید دارای زمینه سفید و بدون سایه و ترا م باشد. جداول باید توسط نرم افزار MS Word و فاقد هرگونه صفحه آرایی، فاصله خطوط ۱ برابر (Single)، قلم Zar B و سایز ۱۰ و قلم متغیرهای هر سنتون Zar B و سایز ۱۰ تهیه شوند. برای تایپ کلمات لاتین در جدول از قلم Time New Roman سایز ۹ استفاده شود.

- تصویر و نمودار: تصویر یا نمودار همراه ذکر عنوان آن در زیر و با فرمت JPEG [Q] قابل قبول است. لازم است هر تصویر با کیفیت ۲۰۰ نقطه در اینچ و محدودیت حجم حداقل ۵۰۰ کیلو بایت در نظر گرفته شود.

- تبصره ۱- اگر شکل یا جدولی از مرجع دیگری اخذ شده است، شماره مرجع در آخر عنوان جدول یا شکل نوشته شود و مشخصات مأخذ در بخش مراجع درج شود. - تقدیر و تشکر: در این بخش تمام افرادی که به نحوی در انجام مطالعه نقش داشته ولي جزء نویسنده اند مورد تقدیر قرار گیرند؛ از جمله کسانی که کمک های فنی، نوشتاری و مالی داده و همچنین سرپرستان و مدیران بخش های محل انجام مطالعه که در امر پژوهشی های عمومی در اجرای تحقیق فعالیت داشته اند. همچنین ذکر نام سازمان (های) حمایت کننده یا تأیین کننده مالی پژوهش در این بخش ضروری است.

- در صورتی که دست نوشته حاصل از پایان نامه دانشجویی باشد حتماً با متن اتفاقی در قسمت تقدیر و تشکر شماره پایان نامه مصوب دانشگاه و نیز نام دانشگاه ذکر گردد.
- تبصره ۱- ضروری است که علاوه بر ذکر تقدیر و تشکر در صفحه عنوان، در پایان دست نوشته نیز بخش تقدیر و تشکر مجدد تکرار گردد.

- منابع: نویسنده باید از صحت اشاره منابع ذکر شده به مطالب مورد استناد مطمئن باشد. ساختار منابع در این مجله بر اساس معاهده ونکور (Vancouver) می باشد. تمامی منابع باید به زبان انگلیسی باشد، ترجمه متن منابع فارسی به عهده نویسنده است و در پایان آن عبارت [In Persian] خواهد آمد. موارد ذیل برای نمونه ذکر می گردد:

- اگر منبع مورد نظر مقاله است:

نام خانوادگی (فاصله) حرف اول نام کوچک نویسنده (.)، عنوان مقاله (.)، مخفف نام مجله (بر اساس Medline) (فاصله) سال انتشار (.)
شماره ای انتشار (شماره مجله) (:) شماره هی صفحات. مثال:

نمونه انگلیسی:

Inser N. Treatment of calcific aortic stenosis. Am J Cordial 1987; 59(6): 314-7

نمونه فارسی:

Zini F, Basiri Jahromi Sh. Study of fungal infections in patients with leukemia. Iran J Public Health 1994; 23(1-4): 89-103. [In Persian].

(نام نویسنده کان با عالمت کاما از هم جدا شود. ذکر اسامی نویسنده کان تا نفر ششم الزامی است. اگر تعداد نویسنده کان بیش از شش نفر باشد، پس از نام نفر ششم، از عبارت "et al." استفاده شود).

- اگر منبع مورد نظر کتاب است:

نام خانوادگی (فاصله) حرف اول نام کوچک نویسنده (.) عنوان کتاب (.) نوبت چاپ (.) محل نشر (.) ناشر (.) سال انتشار (.) شماره صفحات (.) مثال:

نمونه انگلیسی:

Romenes GJ. Cunningham's manual. 15th ed. New York, NY: Oxford Univ Press; 1987.

نمونه فارسی:

Azizi F, Janghorbani M, Hatami H. Epidemiology and control of common disorders in Iran. 2nd ed. Tehran, Iran: Eshtiagh Publication; 2000. p. 558. [In Persian].

- اگر منبع مورد نظر فصلی از کتاب است:

نام خانوادگی (فاصله) حرف اول نام کوچک نویسنده آن فصل. عنوان فصل مورد نظر. در: نام خانوادگی (فاصله) حرف اول نام کوچک تدوین کننده کتاب. عنوان کتاب. نوبت چاپ. محل نشر: نام ناشر؛ سال انتشار. پ. صفحات. مثال:

Bodly L, Bailey Jr. Urinary tract infection. In: Tailor R, editor. Family medicine. 6th ed. New York, NY: Springer; 2003. p. 807-13.

- منابع به صورت پایان نامه

نام خانوادگی نویسنده (فاصله) حرف اول نام کوچک نویسنده (.) عنوان پایان نامه (فاصله) [مقطع پایان نامه] (.) نام شهر، کشور (:) نام دانشگاه (:) سال انتشار

- منابع به صورت الکترونیکی - مجله الکترونیکی روی اینترنت

نام خانوادگی (فاصله) حرف اول نام کوچک نویسنده (.) عنوان مقاله (.) نام اختصاری مجله الکترونیکی (فاصله) [online] (سال نشر و ماه نشر در صورت لزوم) (:) دوره (شماره) (:) شماره صفحات یا قابها (.) روز، ماه و سال دسترسی [cited] (;) آدرس اینترنتی دسترسی مثال:

Mosharraf R, Hajian F. Occlusal morphology of the mandibular first and second premolars in Iranian adolescents. Inter J Dental Anthropol [Online] 2004; 5: [3 Screens] [cited 2006 Nov 13]; Available from: <http://www.jida.syllabapress.com/abstractsijda5.shtml>

منابع به صورت صفحه وب

نام خانوادگی (فاصله) حرف اول نام کوچک نویسنده [یا شرح پدیدآور] (.) عنوان (.) سال نشر در صورت دسترسی (:) شماره صفحات یا قابها [روز، ماه و سال دسترسی [cited] (;) آدرس اینترنتی دسترسی مثال:

Dentsply Co. BioPure (MTAD) Cleanser. [2 screens] [cited 2006 Nov 26]. Available from: www.store.tulsadental.com/catalog/biopure.html

- نمونه خوانی (**Proofreading**): یک نسخه از مقاله پیش از چاپ جهت انجام اصلاحات ضروری و بر طرف کردن اشکالات احتمالی برای نویسنده مسؤول ارسال می‌گردد که لازم است در کوتاه‌ترین زمان تغییرات مورد نظر مجله انجام داده، از طریق وب‌سایت مجله ارسال نماید.

- اختصارات و نشانه‌ها: تنها از اختصارات و نشانه‌های استاندارد استفاده شود و از ذکر عبارت‌های مخفف در عنوان و خلاصه مقاله خودداری گردد.

- توضیح کامل در مورد هر کدام از عبارت‌های اختصاری برای اولین بار در متن آورده شود، مگر این که مربوط به مقیاس‌ها و مقادیر استاندارد شناخته شده باشد.

- پس از انتشار، نسخه‌ای برای نویسنده مسؤول ارسال نخواهد شد و شماره‌های مجله از طریق سایت برای نویسنده‌گان و خواننده‌گان قابل دسترسی می‌باشد.

- ملاحظات اخلاقی: این ملاحظات باید در بخش روش‌ها اشاره گردد. اخذ رضایت‌نامه از کلیه‌ی افراد بالغ شرکت کننده در مطالعه ضروری است و در مورد کودکان و افراد تحت تکفل باید از ولی قانونی آنها اخذ شود. ذکر منبع تأیید کننده ملاحظات اخلاقی مطالعه لازم است. هنگام استفاده از حیوانات آزمایشگاهی ذکر رعایت و مقررات استاندارد مربوط لازم است.

- تداخل منافع (Conflict of Interest): نویسنده یا نویسنده‌گان باید هر گونه ارتباط مالی مانند دریافت هزینه، حق‌الزحمه، مواد و تجهیزات از دانشگاه‌ها، سازمان‌ها، نهادها، شرکت‌ها و سایر منابع که انتشار یافته‌های مطالعه می‌تواند به آنها سود یا زیان برساند را اعلام نمایند.

هزینه انتشار:

محاسبه هزینه‌های دریافتی، براساس جدول زیر می‌باشد:

نوع مقاله	تعداد کلمات مجاز	هزینه دریافتی هر ۵۰۰ کلمه اضافی *	هزینه دریافتی هزار تومان
نامه به سردبیر	۴۰۰	-	-
گزارش مورد	۱۰۰۰	۱۰۰	۱۰۰
کوتاه	۱۰۰۰	۱۰۰	۱۰۰
پژوهشی اصیل	۲۵۰۰	۲۰۰	۱۰۰
پژوهشی اصیل (مطالعات کیفی)	۳۰۰۰	۲۰۰	۱۰۰
مروری	۷۰۰۰	۲۰۰	۱۰۰

*هزینه‌های ستون سوم صرفاً برای مقالاتی که هم نویسنده مسؤول هر دو وابسته به دانشگاه علوم پزشکی اصفهان (IUMS) باشند، مشمول ۵٪ تخفیف خواهد بود.

- ۵۰ درصد کل هزینه در ابتدا و بعد از دریافت ایمیل شروع فرآیند به عنوان (Processing fee) به منظور شروع داوری دریافت می‌گردد. این هزینه غیر قابل بازگشت خواهد بود. فایل مربوط به تصویر اسکن شده فیش پرداختی فقط با نام نویسنده مسؤول از طریق سایت به دفتر مجله ارسال گردد. لازم به ذکر است تنظیم دست نوشته بر اساس فرمات مجله و پرداخت وجه فقط جهت فرآیند داوری می‌باشد و تعهدی برای پذیرش مقاله ایجاد ننماید. ۵۰ درصد هزینه باقیمانده در صورت پذیرش نهایی، مقاله به عنوان Acceptance fee دریافت خواهد شد.

- در صورت تقاضای "بررسی سریع" (Fast track) زمان بررسی مقاله تا تصمیم گیری نهایی به ۲۱ روز تقلیل خواهد یافت. در این حالت کل هزینه به اضافه ۴۰ درصد هزینه "بررسی سریع" در انتدای، ف آنند داوری، اخذ خواهد شد.

حق نسخه برداری (Copyright): تمامی محتویات مجله دانشکده پزشکی اصفهان تحت قانون حق نسخه برداری بین المللی قرار دارد. این مجله برای استفاده غیر تجارتی در اختیار افراد قرار می‌گیرد. اصلاح، انتقال و نمایش هر گونه محتویات مجله بدون ذکر نام این مجله ممنوع است.

- فرآیند مرور دقیق (Peer Review): تمام دستنوشته‌ها توسط داوران منتخب شورای نویسنده‌گان مجله مورد بررسی دقیق قرار می‌گیرد. نویسنده‌ی مسؤول در کوتاه‌ترین زمان در جریان تصمیم سردبیر در مورد رد، قبول یا اصلاحات مورد نظر داوران و هیأت تحریریه قرار خواهد گرفت. در صورت پذیرش مقاله برای حاچ، نامه پذیرش، به همراه اینلی، برای نویسنده‌ی مسؤول ارسال می‌شود و مقاله در نوبت حاچ قرار خواهد گرفت.

-- مسئولیت صحبت با سقم مطالب ارایه شده در مقاله بر عهده نویسنده یا نویسنده‌گان است.

فهرست مطالب

مقالات‌های پژوهشی

بررسی تراکم استخوان در گروه‌های سنی مختلف زنان اصفهان در سال ۱۳۹۳ ۲۲۷۱
دکتر غلامرضا سلامت، دکتر محمدرضا سلامت، قاسم عاصی، امیرحسین سلامت

تعیین تأثیر نرم افزار آموزشی **Let's Face It** جهت بهبود مهارت‌های شناخت چهره در مبتلایان به اوتیسم شهر اصفهان ۲۲۷۹
دکتر مصطفی نجفی، زینب جعفری، دکتر بهزاد محکی

تأثیر لیزر فتوکواگلولاسیون رتین به روش‌های **Pattern Scan** و تک نقطه‌ای در تغییرات ایسکمی رتین و نشوواسکولاریزاسیون آن در بیماران مبتلا به رتینوپاتی دیابتی؛ یک کارآزمایی بالینی ۲۲۸۸

دکتر فرزان کیان ارشی، دکتر علیرضا چمشیدی مدد، دکتر خدایار گلابچی، دکتر حشمت‌الله قنبری، دکتر محمدرضا اخلاقی

بررسی میزان ابتلا به اختلالات خواب در بیماران مبتلا به ریزش موی سکه‌ای ۲۲۹۶
دکتر غلامحسین غفارپور، دکتر عباس زمانیان، دکتر راثی، دکتر سپیده اسدیگی، دکتر شیوا قدس

بررسی تأثیر پارامترهای پرتو درمانی بر کیفیت زندگی بیماران مبتلا به سرطان سر و گردن پس از پرتو درمانی تطبیقی سه بعدی ۲۳۰۲
سیدرضا موسوی، دکتر نصرالله جباری

بررسی مقایسه‌ای، اضطراب، افسردگی، استرس و کیفیت زندگی در دو گروه مبتلا و غیر مبتلا به آکنه ۲۳۰۹
دکتر محمد علی نیلفروش‌زاده، نیلوفر حمیدی نسب، محمدرضا نیلی‌پور طباطبائی، آسیه حیدری، دکتر سید محسن حسینی

مقاله کوتاه

تأثیر آلوئه‌ورا بر نفروتوکسیسیتی کلیوی ناشی از جنتامايسین ۲۳۱۶
دکتر مرضیه کافشانی، شبنم حاجیان، دکتر محمود رفیعیان کوپایی

بررسی تراکم استخوان در گروههای سنی مختلف زنان اصفهان در سال ۱۳۹۳

دکتر غلامرضا سلامت^۱، دکتر محمد رضا سلامت^۲، قاسم عاصی^۳، امیرحسین سلامت^۴

مقاله پژوهشی

چکیده

مقدمه: هر چند که پوکی استخوان یک بیماری ناشی از کهن‌سالی است، اما برخی مطالعات نشان داده است که این بیماری، در گروههای سنی مختلف، شیوع متفاوتی دارد که آن را به ویژگی‌های اپیدمیولوژیک، ژنتیک، شیوه‌ی تقدیمی، تحرک بدنی، برخی بیماری‌های مزمن و مصرف کورتیکواستروئید نسبت می‌دهند؛ اما در این زمینه، تقاض وجود دارد. از این‌رو، مطالعه‌ی حاضر با هدف تعیین تراکم استخوان در گروههای سنی مختلف زنان اصفهان در سال ۱۳۹۳ به انجام رسید.

روش‌ها: این مطالعه، یک بررسی توصیفی- تحلیلی بود که در سال ۱۳۹۳ در مرکز تشخیص پوکی استخوان اصفهان انجام گرفت. در این مطالعه، ۲۵۳۶ زن مشکوک به پوکی استخوان مراجعه کننده به مرکز تشخیص پوکی استخوان اصفهان، تحت سنجش تراکم استخوان‌های لگن، ران و ستون فقرات قرار گرفتند و وضعیت تراکم استخوان آن‌ها بر حسب گروه سنی تعیین و مقایسه شد.

یافته‌ها: از ۲۵۳۶ زن بررسی شده، ۱۲۴۴ نفر (۴۹/۱ درصد) دارای تراکم استخوان طبیعی، ۱۰۸۴ نفر (۴۲/۷ درصد) مبتلا به پوکی استخوان بودند. در گروههای سنی زیر ۳۰-۳۹ سال، هیچ بیماری مبتلا به پوکی استخوان نبود؛ اما شیوع آن در گروههای سنی ۴۰-۴۹ سال ۵۰-۵۹ سال ۶۹-۷۰ سال و بالاتر، ۲۶/۵ درصد بود. شیوع پوکی استخوان در گروههای سنی مختلف، تفاوت معنی‌دار داشت ($P < 0.001$).

نتیجه‌گیری: پوکی استخوان در گروههای سنی مختلف، شیوع متفاوتی دارد و هر چند که عوامل دیگری همچون ابتلا به بیماری‌های زمینه‌ای و فعالیت فیزیکی در آن دخیل می‌باشند، اما سن، یک عامل اساسی و تعیین کننده در ابتلا به این بیماری است. از این‌رو، ضمن توصیه به انجام مطالعات بیشتر، پیشنهاد می‌گردد، صرف نظر از سن، بیماران در معرض خطر پوکی استخوان حداقل یک بار تحت سنجش تراکم استخوان قرار گیرند.

وازگان کلیدی: پوکی استخوان، Osteopenia، تراکم استخوان، گروه سنی

ارجاع: دشتی غلامرضا، سلامت محمد رضا، عاصی قاسم، سلامت امیرحسین. بررسی تراکم استخوان در گروههای سنی مختلف زنان اصفهان در سال

۱۳۹۳. مجله دانشکده پزشکی اصفهان ۱۳۹۴؛ ۳۳(۳۶۵): ۲۲۷۸-۲۲۷۱

است و شکستگی‌های مرتبط با آن، از دلایل این اهمیت می‌باشد (۳).
بنابراین سازمان بهداشت جهانی، پوکی استخوان بر اساس مقایسه‌ی (BMD) Bone mineral density فرد بیمار با میانگین جمعیت بزرگ‌سال جوان (با همان جنس) تشخیص داده می‌شود (۴-۵).

در این تعریف، پوکی استخوان زمانی اطلاق می‌شود که فرد بیمار، بیش از ۲/۵ انحراف معیار کمتر از میانگین BMD جمعیت جوان سالم باشد؛ بدین ترتیب که $T\text{-score} \geq -2/5$ -۲/۵-انحراف معیار به عنوان پوکی استخوان (Osteoporosis) نامیده می‌شود (۲).

مقدمه

پوکی استخوان، از بیماری‌های شایع دوران میان‌سالی و سالمندی است که شیوع آن با توجه به شیوه‌ی زندگی در جوامع مختلف متغیر می‌باشد. علت این بیماری، هنوز به طور دقیق شناسایی نشده است، اما عوامل زیادی را در بروز آن دخیل می‌دانند (۱).

بنابراین، پوکی استخوان یک بیماری Consensus استخوانی همراه با کاهش توده‌ی استخوانی و تغییرات سیستمیک استخوانی در بافت استخوانی و افزایش خطر شکستگی می‌باشد (۲). پوکی استخوان، از جنبه‌ی سلامت عمومی بسیار حائز اهمیت

- ۱- دانشیار، گروه علوم تشریحی، دانشکده پزشکی، دانشگاه علوم پزشکی اصفهان، اصفهان، ایران
 - ۲- دانشیار، گروه فیزیک و مهندسی پزشکی، دانشکده پزشکی دانشگاه علوم پزشکی اصفهان، اصفهان، ایران
 - ۳- دانشجوی پزشکی، دانشکده پزشکی و کمیته‌ی تحقیقات دانشجویی، دانشگاه علوم پزشکی اصفهان، اصفهان، ایران
 - ۴- کارشناس ارشد، مرکز تشخیصی پوکی استخوان اصفهان، اصفهان، ایران
- نویسنده‌ی مسؤول: دکتر محمد رضا سلامت

Email: salamat@med.mui.ac.ir

حجم نمونه‌ی مورد نیاز مطالعه با استفاده از فرمول حجم نمونه جهت برآورده میانگین و با در نظر گرفتن سطح اطمینان ۹۵ درصد، توان آزمون ۸۰ درصد، انحراف معیار شاخص BMD که حدود ۲/۵ برآورد شد و پذیرش میزان خطای ۱۵٪، نفر محاسبه شد که جهت اطمینان بیشتر، ۲۱۷۷ نفر محاسبه شد.

روش کار بدین صورت بود که بعد از تأیید طرح و ضمن هماهنگی اولیه با مراجعه به مرکز تشخیص پوکی استخوان اصفهان، بیماران حایز شرایط ورود به مطالعه انتخاب شدند و بعد از جلب رضایت آن‌ها برای شرکت در مطالعه، اطلاعاتی از جمله سن، بروز یائسگی، مدت زمان یائسگی، سن بروز یائسگی، ابتلا به بیماری‌های قلبی-عروقی، ساقه‌ی فامیلی (BMI) Body mass index پوکی استخوان، ساقه‌ی مصرف مکمل‌های کلسیم و فعالیت فیزیکی از آن‌ها دریافت شد. سپس، سنجش تراکم استخوان برای بیماران انجام و نتایج به دست آمده، ثبت گردید.

جهت سنجش تراکم استخوان، از سیستم DEXA استفاده گردید. در این روش، یک بیم اشعه‌ی باریک و غیر قابل مشاهده اشعه‌ی X با دز کم به سمت استخوان فرستاده می‌شود. اشعه‌ی X در دو انرژی با دو پیک مجزا وجود دارد: یک پیک به طور عمده توسط بافت نرم و دیگری توسط استخوان جذب می‌شود. میزان جذب شده با استفاده از بافت نرم، در نهایت تفیریق می‌شود و آن چه باقی می‌ماند، تراکم بافت استخوانی است. اشعه‌ی استفاده شده در این روش، ۰/۱ اشعه‌ی استاندارد Chest X-ray بود (۱۴). آزمون تراکم استخوان با دو حد مطلوب یا معیار مقایسه می‌شود: افراد بالغ و جوان سالم (T) و افراد همسن (Z-score). نتیجه‌ی BMD با متوسط نتایج BMD افراد سالم بالغ ۲۵-۳۵ ساله‌ی هم‌جنس و هم‌اقلیم مقایسه می‌شود. میزان انحراف معیار BMD فرد بیمار با گروه سالم که T-score نامیده می‌شود، معرف وجود پوکی استخوان در فرد است (۱۴).

T-Score مثبت، بیانگر قوی‌تر بودن استخوان از وضعیت طبیعی و T-Score منفی، بیانگر ضعیف بودن استخوان نسبت به حالت طبیعی است. در تقسیم‌بندی بیماران، $T\text{-score} \geq -2/5$ - انحراف معیار به عنوان پوکی استخوان، $-1/0 < T\text{-score} < -2/5$ - انحراف معیار به عنوان Osteopenia و $T\text{-score} < -1/0$ - انحراف معیار به عنوان تراکم طبیعی استخوان تلقی شدند. در نهایت، شاخص‌های BMD و شیوع پوکی استخوان بر حسب گروههای سنی زنان و دیگر متغیرها تجزیه و تحلیل شد.

داده‌های مطالعه، بعد از جمع‌آوری در نرم‌افزار SPSS نسخه‌ی ۲۲ (version 22, SPSS Inc., Chicago, IL) مورد تجزیه و تحلیل قرار گرفت. آزمون‌های آماری مورد استفاده، آزمون‌های t و One-way ANOVA و همبستگی Pearson بود.

انحراف معیار به عنوان Osteopenia و T-score $< -1/0$ - انحراف معیار به عنوان تراکم طبیعی استخوان تلقی می‌گردد. سازمان جهانی بهداشت در سال ۱۹۹۱، پوکی استخوان را بعد از سرطان، سکته‌ی قلبی و مغزی، به عنوان چهارمین تهدید کننده‌ی سلامتی بشر اعلام نمود (۶-۷).

پوکی استخوان، یک مشکل مهم سلامت عمومی در دنیا با شیوع در حال افزایش می‌باشد. در کانادا، حدود یک چهارم زنان و یک هشتم مردان به آن مبتلا هستند (۸) و به دلیل این که حدود یک چهارم جمعیت این کشور در سن بالاتر از ۶۵ سال قرار دارند، احتمال می‌رود بروز این بیماری در چند دهه‌ی آینده، در این کشور روند افزایشی داشته باشد (۹-۱۰).

نتایج مطالعه‌ی طرح جامع پوکی استخوان کشور، حاکی از آن بود که ۷۰ درصد زنان بالای ۵۰ سال، مبتلا به پوکی استخوان یا Osteopenia هستند (۱۱-۱۲). به طور کلی، آمار نشان می‌دهد که در سال ۲۰۰۱، پوکی استخوان، جمعیت ایرانی را از ۳۵۹۹۱ سال در مردان و ۱۷۲۷۰ سال در زنان عمر سالم محروم می‌کند (۱۳).

عوامل خطر برای شکستگی‌های ناشی از پوکی استخوان را می‌توان به دو گروه غیر قابل کنترل و قابل کنترل تقسیم کرد. عوامل خطر غیر قابل کنترل عبارت از سن، شروع یائسگی، ساقه‌ی خانوادگی، استخوان‌بندی ظریف و کوچک، نژاد و برخی بیماری‌ها نظیر بیماری تیروئید، پاراتیروئید، غدد جنسی و غدد فوق کلیسوی می‌باشند. از شاخص‌های قابل کنترل، می‌توان به وزن، ورزش نکردن، کمبود کلسیم در برنامه‌ی غذایی و سیگار کشیدن اشاره نمود (۸، ۱)، از طرف دیگر، بروز این بیماری به علت برخی بیماری‌ها و مصرف برخی داروها در گروههای سنی مختلف، متفاوت است و در حقیقت، پوکی استخوان مختص یک قشر خاص از افراد سالم‌نند نیست.

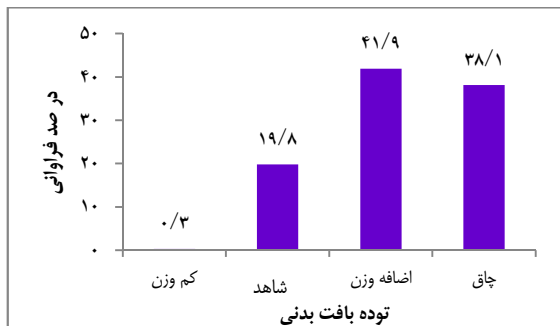
به دلیل عدم وجود مطالعه‌ای در زمینه‌ی شیوع این بیماری در گروههای سنی مختلف و اهمیت بالای تشخیص آن در افراد غیرسالم‌نند و به ویژه زنانی که هنوز وارد دوران یائسگی نشده‌اند، مطالعه‌ی حاضر با هدف تعیین تراکم استخوان در گروههای سنی مختلف زنان اصفهان در سال ۱۳۹۳ به انجام رسید.

روش‌ها

این مطالعه، یک بررسی توصیفی- تحلیلی بود که بر روی زنان مراجعه کننده به مرکز تشخیص پوکی استخوان اصفهان از فروردین تا اسفند ماه سال ۱۳۹۳ انجام شد.

معیارهای ورود به مطالعه، شامل زنان ارجاع شده به مرکز تشخیص پوکی استخوان اصفهان جهت سنجش تراکم استخوان و موافقت فرد برای شرکت در مطالعه بود.

(شکل ۲) (BMI > ۳۰)



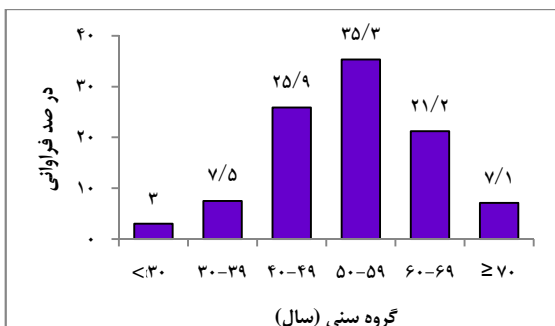
شکل ۲. درصد فراوانی وضعیت (BMI) در زنان تحت مطالعه

میانگین شاخص T-score در کل زنان تحت مطالعه $1/17 \pm 1/04$ با دامنه ۴۶۹-۴۲۱ بود و بر حسب آزمون همبستگی Pearson، بین سن و این شاخص، یک همبستگی معکوس معنی دار به میزان $0/43$ وجود داشت ($P < 0/001$)، اما بین شاخص BMI و T-score همبستگی مستقیم و معنی دار به میزان $0/20$ مشاهده شد ($P < 0/001$). شاخص T-score با مدت زمان یائسگی نیز ارتباط معنی دار داشت ($P < 0/001$). مقدار این همبستگی، $0/29$ بود، اما بین شاخص T-score و سن شروع یائسگی، ارتباط معنی داری مشاهده نشد ($P = 0/720$). نتایج در جدول ۱ آمده است.

جدول ۲ نشان می دهد که بالاترین شاخص T-score مربوط به گروه سنی کمتر از ۳۰ سال بوده است و طبق آزمون One-way ANOVA، میانگین شاخص T-score بر حسب گروه سنی اختلاف معنی دار داشت ($P < 0/001$). از طرف دیگر، شاخص T-score بر حسب BMI، وجود یائسگی و مدت زمان یائسگی نیز اختلاف معنی دار داشت ($P < 0/051$).

یافته ها

در این مطالعه، ۲۵۳۶ نفر از زنان مراجعه کننده به مرکز تشخیص پوکی استخوان اصفهان مورد مطالعه و بررسی قرار گرفتند که میانگین سنی آنها، $۱۱/۲۸ \pm ۵۳/۳۴$ با دامنه ۲۰-۸۰ سال بود. برای نتایج به دست آمده، بیشترین بیماران مراجعه کننده برای تشخیص پوکی استخوان، بیماران گروه سنی ۵۰-۵۹ سال با فراوانی ۸۹۶ نفر (۳۵/۳ درصد) بودند. همچنین، بیماران زیر ۳۰ سال با فراوانی ۷۵ نفر (۳/۰ درصد) و بیماران ≥ ۷۰ سال و بالاتر، با فراوانی ۱۸۱ نفر (۷/۱ درصد) کمترین تعداد را داشتند. در شکل ۱، توزیع فراوانی گروه سنی بیماران آمده است.



شکل ۱. درصد فراوانی گروه سنی بیماران مورد مطالعه

۱۴۹۱ نفر (۵۸/۸ درصد) از زنان مورد مطالعه، یائسه بودند و مابقی $41/2$ (۴۱/۲ درصد) هنوز وارد این دوران نشده بودند. میانگین مدت زمان یائسگی، $9/66 \pm 6/95$ با دامنه ۱-۳۲ سال بود. میانگین سن ورود به یائسگی نیز $2/10 \pm 50/69$ با دامنه ۴۶-۵۵ سال بود.

میانگین شاخص BMI بر کیلوگرم بر متر مربع بود و 7 نفر ($0/3$ درصد) کم وزن ($< 17/5$ ، BMI < $17/5$ نفر) و زن طبیعی ($24/99 > BMI > 18/5$ ، $18/5 > BMI > 24/99$ نفر) دارای اضافه وزن ($30 > BMI > 25$ و $25 > BMI > 30$ نفر) و 965 نفر ($38/1$ درصد) چاق بودند.

جدول ۱. همبستگی بین شاخص T-score و سن، یائسگی و Body mass index (BMI)

متغیرها	سن	متغیرها	سن	متغیرها	سن	متغیرها	سن
همبستگی		همبستگی		همبستگی		همبستگی	
P		P		P		P	
T-score							
BMI							
مدت زمان یائسگی							
مدار							
سن شروع یائسگی							

BMI: Body mass index

جدول ۲. میانگین و انحراف معیار T-score و وضعیت تراکم استخوان بر حسب مشخصات بیماران

		وضعیت تراکم استخوان تعداد (درصد)		T-score				
P	مقدار	پوکی استخوان	Osteopenia	طبیعی	P	مقدار	میانگین	
< 0/001	0 (0)	21 (28/0)	54 (72/0)	54 (72/0)	< 0/001	-0/49 ± 0/97	< 30	گروه سنی (سال)
	0 (0)	49 (25/8)	141 (74/2)	141 (74/2)		-0/34 ± 0/96	30-39	
	8 (1/2)	197 (30/0)	451 (68/8)	451 (68/8)		-0/47 ± 1/03	40-49	
	65 (7/3)	433 (48/3)	398 (44/4)	398 (44/4)		-1/56 ± 1/05	50-59	
	87 (16/2)	286 (53/1)	165 (30/7)	165 (30/7)		-2/04 ± 1/07	60-69	
	48 (26/5)	98 (54/2)	35 (19/3)	35 (19/3)		-1/10 ± 1/15	≥ 70	
< 0/001	3 (42/9)	3 (42/9)	1 (14/2)	1 (14/2)	< 0/001	-2/25 ± 0/99	کم وزن	BMI
	82 (16/3)	245 (48/8)	175 (34/9)	175 (34/9)		-1/38 ± 1/17	طبیعی	
	79 (7/5)	457 (43/0)	526 (49/5)	526 (49/5)		-1/09 ± 1/13	دارای اضافه وزن	
	44 (4/6)	379 (39/2)	542 (56/2)	542 (56/2)		-0/80 ± 1/16	چاق	
	14 (1/3)	312 (29/9)	719 (68/8)	719 (68/8)	< 0/001	-0/47 ± 1/03	خیر	یائسگی
	194 (13/0)	772 (51/8)	525 (35/2)	525 (35/2)		-1/43 ± 1/10	بلی	
< 0/001	29 (6/5)	209 (47/1)	206 (46/4)	206 (46/4)		-1/06 ± 1/02	> 5	مدت زمان
	32 (8/6)	207 (55/6)	133 (35/8)	133 (35/8)		-1/34 ± 0/98	5-9	
	47 (15/1)	161 (51/8)	103 (33/1)	103 (33/1)	< 0/001	-1/5 ± 1/03	10-14	یائسگی (سال)
	41 (21/7)	101 (53/4)	47 (24/9)	47 (24/9)		-1/74 ± 1/19	15-19	
	34 (26/8)	73 (57/5)	20 (15/7)	20 (15/7)		-2/05 ± 1/01	20-24	
	11 (22/9)	21 (43/8)	16 (33/3)	16 (33/3)		-1/92 ± 1/37	25≤	
0/360	37 (10/3)	184 (51/3)	138 (38/4)	138 (38/4)		-1/21 ± 1/04	> 50	سن شروع
	153 (13/5)	589 (51/8)	394 (34/7)	394 (34/7)	0/190	-1/33 ± 1/13	50-54	یائسگی (سال)
	9 (10/1)	44 (49/5)	36 (40/4)	36 (40/4)		-1/27 ± 1/06	55≤	

BMI: Body mass index

مواد حاوی کلسیم و نفر ۲۶۷ نفر (۴۹/۴ درصد) دارای سطح فعالیت فیزیکی پایین بودند. در جدول ۳، میانگین و انحراف معیار T-score و وضعیت پوکی استخوان بر حسب عوامل خطر آن آمده است.

بر حسب آزمون χ^2 بیماران دچار مشکلات قلبی-عروقی مانند بیماری قلبی و فشار خون، از سطح T-score پایین تری برخوردار بودند ($P = 0/001$). همچنین سطح T-score در بیماران دارای فعالیت فیزیکی پایین، به طور معنی داری کمتر بود ($P = 0/004$ ، اما سطح T-score بر حسب ابتلا به دیابت، سابقه‌ی فامیلی و مصرف مواد حاوی کلسیم، اختلاف معنی دار نداشت (جدول ۳).

مواد حاوی کلسیم، اختلاف معنی دار نداشت. از طرف دیگر، بر حسب آزمون χ^2 شیوع پوکی استخوان در بیماران دارای مشکلات قلبی-عروقی و افراد دارای فعالیت فیزیکی پایین، به طور معنی داری بیشتر بود، اما شیوع آن بر حسب دیابت، سابقه‌ی فامیلی و مصرف مواد دارای کلسیم، اختلاف معنی دار نداشت. قابل ذکر است با این که بیماران مبتلا به دیابت در مقایسه با افراد غیر مبتلا به دیابت T-score پایین تری داشتند، اما از نظر آماری این تفاوت معنی دار نبود (جدول ۳).

۱۲۴۴ نفر (۴۹/۱ درصد) از زنان تحت مطالعه، دارای تراکم استخوان طبیعی، ۱۰۸۴ نفر (۴۲/۷ درصد) مبتلا به Osteopenia و ۲۰۸ نفر (۸/۲ درصد) مبتلا به پوکی استخوان بودند. میانگین سنی سه گروه طبیعی، مبتلا به Osteopenia و مبتلا به پوکی استخوان، به ترتیب ۱۰/۵، $49/23 \pm 10/25$ ، $49/23 \pm 7/98$ سال بود و طبق آزمون One-way ANOVA، میانگین سن سه گروه، اختلاف معنی دار داشت ($P < 0/001$). از طرف دیگر، بر حسب آزمون χ^2 توزیع فراوانی وضعیت تراکم استخوان بر حسب سن، BMI، یائسگی و مدت زمان یائسگی اختلاف معنی دار داشت؛ اما سن شروع یائسگی تاثیر معنی داری در تراکم استخوان نداشت. قابل ذکر است ۲۰۰ نفر از زنان بالای ۵۰ سال (۱۲/۴ درصد) مبتلا به پوکی استخوان و ۸۱۷ نفر (۵۰/۵ درصد) مبتلا به Osteopenia بودند. بررسی سوابق بیماری افراد مورد مطالعه نشان داد که ۶۳۹ نفر (۲۵/۲ درصد) مبتلا به مشکلات قلبی-عروقی، مبتلا به دیابت و ۲۹ نفر (۱/۱ درصد) دارای سابقه‌ی فامیلی پوکی استخوان بودند. همچنین، ۲۴۰۴ نفر (۹۴/۸ درصد) دارای مصرف پایین

جدول ۳. میانگین و انحراف معیار T-score و شیوع پوکی استخوان بر حسب عوامل خطر

وضعیت تراکم استخوان تعداد (درصد)				T-score		تعداد	شاخص (درصد)	متغیر
مقدار P	پوکی استخوان	Osteopenia	طبیعی	مقدار P	میانگین			
۰/۰۰۵	۷۳ (۶۵/۸)	۶۴۵ (۷۲/۵)	۱۱۷۹ (۷۶/۸)	۰/۰۰۱	-۰/۶۲ ± ۱/۱۲	۱۸۹۷ (۷۴/۸)	ندارد	مشکلات قلبی-
	۳۸ (۳۴/۲)	۲۴۵ (۲۷/۵)	۳۵۶ (۲۳/۲)		-۰/۷۹ ± ۱/۱۵	۶۳۹ (۲۵/۲)	دارد	عروقی
۰/۲۶۰	۹۷ (۸۷/۴)	۷۶۴ (۸۵/۸)	۱۳۵۳ (۸۸/۱)	۰/۳۳۰	-۰/۶۵ ± ۱/۱۳	۲۲۱۴ (۸۷/۳)	ندارد	دبایت
	۱۴ (۱۲/۶)	۱۲۶ (۱۴/۲)	۱۸۲ (۱۱/۹)		-۰/۷۲ ± ۱/۱۵	۳۲۲ (۱۲/۷)	دارد	
۰/۵۷۰	۱۰۹ (۹۸/۲)	۸۷۸ (۹۸/۷)	۱۵۲۰ (۹۹/۰)	۰/۱۸۰	-۰/۶۶ ± ۱/۱۳	۲۵۰۷ (۹۸/۹)	ندارد	سابقه‌ی فامیلی
	۲ (۱/۸)	۱۲ (۱/۳)	۱۵ (۱/۰)		-۰/۹۴ ± ۱/۰۳	۲۹ (۱/۱)	دارد	پوکی استخوان
۰/۶۳۰	۴ (۳/۶)	۴۴ (۴/۹)	۸۴ (۵/۵)	۰/۷۲۰	-۰/۶۳ ± ۱/۱۰	۱۳۲ (۵/۲)	مناسب	صرف مواد
	۱۰۷ (۹۶/۴)	۸۴۶ (۹۵/۱)	۱۴۵۱ (۹۴/۵)		-۰/۶۶ ± ۱/۱۳	۲۴۰۴ (۹۴/۸)	پایین	حاوی کلسیم
۰/۰۰۵	۶ (۵/۴)	۷۷ (۸/۷)	۱۸۶ (۱۲/۱)	۰/۰۰۴	-۰/۴۷ ± ۱/۰۴	۲۶۹ (۱۰/۶)	مناسب	فعالیت فیزیکی
	۱۰۵ (۹۴/۶)	۸۱۳ (۹۱/۳)	۱۳۴۹ (۸۷/۹)		-۰/۶۸ ± ۱/۱۴	۲۲۶۷ (۸۹/۴)	پایین	

با توجه به نتایج به دست آمده از دیگر مطالعات و این موضوع که جامعه‌ی اماری مورد مطالعه از گروههای سنی مختلف (و نه فقط گروههای در معرض خطر) انتخاب شده بود، پوکی استخوان در جمعیت زنان اصفهان دارای شیوع بالایی می‌باشد. از طرف دیگر، شیوع پوکی استخوان بر حسب گروههای سنی اختلاف معنی‌دار داشت و ۲۶/۵ درصد زنان ۷۰ سال و بالاتر، مبتلا به پوکی استخوان بودند. در صورتی که مروری از آن در زنان زیر ۴۰ سال مشاهده نشد. نتایج مطالعه‌ی طرح جامع پوکی استخوان کشور در سال ۱۳۷۹ حاکی از آن بود که ۷۰ درصد زنان بالای ۵۰ سال، مبتلا به پوکی استخوان و یا Osteopenia هستند (۱۲)، اما در آن مطالعه نیز تفسیری از اختلاف شیوع پوکی استخوان در گروههای سنی مختلف، انجام نشده است.

بررسی سوابق ایدمیولوژیک بیماران مورد مطالعه نشان داد که شیوع پوکی استخوان با وضعیت BMI نسبت معکوس دارد و با افزایش شاخص توده‌ی بدن، شاخص T-score کاهش یافته و در نتیجه، شیوع پوکی استخوان و Osteopenia در زنان دارای اضافه وزن و چاق، کمتر می‌باشد. همچنین، شیوع پوکی استخوان با یائسگی ارتباط تکثینگ دارد و شیوع آن در زنان یائسه (۱۳ درصد) به طور قابل ملاحظه‌ای بیشتر از زنان غیر یائسه (۱/۳ درصد) بود که این ارتباط، با مدت زمان یائسگی نیز برقرار بود.

دیگر مطالعات نیز نشان داده است که بین یائسگی و بروز پوکی استخوان، یک ارتباط قدرتمند وجود دارد؛ چرا که در این دوران، استروژن در بدن زنان بسیار کم می‌شود. همچنین، کمبود مواد معدنی مانند کلسیم، پروتئین و ویتامین D و استعمال دخانیات مانند سیگار،

بحث

بیماری پوکی استخوان، یکی از شایع‌ترین بیماری‌های اسکلتی-عضلانی در تمامی جهان، به ویژه در کشور ما محسوب می‌شود. با وجود تمام مطالعاتی که تا کنون در خصوص اتیولوژی و فیزیوپاتولوژی این بیماری انجام گرفته، هنوز علت این بیماری به درستی شناخته نشده است. از نظر درمان نیز هر چند در حال حاضر روش‌های درمانی متعددی برای این بیماری وجود دارد، اما درمان قطعی نیز برای آن یافت نشده است.

هر چند که پوکی استخوان را بیماری ناشی از کهن‌سالی می‌دانند، اما در عین حال، برخی مطالعات انجام گرفته نشان داده است که این بیماری، در گروههای سنی مختلف شیوع متفاوتی دارد که آن را به ویژگی‌های اپیدمیولوژیک، ژنتیک، شیوه‌ی تغذیه، تحرک بدنی، ابتلا به برخی بیماری‌ها و صرف داورهای کاهنده‌ی تراکم استخوان مانند کورتیکو استروئیدها نسبت می‌دهند؛ اما در این زمینه، اتفاق نظر وجود ندارد. از این رو، تعیین تراکم استخوان در هر جمعیتی ضرورت دارد تا بر اساس آن، بتوان اقدامات پیش‌گیرانه را برای گروههای در معرض خطر انجام داد. به همین دلیل، این مطالعه با هدف تعیین تراکم استخوان و بیماری‌های مرتبط با آن در گروههای سنی مختلف زنان اصفهان در سال ۱۳۹۳ به انجام رسید.

در این مطالعه، ۲۵۳۶ نفر از زنان مراجعه کننده به مرکز تشخیص پوکی استخوان با میانگین سنی $۱۱/۲۸ \pm ۵۳/۳۴$ سال مورد مطالعه و بررسی قرار گرفتند که میانگین شاخص T-score در کل زنان تحت مطالعه، $۱/۱۷ \pm ۱/۰۴$ با دامنه‌ی $۴/۶۹-۴/۲۱$ بود و طبق آن، شیوع پوکی استخوان، ۴/۴ و شیوع Osteopenia ۳۵/۱ درصد بود.

هر چند که در مطالعه‌ی حاضر مصرف مواد حاوی کلسیم، تأثیر معنی داری در پوکی استخوان نداشت؛ اما این یک مسأله‌ی اثبات شده است که تغذیه، نقش مهمی در بروز این بیماری دارد و افرادی که کلسیم کافی در رژیم غذایی آنها وجود ندارد و یا ویتامین D کافی دریافت نمی‌کنند، در معرض ابتلای بیشتری هستند (۱۱، ۱۰، ۵).

نتیجه‌گیری کلی که می‌توان از این مطالعه داشت، این است که شیوع پوکی استخوان در گروههای سنی زنان، متفاوت است و هر چند که بیشترین موارد بیماری در زنان مسن و یائسه دیده می‌شود، اما گروههای سنی جوان‌تر و زنان غیر یائسه نیز به علل مختلفی همچون بیماری‌های زمینه‌ای و مصرف برخی داروها، ممکن است در معرض خطر پوکی استخوان قرار داشته باشند.

از طرف دیگر، به علت عدم انجام مراقبت‌های پزشکی منظم در بسیاری از افراد مبتلا به بیماری‌های زمینه‌ای و مصرف کنندگان کورتیکوستروئیدها، تشخیص پوکی استخوان ممکن است با تأخیر انجام گیرد. از این رو پیشنهاد می‌گردد، کلیه‌ی بیماران مبتلا به بیماری‌های زمینه‌ای که بیماری آن‌ها به نوعی بر روی تراکم استخوان تأثیر دارد و بیمارانی که به طور مداوم از داروهای مؤثر بر روی تراکم استخوان، از جمله کورتیکور استروئیدها استفاده می‌کنند، به طور منظم، مورد سنجش تراکم استخوان قرار گیرند.

تشکر و قدردانی

بدین وسیله از معاونت محترم پژوهشی و فناوری دانشگاه علوم پزشکی اصفهان به جهت تأمین بودجه‌ی این طرح و همچنین از پرسنل محترم مرکز تشخیص پوکی استخوان اصفهان تشکر و قدردانی می‌شود.

باعث پوکی استخوان می‌شود. در شرایط کمبود مواد معدنی در رژیم غذایی، بدین این کمبود را از بافت‌های استخوانی می‌گیرد و این کار در طول زمان باعث فقر استخوان‌ها از لحاظ مواد معدنی و در نتیجه پوکی استخوان می‌گردد. همچنین، با افزایش سن، تخریب بافت استخوانی بیش از ساخت آن می‌شود و با گذشت زمان و در دوران کهن‌سالی، این عارضه بروز می‌کند (۱۴).

برابر نتایج مطالعه‌ی حاضر، شیوع پوکی استخوان و Osteopenia بر حسب ابتلا به بیماری‌های قلبی - عروقی، اختلاف معنی دار داشت؛ به طوری که ۷۶/۸ درصد از زنان فاقد بیماری‌های قلبی - عروقی و ۲۳/۲ درصد زنان مبتلا به این بیماری‌ها، تراکم استخوان طبیعی داشتند. شیوع بالاتر پوکی استخوان و Osteopenia در بیماران دچار بیماری‌های قلبی - عروقی می‌تواند به عوامل متعددی نظیر نوع بیماری قلبی، تأثیر داروهای مورد استفاده در این بیماران مانند داروهای کاهنده‌ی فشار خون و افت فعالیت فیزیکی مربوط باشد.

برابر نتایج به دست آمده از مطالعه‌ی حاضر، فعالیت فیزیکی یک عامل تأثیرگذار در پوکی استخوان بود؛ به طوری که ۹۴/۶ درصد مبتلایان به این بیماری، دارای سطع فعالیت فیزیکی پایین بودند. مطالعات نشان داده است، تحرک بدنی و ورزش، باعث استحکام استخوان‌ها در هر سنی می‌شود و در مقابل، عدم تحرک و استراحت زیاد باعث تحلیل و پوکی سریع استخوان‌ها می‌گردد و شکستگی استخوان را افزایش می‌دهد (۱۳). همچنین، بین پوکی استخوان و فعالیت فیزیکی، یک چرخه‌ی معيوب وجود دارد؛ بدین صورت که کاهش فعالیت فیزیکی، باعث افزایش استعداد ابتلا به پوکی استخوان می‌شود و از طرف دیگر، ابتلا به پوکی استخوان نیز به میزان قابل توجهی از فعالیت فیزیکی فرد می‌کاهد (۱۵).

References

1. Jamshidian-Tehrani M, Kalantari N, Azadbakht L, Esmaillzadeh A, Rajaei A, Houshiar-Rad A, et al. Osteoporosis risk factors in Tehranian women aged 40-60 years. *Iran J Endocrinol Metab* 2004; 6(2): 139-45. [In Persian].
2. Consensus development conference: diagnosis, prophylaxis, and treatment of osteoporosis. *Am J Med* 1993; 94(6): 646-50.
3. Melton LJ, III, Chrischilles EA, Cooper C, Lane AW, Riggs BL. Perspective. How many women have osteoporosis? *J Bone Miner Res* 1992; 7(9): 1005-10.
4. World Health Organization. Assessment of fracture risk and its application to screening for postmenopausal osteoporosis (Technical Report Series, No 843). Geneva, Switzerland: WHO; 1994.
5. Kanis JA. Assessment of fracture risk and its application to screening for postmenopausal osteoporosis: Synopsis of a WHO report. *Osteoporos Int* 1994; 4(6): 368-81.
6. Abdoli A. Applying of preventive behaviors for prevention of osteoporosis in menopause duration. Proceedings of the 1st International Seminar on Prevention, Diagnosis and Treatment of Osteoporosis; 2003 Sep 23-24; Tehran, Iran. Tehran, Iran: Tehran University of Medical Sciences; 2003. p. 116-7.
7. Bayat N, Haji Amini Z, Ali Shiri GhH, Ebadi A, Hosseini MAS, Lalouei A. Frequency of osteoporosis and osteopenia in post-menopausal military family's women. *J Army Univ Med Sci I R Iran* 2008; 6(1): 25-30. [In Persian].
8. Hanley DA, Josse RG. Prevention and management of osteoporosis: consensus statements from the Scientific Advisory Board of the Osteoporosis Society of Canada. 1. Introduction. *CMAJ* 1996; 155(7): 921-3.
9. Papadimitropoulos EA, Coyte PC, Josse RG, Greenwood CE. Current and projected rates of hip fracture in Canada. *CMAJ* 1997; 157(10): 1357-63.

- 10.** International Osteoporosis Foundation. How fragile is her future? [Online] [cited 2000]; Available from: URL: http://www.iofbonehealth.org/sites/default/files/PDFs/how_fragile_is_her_future.pdf
- 11.** Larijani B. Handbook: Osteoporosis, diagnosis and treatment. Tehran, Iran: Endocrine and Metabolism Research Institute, Tehran University of Medical Sciences; 2004. p. 1.[In Persian].
- 12.** Abolhassani F, Mohammadi M, Soltani A. Burden of osteoporosis in Iran. Iran J Public Health 2004; (Suppl): 18-28.
- 13.** National Osteoporosis Foundation. Fast facts on osteoporosis. [cited 2010 Feb 4]. Available from: URL: <http://www.nof.org/-osteoporosis/diseasefacts.htm>.
- 14.** Diez F. Guidelines for the diagnosis of osteoporosis by densitometric methods. J Manipulative Physiol Ther 2002; 25(6): 403-15.
- 15.** Carmienke S, Freitag MH, Pischon T, Schlattmann P, Fankhaenel T, Goebel H, et al. General and abdominal obesity parameters and their combination in relation to mortality: a systematic review and meta-regression analysis. Eur J Clin Nutr 2013; 67(6): 573-85.

Bone Mineral Density in Women of Different Age Groups in Isfahan, Iran in 2013-2014

Gholamreza Dashti PhD¹, Mohammadreza Salamat PhD², Qasem Assi³, Amirhossein Salamat MSc⁴

Original Article

Abstract

Background: Osteoporosis is a prevalent disease in the elderly, but several studies have shown that prevalence of the disease in different age groups differ among each other which may be due to epidemiological characteristics, genetic, style of nutrition, physical activity, some of chronic diseases and consumption of corticosteroids. However, there is controversy regarding this issue. So, the aim of this study was to determine the bone density in different age groups of women in Isfahan, Iran in the years 2013-2014.

Methods: This cross sectional study was done in Isfahan Osteoporosis Diagnostic Center (IODC) during 2013-2014. 2536 women suspected to have a low bone density who were referred to Isfahan Osteoporosis Diagnosis Center were scanned in the hip (femoral neck and trochanter) and vertebral column (L2-L4); bone density status was determined and compared in several age groups.

Findings: Of the 2536 studied women, 1244 (49.1%) had normal bone density, 1084 (42.7%) had osteopenia and 208 (8.2%) had osteoporosis. No patient had osteoporosis in 30-39 or less than 30 years age groups. The prevalence of the disease in 40-49, 50-59, 60-69 and 70 years and older age groups was 1.2%, 7.3%, 16.2% and 26.5%, respectively. The prevalence of osteoporosis in various age groups had a significant difference ($P < 0.001$).

Conclusion: Osteoporosis in various age groups had different prevalence rates and however other risk factors such as background diseases and physical activity may play a role; but, the age has been identified as a significant risk factor of this disease. Therefore, further studies are recommended, and it is suggested that regardless of age, patients at risk of osteoporosis should be referred for bone densitometry at least for one time.

Keywords: Osteopenia, Osteoporosis, Bone density, Age group

Citation: Dashti Gh, Salamat M, Assi Q, Salamat A. **Bone Mineral Density in Women of Different Age Groups in Isfahan, Iran in 2013-2014.** J Isfahan Med Sch 2016; 33(365): 2271-8

1- Associate Professor, Department of Anatomical Sciences, School of Medicine, Isfahan University of Medical Sciences, Isfahan, Iran
2- Associate Professor, Department of Medical Physics and Biomedical Engineering, School of Medicine, Isfahan University of Medical Sciences, Isfahan, Iran

3- Student of Medicine, School of Medicine AND Student Research Committee, Isfahan University of Medical Sciences, Isfahan, Iran

4- Isfahan Osteoporosis Diagnosis Center, Isfahan, Iran

Corresponding Author: Mohammadreza Salamat PhD, Email: salamat@med.mui.ac.ir

تعیین تأثیر نرم افزار آموزشی Let's Face جهت بهبود مهارت‌های شناخت چهره در مبتلایان به اوتیسم شهر اصفهان

دکتر مصطفی نجفی^۱، زینب جعفری^۲، دکتر بهزاد محکی^۳

مقاله پژوهشی

چکیده

مقدمه: در خود ماندگی یا اوتیسم (Autism)، یک اختلال پیچیده تکاملی، از نوع روابط اجتماعی است که علت اصلی آن ناشناخته می‌باشد. عدم توانایی کامل شناخت چهره در افراد اوتیسم از جمله مشکلات جدی در این بیماران است. هدف از انجام مطالعه‌ی حاضر، تعیین تأثیر نرم افزار آموزشی Let's Face It (LFI) جهت بهبود مهارت‌های شناخت چهره در مبتلایان به اوتیسم بود.

روش‌ها: این مطالعه بر روی ۳۳ فرد مبتلا به اوتیسم، شامل ۱۷ نفر در گروه مورد و ۱۶ نفر در گروه شاهد، انجام گرفت. پس از اخذ رضایت از والدین، گروه مورد با استفاده از نرم افزار LFI ۲۰ ساعت آموزش چهره دریافت کردند و هر دو گروه، تحت برنامه‌های آموزشی منطبق با مراکز بیماران مبتلا به اوتیسم قرار گرفتند. در آخر، هر دو گروه با استفاده از نرم افزار LFI مورد آزمون قرار گرفتند و نتایج با استفاده از آزمون‌های t و ANCOVA مقایسه گردید.

یافته‌ها: در رابطه با بازی LFI، تنها بعد حالت‌های پوشیدگی چهره (لينک كرگدن) در گروه مورد به مراتب بالاتر از گروه شاهد بود. همچنین، در گروه مورد میانگین نمرات بیشتر حوزه‌های مورد مطالعه به شکل معنی‌داری افزایش یافت؛ به گونه‌ای که بعد حالات عاطفی ابراز شده (لينک شير) ($P = 0.003$)، بعد هویت کل از قطعات (لينک ميمون) ($P = 0.003$)، بعد حافظه‌ی فوری برای چهره (لينک گورخر) ($P = 0.032$)، بعد حالت‌های پوشیدگی چهره (لينک كرگدن) ($P = 0.015$) و بعد ابعاد چهره (لينک لکلک) ($P = 0.043$) در گروه مورد افزایش معنی‌داری داشت. این در حالی است که هیچ گونه تغییر معنی‌داری در گروه شاهد در هیچ یک از شاخص‌های اندازه‌گیری شده مشاهده نشد ($P > 0.050$).

نتیجه‌گیری: استفاده از نرم افزار آموزشی LFI می‌تواند در پیشرفت آموزشی و تشخیص چهره‌ی بیماران مبتلا به اوتیسم مؤثر باشد و این امر، می‌تواند سبب بهبود درمان بیماران شود.

وازگان کلیدی: اوتیسم، نرم افزار آموزشی Let's Face It، مهارت‌های شناخت چهره

ارجاع: نجفی مصطفی، جعفری زینب، محکی بهزاد. تعیین تأثیر نرم افزار آموزشی Let's Face It جهت بهبود مهارت‌های شناخت چهره در مبتلایان به اوتیسم شهر اصفهان. مجله دانشکده پزشکی اصفهان ۱۳۹۴؛ ۳۳(۳۶۵): ۲۲۸۷-۲۲۷۹.

مقدمه

در خود ماندگی (اویسم یا Autism)، یک اختلال پیچیده تکاملی، از نوع روابط اجتماعی است که علت اصلی آن ناشناخته است و بارفتارهای ارتباطی - کلامی غیر طبیعی، رفتارهای کلیشه‌ای و تکراری و تمایل به انزوا مشخص می‌شود. این بیماری در پسران شایع‌تر از دختران است. به گفته‌ی بسیاری از متخصصین در زمینه‌ی تکامل کودک در بریتانیا، میزان بروز این طیف اختلالات، در سال‌های گذشته

رونده افزایشی داشته است. برخلاف تلاش‌های فراوان جهت شناخت

عوامل دخیل در اختلالات شبه اویسمی، اتیولوژی و پاتوفیزیولوژی آن‌ها هنوز به طور کامل مشخص نشده است (۱).

اگر چه اطلاعات در مورد اختلالات طیف اوتیسم (ASD) یا Autism spectrum disorder در حال افزایش است و به راحتی در دسترس عموم مردم قرار می‌گیرد، اما دامنه‌ی شدت و پیچیدگی این اختلالات هنوز ناشناخته باقی مانده است. مطالعات نشان می‌دهد که

۱- دانشیار، مرکز تحقیقات علوم رفتاری و گروه روان‌پزشکی، دانشکده پزشکی، دانشگاه علوم پزشکی اصفهان، اصفهان، ایران

۲- دانشجوی پزشکی، دانشکده‌ی پزشکی و کمیته‌ی تحقیقات دانشجویی، دانشگاه علوم پزشکی اصفهان، اصفهان، ایران

۳- استادیار، گروه آمار زیستی، دانشکده‌ی پزشکی، دانشگاه علوم پزشکی اصفهان، اصفهان، ایران

نویسنده‌ی مسؤول: زینب جعفری

Email: z.jafari.med86@gmail.com

بازی کامپیوتری با هدف تشخیص هویت چهره‌ها، تحلیل و نگرش و راهبردهای جامع پردازش شده‌ی چهره و توجه به اطلاعات مرسوط به منطقه‌ی چشم ساخته شد. نتایج پژوهش نشان داد کودکان مورد مداخله، نسبت به گروه شاهد پیشرفت‌های قابل اعتمادی در شناخت تحلیلی از دهان، چهره‌ها و شناخت جامعی از چهره بر اساس ویژگی‌های چشم داشتند (۸).

بنا بر این، با توجه به بررسی‌های انجام شده، می‌توان گفت که استفاده از بازی‌های کامپیوتری جذاب و هدفمند و فن‌آوری جدید، در آموزش شناخت چهره در افراد اوتیسم، می‌تواند راه‌گشا باشد و در کاهش پیشرفت این بیماری در افراد مبتلا به اوتیسم نقش داشته باشد. از این رو، هدف از انجام مطالعه‌ی حاضر تعیین تأثیر نرم افزار آموزشی Let's Face It (LFI) در بهبود مهارت‌های شناخت چهره‌ی بیماران مبتلا به اوتیسم بود.

روش‌ها

این مطالعه‌ی توصیفی- تحلیلی از نوع کار آزمایی بالینی تصادفی بود که روی کودکان و نوجوانان دارای اختلالات طیف اوتیسم در ۳ مرکز اوتیسم شهرستان اصفهان (مرکز اوتیسم شیخ مقیم، مرکز اوتیسم اصفهان و مرکز اوتیسم اردبیله‌شت) که در حال آموزش بودند، انجام شد. تعداد ۱۲۰ نفر از بیماران به صورت در دسترس انتخاب و با استفاده از نمرات آن‌ها در آزمون GARS (Gilliam autism rating scale) میان این تعداد، با توجه به معیارهای مورد نیاز برای شرکت در پژوهش ۴۰ نفر به روش تصادفی انتخاب و به صورت تصادفی در یکی از دو گروه شاهد یا مورد قرار گرفتند و یکی از گروه‌ها به صورت تصادفی به عنوان گروه مورد انتخاب شد. با در نظر گرفتن سطح معنی‌داری $P < 0.05$ ، توان آماری ۸۰ درصد جهت تشخیص یک اندازه‌ی اثر به مقدار یک و تعداد یکسان آزمون، در هر گروه ۲۰ نفر جای گرفتند؛ البته در گروه مورد ۳ نفر و در گروه شاهد ۴ نفر ریزش داشتند.

معیارهای ورود شامل کلیه‌ی افراد مبتلا به اختلالات طیف اوتیسم (ASD)، دارای توانایی درک و انجام دستورالعمل‌های تجربی، توانایی کار کردن با موشواره و کامپیوتر در حد ابتدایی و رضایت کامل والدین به شرکت در آزمایش بود. معیارهای خروج از مطالعه، شامل وجود بیماری عقب ماندگی شدید ذهنی و جسمی و نقص قابل توجهی که مانع کار کردن با کامپیوتر باشد، اختلال دید به طوری که مانع کار با کامپیوتر شود و عدم رضایت به شرکت در مطالعه بود. برای انتخاب شرکت کنندگان از بین کل بیماران اوتیستیک شهر اصفهان، ابتدا بیماران اختلالات طیف اوتیسم توسط یک روانپژوه و دو روانشناس مجرب با سابقه‌ی کار در زمینه‌ی اختلالات طیف

کودکان مبتلا به اوتیسم، کمتر به چهره‌ها توجه دارند و چهره‌های آشنا را نیز به سختی تشخیص می‌دهند. این افراد، در امر پردازش چهره، دچار اختلال هستند و نقص در شناخت چهره، می‌تواند یک ایزار کلیدی در شناسایی کودکان اوتیستیک باشد (۲).

اویسم، یک نقص عملکردی دائمی است و در حال حاضر، هیچ گونه معالجه‌ی قطعی برای آن وجود ندارد. از این رو، بسیاری از کودکان مبتلا به اوتیسم، می‌توانند با تلاش‌های آموزشی زود هنگام و درست برنامه‌ریزی شده برای هر فرد در یک محیط مناسب، رشد قابل ملاحظه‌ای داشته باشند (۳).

تحقیقات نشان می‌دهد که دیدن کارتون، نقش مهمی در بهبودی کودکان اوتیستیک دارد. ثابت شده است که دیدن کارتون به این کودکان کمک می‌کند تا هیجانات طبیعی را یاد بگیرند. در این تحقیق، از کارتون‌هایی با شخصیت‌های غیر انسانی که چهره‌ی انسانی دارند، استفاده شد؛ به طوری که یک نفر راوی، داستان را نقل می‌کند تا به کودک در درک هیجانات انسانی کمک نماید. او شیوه‌ی بیان صورت و احساسات شخصیت‌های داستانی را برای کودکان توضیح می‌دهد. پژوهشگران بر این باورند که کارتون‌های متحرک، نقش مهمی در بهبودی کودکان اوتیستیک دارند و باعث می‌شوند کودکان به ترسیشان از نگاه کردن به چهره‌ی دیگران غلبه کنند و نحوه‌ی بیان احساسات را بیاموزند (۴).

بیش از ۳۰ سال است که محققان به این نتیجه رسیده‌اند که استفاده از کامپیوتر و تکنولوژی محیط مجازی، به طور فزاینده‌ای در درمان اوتیسم مؤثر است؛ بیماران مبتلا به اوتیسم، اغلب با کامپیوتر تعامل برقرار می‌کنند و آن را جهت رفتارهای خلاقانه و اکتشافی به کار می‌برند (۵).

و همکاران، عنوان نمودند که استفاده از کامپیوتر در آموزش مبتلایان به اوتیسم، می‌تواند باعث افزایش مهارت‌های اجتماعی و عاطفی در این افراد گردد. آن‌ها بیان داشتند که استفاده از کامپیوتر در درمان بیماران اوتیستیک نسبت به روش‌های سنتی آموزش یک به یک و گروهی، از مزایایی مانند آموزش ساده‌تر، کاهش حواس پرتی و استفاده از قوه‌ی بصری در آموزش برخوردار است (۶). همچنین، نتایج پژوهش دیگری نشان می‌دهد که فن‌آوری جدید و استفاده از بازی‌های کامپیوتری، می‌تواند تأثیر قابل توجهی در رفتار خیره نگاه کردن کودکان مبتلا به طیف اوتیسم داشته باشد (۷).

در یک کار آزمایی بالینی که به صورت مشترک بین آزمایشگاه شناختی دانشگاه Victoria و مرکز مطالعات کودکان دانشگاه Yale انجام گرفت، کودکان اوتیستیک که دچار اختلال در تشخیص هویت چهره بودند، ۲۰ ساعت با مداخله‌ی یک برنامه‌ی کامپیوتری مورد آموزش قرار گرفتند. این نرم افزار چند رسانه‌ای، مشتمل از هفت

داده و سپس حذف می شد. کودک می باشد از بین چهره های ارایه شده، چهره ای ابتدایی را تشخیص می داد و انتخاب می نمود. در لینک میمون (A face maker) چهره ای برای فرد به نمایش در می آمد و در کنار آن، همان چهره بدون چشم و دهان وجود داشت. کودک می باشد از بین چشم ها و دهان های ارایه شده، چشم و دهان مطلوب را با توجه به چهره ای اصلی انتخاب می نمود. در لینک فیل (Zap it)، چند چهره به صورت پیش فرض در بالای صفحه وجود داشتند و کودک می باشد تصاویری را که به نمایش در می آمدند، به چهره ای مشابه بالای صفحه شلیک می کرد. این لینک، به علت دشواری ناشی از مهارت و سرعت بالا حذف شد. در لینک گورخر (2 of a kind) کودک می باشد روی تصاویری که به پشت قرار گرفته بودند، کلیک می کرد تا تصویر را بیند و سپس تصاویر مشابه را به صورت دوتا دوتا پیدا کند. لینک اسب آبی (Top secret) غیر فعال بود. در لینک کرگدن (Find face) ۵ چهره در زمینه تصویری از طبیعت، جنگل و ... پنهان شده بودند که کودک می باشد تصاویر پنهانی را پیدا می کرد. در لینک تماسح (Splash) چهره ای پیش فرضی در پایین صفحه وجود داشت و چهره های متعددی در صفحه ظاهر و سپس حافظ می شدند. در این لینک، کودک می باشد از بین چهره هایی که ظاهر می شدند، تصویر چهره ای مشابه با پیش فرض را پیدا و به سمت آن شلیک می کرد. لینک لکلک شامل دو حالت Eye contact و Eye gase بود. در حالت Eye contact، تصویر دو یا چند شیء نمایش داده می شد که چهره ای شخصی به یکی از این اشیاء نگاه می کند. کودک می باشد شیئی را که به آن نگاه می شود، انتخاب می کرد. در حالت Eye gase، کودک می باشد از بین چهره های ارایه شده، تصویری را که به کودک نگاه می کرد، انتخاب می نمود (شکل های ۱ و ۲).

داده های مطالعه بعد از جمع آوری و رفع نقص، در نرم افزار SPSS نسخه ۲۰، SPSS Inc., Chicago, IL مورد تجزیه و تحلیل قرار گرفت. آزمون های آماری Paired t برای مقایسه های درون گروهی و Independent t برای مقایسه های بین گروهی مورد تجزیه و تحلیل قرار گرفت و در صورت نامتعادل بودن عوامل مخدوش گر در دو گروه، از تحلیل ANCOVA استفاده شد.

$P < 0.05$ به عنوان سطح معنی داری در نظر گرفته شد.

یافته ها

از میان ۳۳ بیمار که وارد این مطالعه شدند، ۱۷ نفر در گروه مورد و ۱۶ نفر در گروه شاهد جای گرفتند. در گروه مورد، تعداد ۱۲ نفر (۷۰/۶ درصد) پسر و ۵ نفر (۲۹/۴ درصد) دختر بودند و در گروه شاهد، تعداد ۱۵ نفر (۹۳/۸ درصد) پسر و ۱ نفر (۶/۳ درصد) دختر

او تیسم شناسایی و با استفاده از آزمون تشخیصی GARS آزمایش شدند. بینایی بیماران توسط یک چشم پزشک سنجیده شد و کامپیوتر در حد مورد نیاز به شرکت کنندگان انتخاب شده، آموزش داده شد. نرم افزار آموزشی LFI توسط محققین دانشگاه های Yale و Victoria (۸) جهت پژوهش در زمینه شناخت چهره در بیماران او تیستیک ساخته شده است. به منظور جمع آوری اطلاعات، این نرم افزار برای دو گروه شاهد و مورد اجرا شد. هر دو گروه مورد و شاهد، برنامه های آموزشی را منطبق با مراکز بیماران مبتلا به او تیسم که در آن حضور داشتند، به همان روش قبل ادامه دادند. علاوه بر آن، گروه مورد با استفاده از نرم افزار LFI ۲۰ ساعت آموزش چهره دریافت کردند. در آخر، هر دو گروه با استفاده از نرم افزار LFI آزمون شدند و نتایج با یکدیگر مقایسه گردید. از والدین و مریبان بیماران فرم اطلاعات دموگرافیک و پرسشنامه های مرتبط به پارامتر های مربوط به مشخصات بازی تکمیل گردید.

در نرم افزار LFI گرافیک های متحرک کامپیوتری و جداول های امتیازات بالا در هر بازی، به عنوان مشوقی برای افزایش انگیزه جهت شرکت کردن در مداخله طراحی شده است. این نرم افزار چند رسانه ای، از هفت بازی کامپیوتری تشکیل شده است که هر بازی، به صورت تصویری از یک حیوان طراحی شده است. هفت لینک بازی شامل لینک های شیر، لکلک، گورخر، میمون، کرگدن، تماسح، فیل و اسب آبی می باشد. هر یک از لینک ها، یکی از ابعاد پژوهش را مورد بررسی قرار می دهد که در جدول ۱ معرفی شده اند.

جدول ۱. حیطه ای ارزیابی هر یک از بازی های رایانه ای ارزیابی شده در (LFI) Let's Face It

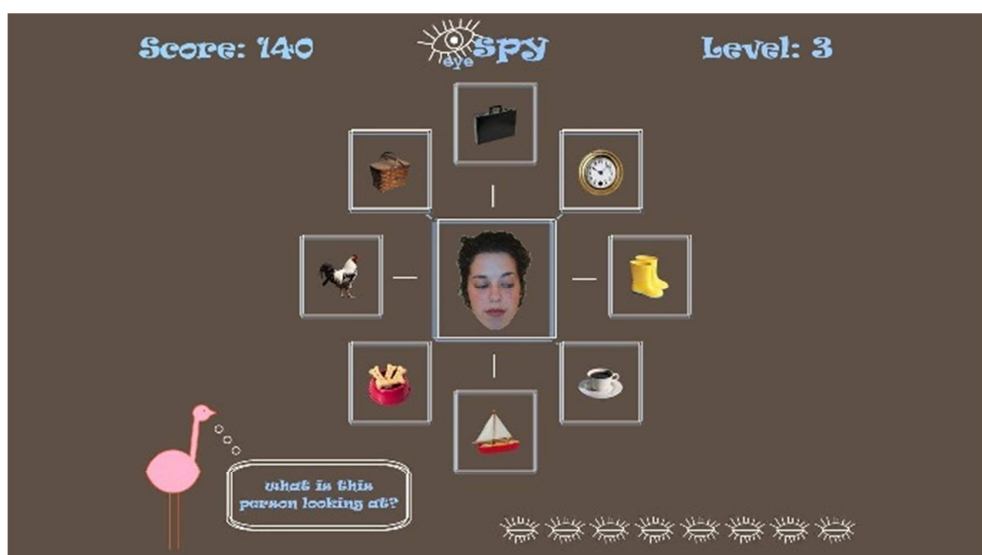
لینک	ابعاد پژوهش
شیر	بعد حالات عاطفی ابراز شده
لکلک	بعد ابعاد چهره
گورخر	بعد حافظه فوای برای چهره
میمون	بعد هویت کل از قطعات
کرگدن	بعد حالت های پوشیدگی چهره
تماسح	تطیق هویت

از سوی دیگر، هر لینک بازی (به استثنای لینک لکلک) در دو حالت Identity و Expression ارایه شده است. در حالت Identity چهره ای افراد مختلفی به نمایش در می آید و در حالت Expression تنها یک فرد با حالات چهره ای متفاوت (عصباتی، غم، خنده، تعجب و ...) حضور دارد. حالت Expression برای کودکان دشوار بود و به علت نمرات منفی دریافتنی، این حالت حذف شد.

در لینک شیر (Search party) چهره ای در مقابل کودک نمایش



شکل ۱. لینک کرگدن (بعد حالت‌های پوشیدگی چهره)



شکل ۲. لینک لکلک (بعد ابعاد چهره)

میانگین نمرات بیشتر حوزه‌های مورد مطالعه، به شکل معنی‌داری افزایش یافت؛ به گونه‌ای که بعد حالت عاطفی ابراز شده (لينک شیر)، ($P = 0.003$)، بعد هویت کل از قطعات (لينک میمون) ($P = 0.003$)، بعد حافظه‌ی فوری برای چهره (لينک گورخر) ($P = 0.022$)، بعد حالت‌های پوشیدگی چهره (لينک کرگدن) ($P = 0.015$) و بعد ابعاد چهره (لينک لکلک) ($P = 0.043$) افزایش معنی‌داری داشته است. این در حالی است که هیچ گونه تغییر معنی‌داری در گروه شاهد در هیچ یک از شاخص‌های اندازه‌گیری شده یافت نشد ($P > 0.050$). (جدول ۱).

(جدول‌های ۲ و ۳).

بودند ($P = 0.175$). همچنین، میانگین سن افراد در گروه مورد برابر با $9/41 \pm 2/71$ سال و در گروه شاهد برابر با $8/63 \pm 3/48$ سال بود ($P = 0.473$). میانگین نمره‌ی GARS افراد در گروه مورد برابر با $62/47 \pm 22/33$ و در گروه شاهد برابر با $62/56 \pm 22/76$ بود ($P = 0.909$). در رابطه با بازی LFI، تنها بعد حالت‌های پوشیدگی چهره (لينک کرگدن) در گروه مورد ($124/106$) به طور چشم‌گیری بالاتر از گروه شاهد ($-8/88$) بود (جدول ۱).

همچنین، مقایسه‌ی درون گروهی در گروه مورد نشان داد که

جدول ۲. میانگین و انحراف معیار متغیرهای مورد بررسی در دو گروه مورد و شاهد

متغیر	تعداد	میانگین ± انحراف معیار	مقدار P
سن	۱۷	۹/۴۱۰ ± ۲/۷۱۷	۰/۴۷۳
	۱۶	۸/۶۳۰ ± ۳/۴۸۱	
GARS	۱۷	۶۳/۴۷۰ ± ۲۲/۳۳۹	۰/۹۰۹
	۱۶	۶۲/۵۶۰ ± ۲۲/۷۶۲	
(C)	۱۷	۱۰/۷۵۹۰ ± ۲۰/۱۸۷۶	۰/۲۰۱
	۱۶	۲۰/۶۳۰ ± ۱۷۹/۳۳۱	
(G)	۱۷	۳۲۸/۳۵۰ ± ۱۰/۲۶/۶۷۹	۰/۱۹۷
	۱۶	-۱۰/۵۶۰ ± ۴۵/۸۸۱	
کرگدن	۱۷	۱۲۴/۰۶۰ ± ۱۸۷/۴۵۵	۰/۰۳۰
	۱۶	-۸/۸۰۰ ± ۱۴۳/۲۰۷	
تمساح	۱۷	۳۲/۵۹۰ ± ۷۲/۶۲۲	۰/۹۵۹
	۱۶	۳۰/۷۵۰ ± ۱۲۵/۸۰۵	
گورخر	۱۷	۱۹۴/۷۱۰ ± ۳۴۱/۱۰۶	۰/۰۸۴
	۱۶	۱۷/۱۰۰ ± ۲۱۰/۲۴۵	
میمون	۱۷	۲۲۳۷/۳۵۰ ± ۲۶۴۳/۱۲۷	۰/۵۹۶
	۱۶	۱۵۲۲/۱۰۰ ± ۴۷۸۵/۴۶۷	
شیر	۱۷	۱۹۳/۴۱۰ ± ۲۳۲/۶۲۹	۰/۵۱۸
	۱۶	۱۲۱/۱۳۰ ± ۳۸۸/۴۹۲	

EC: Eye contact; EG: Eye gaze

کودکان نیازمند زمان طولانی است، شاید عنصر زمان هم در عدم پیشرفت آنها مؤثر بوده است.

در یک کارآزمایی بالینی که توسط Tanaka و همکاران انجام گرفت، کودکان مبتلا به اوتیسم تحت مطالعه قرار گرفتند. در این مطالعه، کودکان اوتیستیک که دچار اختلال در تشخیص چهره بودند، ۲۰ ساعت با مداخله‌ی یک برنامه‌ی کامپیوتری مورد آموزش قرار گرفتند. این نرم افزار چند رسانه‌ای، متشکل از هفت بازی کامپیوتری با هدف تشخیص هویت چهره‌ها، تحلیل و نگرش و راهبردهای جامع پردازش شده‌ی چهره و توجه به اطلاعات مربوط به منطقه‌ی چشم ساخته شد. نتایج پژوهش نشان داد، کودکانی که مورد آموزش قرار گرفتند، نسبت به گروه شاهد پیشرفت‌های قابل اعتمادی در شناخت تحیلی از دهان، چهره‌ها و شناخت جامعی از چهره بر اساس ویژگی‌های چشم داشتند (۸). نتایج مطالعه‌ی پیش‌گفته با یافته‌های مطالعه‌ی حاضر همسو نبود.

درک و بازشناسی هیجان‌های سایرین، یک عامل مهم در ارتباطات اجتماعی تلقی می‌شود و به دلیل اهمیت تظاهرات چهره‌ای، هیجان‌ها در برقراری روابط اجتماعی، به طور طبیعی نقش در این توانمندی به شدت بر کیفیت ارتباط‌ها اثر می‌گذارد (۹). نقص در تعامل اجتماعی در موارد بسیاری مشاهده شده است.

بحث

در مطالعه‌ی Ramdoss و همکاران، مشاهده شد که استفاده از کامپیوتر در آموزش مبتلایان به اوتیسم، می‌تواند باعث افزایش مهارت‌های اجتماعی و عاطفی در این افراد گردد. در واقع، آن‌ها نشان دادند که استفاده از کامپیوتر در درمان بیماران اوتیستیک نسبت به روش‌های سنتی آموزش یک به یک و گروهی، مزایایی مانند آموزش ساده‌تر، کاهش حواس پرتی و استفاده از قوه‌ی بصری در آموزش دارد (۶). مطالعه‌ی حاضر نیز نتایج مشابه با مطالعه‌ی افزایش نشان داد. در مطالعه‌ی حاضر در اکثر ابعاد مورد مطالعه، افزایش معنی‌داری در نمره‌ی به دست آمده در گروه مورد وجود داشت که این امر، نشان دهنده‌ی مؤثر بودن این روش در مقابل روش‌های دیگر آموزشی در بیماران مبتلا به اوتیسم می‌باشد.

از طرفی، گروه شاهد در طی مطالعه تنها آموزش‌های مرکز بیماران مبتلا به اوتیسم را دریافت می‌کردند و با توجه به این که در مرکز مبتلا به اوتیسم، استفاده از کامپیوتر و بازی‌های کامپیوتری بسیار محدود است، احتمال می‌رود این استفاده‌ی کمتر از کامپیوتر، در عدم پیشرفت آنان تأثیر داشته باشد. از طرفی، طول کل دوره‌ی آموزش LFI حدود ۵ ماه بود و با توجه به این که جامعه‌ی هدف مطالعه‌ی حاضر کودکان مبتلا به اوتیسم بودند و بهبودی در این

(۱۲-۱۳). به تازگی، Kahana-Kalman و Goldman در مطالعه‌ی خود بر روی ۱۸ کودک چهار ساله‌ی مبتلا به اوتیسم نشان دادند که کودکان مبتلا به اوتیسم، به طور عموم در تطبیق حالات هیجانی با صدای‌های مربوط، دچار مشکل عمومی و جدی نیستند (۱۴). da Fonseca و همکاران نشان داده‌اند که کودکان مبتلا به اوتیسم مانند کودکان سالم در تعیین هیجانات چهره‌ای توانمند هستند و مبتلایان به اوتیسم در تکالیف استاندارد شده‌ای که برای اندازه‌گیری ابرازهای هیجانی چهره‌ای ساخته شده‌اند، مانند آزمون استاندارد شده‌ی مینسونتا (Standardise Minnesota test of affective processing) برای پردازش‌های عاطفی، عملکرد بهنجاری را نشان می‌دهند (۱۵).

یکی از اختلالاتی که در آن درک و ابراز حالات هیجانی و بازشناسی جلوه‌های هیجانی، با کاستی همراه است و به دنبال آن، تعامل و رفتار اجتماعی مطلوب نیست، اختلالات طیف اوتیسم می‌باشد (۱۰).

طیف اختلالات اوتیسم، از جمله اختلالات نافذ رشد هستند که به طور خاص، با نقص در ارتباط، تعامل اجتماعی و رفتارهای کلیشه‌ای و تکراری تشخیص داده می‌شوند (۱۱). نبود مهارت در ابراز و بازشناسی هیجانات نیز از برجسته‌ترین مشخصات این کودکان است و احتمال می‌رود یکی از اصلی‌ترین موانع در برقراری یک رابطه صمیمانه با سایرین و ایجاد روابط اجتماعی تلقی می‌شود.

جدول ۳ میانگین و انحراف معیار متغیرهای مورد بررسی در دو گروه مورد و شاهد قبل و بعد از آموزش

گروه	تعداد	میانگین ± انحراف معیار	اختلاف میانگین	اختلاف انحراف معیار	t	مقدار P
گروه مورد	۱۷	۲۵۴/۹۴ ± ۲۵۱/۲۵۹	۱۹۳/۴۱۲	۲۲۲/۶۲۹	۳/۴۲۸	۰/۰۰۳
	۱۷	۶۱/۵۳ ± ۵۹/۵۴۹				
میمون	۱۷	۳۴۱۱/۲۴ ± ۳۱۹۵/۲۴۹	۲۲۳/۷۰۰	۲۶۴۳/۱۲۰	۳/۴۹۰	۰/۰۰۳
	۱۷	۱۱۷۳/۸۸ ± ۱۹۷۴/۶۸۹				
گورخر	۱۷	۲۴۱/۴۷ ± ۳۵۸/۰۶۱	۱۹۴/۷۰۶	۳۴۱/۱۰۰	۲/۳۵۴	۰/۰۳۲
	۱۷	۴۶/۷۶ ± ۴۰/۹۶۷				
تمساح	۱۷	۴۹/۷۱ ± ۱۱۶/۳۱۵	۳۲/۵۸۸	۷۲/۶۲۲	۱/۸۵۰	۰/۰۸۳
	۱۷	۱۷/۱۲ ± ۴۴/۰۳۲				
کرگدن	۱۷	۲۶۹/۲۹ ± ۲۳۰/۲۶۰	۱۲۴/۰۵۹	۱۸۷/۴۵۵	۲/۷۷۹	۰/۰۱۵
	۱۷	۱۴۵/۲۴ ± ۱۸۱/۶۳۵				
لکلک	۱۷	۲۸۳/۴۱ ± ۱۱۴۸/۷۲۹	۳۲۸/۳۵۳	۱۰۲۶/۶۷۹	۱/۳۱۹	۰/۲۰۶
	۱۷	۵۵/۰۶ ± ۱۲۶/۵۴۱				
لکلک	۱۷	۱۱۸/۹۴ ± ۲۰۵/۷۳۳	۱۰۷/۵۸۸	۲۰۱/۸۷۶	۲/۱۹۷	۰/۰۴۳
	۱۷	۱۱/۳۵ ± ۳۹/۷۴۸				
گروه شاهد	۱۶	۳۱۶/۳۱ ± ۵۰/۱۲۷۰	۱۲۱/۱۲۵	۳۸۸/۴۹۲	۱/۲۴۷	۰/۲۳۱
	۱۶	۱۹۰/۱۹ ± ۱۹۶/۰۲۲				
میمون	۱۵	۴۲۷۰/۵۳ ± ۶۲۷۲/۶۵۸	۱۶۲/۵۰۰	۴۹۳۵/۵۵۸	۱/۲۷۵	۰/۲۲۳
	۱۵	۲۶۴۶/۱۰۰ ± ۴۳۷۶/۸۰۵				
گورخر	۱۶	۱۱۸/۷۵ ± ۴۶۱/۴۴۸	۱۷/۰۰۰	۲۱۰/۲۴۵	۰/۳۲۴	۰/۷۵۱
	۱۶	۱۰۱/۷۵ ± ۲۰۸/۸۴۵				
تمساح	۱۶	۳۴/۱۹ ± ۱۲۴/۰۴۵	۳۰/۷۵۰	۱۲۵/۸۰۵	۰/۹۷۸	۰/۳۴۴
	۱۶	۳/۴۴ ± ۱۳/۷۵۰				
کرگدن	۱۶	۳۰۰/۰۰ ± ۳۵۶/۴۲۸	-۸/۸۷۵	۱۴۳/۲۰۷	-۰/۲۴۸	۰/۸۰۸
	۱۶	۳۰۸/۸۸ ± ۳۶۶/۷۲۵				
لکلک	۱۶	۱۰۶/۲۵ ± ۱۹۱/۳۳۵	-۱۰/۵۶۳	۴۵/۸۱	-۰/۹۲۱	۰/۳۷۲
	۱۶	۱۱۶/۸۱ ± ۲۲۰/۳۳۰				
لکلک	۱۶	۱۷۲/۳۱ ± ۲۳۹/۲۱۵	۲۰/۶۲۵	۱۷۹/۳۳۱	۰/۴۶۰	۰/۶۵۲
	۱۶	۱۵۱/۶۹ ± ۲۳۸/۰۲۶				

EC: Eye contact; EG: Eye gaze

کرد؛ چرا که مطالعه‌ی حاضر بر روی کودکان مبتلا به اوتیسم انجام شد و از آن جایی که افراد مبتلا به اوتیسم در برقراری ارتباط مشکل دارند، تنها از مریبیان آن‌ها برای اجرای بازی کمک گرفته شد. برای نتیجه‌گیری بهتر لازم است جهت یادگیری صحیح مریبیان، زمان بیشتری صرف شود. از سویی، کودکان مبتلا به اوتیسم به علت اختلالات رفتاری گاهی به انجام بازی تمایلی نشان نمی‌دادند و یا تمرکز کافی برای بازی نداشتند و حتی گاه بدون دلیل شناخته شده‌ای بازی را ادامه نمی‌دادند که این موضوع یکی از مشکلات اصلی در سیستم امتیازدهی کودکان بود.

همچنین، یکی از لینک‌های بازی، لینک فیل بود که شرکت کنندگان به دلیل دشواری ناشی از مهارت و سرعت بالا در انجام آن مشکل داشتند و در نتیجه، این لینک حذف شد. به نظر می‌رسد اگر برای این لینک طراحی ساده‌تری در نظر گرفته می‌شد، نیازی به حذف آن نبود. از محدودیت‌های دیگر این مطالعه، استفاده از نرم‌افزار خارجی بدون تطبیق کامل با فرهنگ ایرانی و محرک‌های آشنا برای بیمار بود. پیش‌آزمون و پس‌آزمون این طرح، نرم‌افزار LFI بود که به نظر می‌رسد اگر از یک آزمون طلایی استاندارد استفاده شود، نتایج دقیق‌تری کسب خواهد شد. از جمله محدودیت‌های اساسی در این مطالعه، وجود منابع و نمونه‌های پژوهشی مرتبط اندک در رابطه با موضوع تحقیق و عدم کنترل دقیق تأثیر متغیرهای مخدوش‌گر بود.

تشکر و قدردانی

این پژوهش برگفته از پایان‌نامه‌ی دوره‌ی دکتری حرفه‌ای پزشکی زینب جعفری به شماره‌ی طرح تحقیقاتی مصوب ۲۹۲۰۰۱ می‌باشد. بدین وسیله، از حوزه‌ی معاونت محترم پژوهشی دانشگاه علوم پزشکی اصفهان، مرکز تحقیقات رشد و نمو، مرکز تحقیقات علوم رفتاری و کلیه افرادی که به هر نحو در انجام این مطالعه همکاری کردند، مانند پرسنل و مریبان محترم مراکز اوتیسم شهرستان اصفهان (مرکز اوتیسم شیخ مفید، مرکز اوتیسم اصفهان و مرکز اوتیسم اردبیهشت) تقدیر و تشکر به عمل می‌آید.

References

1. Tonacci A, Billeci L, Tartarisco G, Ruta L, Muratori F, Pioggia G, et al. Olfaction in autism spectrum disorders: A systematic review. *Child Neuropsychol* 2015; 1-25. [Epub ahead of print].
2. Science Daily. Mother is just another face in the crowd to autistic children. University of Washington [Online]. [cited 2001 Apr 20]; Available from: URL: https://www.sciencedaily.com/releases/2001/04/0104_18072256.htm
3. Zander E. An introduction to autism. Stockholm, Sweden: Handikapp and Habilitering, 2005. p. 2-12.
4. Smith B. Cartoon trains teach autistic children about emotions [Online]. [cited 2010 Jan 7]; Available from: URL: <http://www.smh.com.au/national/cartoon-trains-teach-autistic-children-about-emotions-20100106-ludl.html>
5. Dautenhahn K, Billard A. Games children with autism can play with robona, a humanoid robotics doll. In: Keates S, Langdon PM, Clarkson PJ, Robinson P, editors. 1st ed. Cambridge Workshop on Universal Access and Assistive

- Technology(CWUAAT). London, UK: Universal Access and Assistive Technology, Springer-Verlag; p. 179-90.
6. Ramdoss S, Machalicek W, Rispoli M, Mulloy A, Lang R, O'Reilly M. Computer-based interventions to improve social and emotional skills in individuals with autism spectrum disorders: a systematic review. *Dev Neurorehabil* 2012; 15(2): 119-35.
 7. Kane JL. Exploration of computer game interventions in improving Gaze following behavior in children with autism spectrum disorder [Thesis]. Blacksburg, VA: Virginia Polytechnic Institute, Virginia State University; 2011. p. 2-8.
 8. Tanaka JW, Wolf JM, Klaiman C, Koenig K, Cockburn J, Herlihy L, et al. Using computerized games to teach face recognition skills to children with autism spectrum disorder: the Let's Face It! program. *J Child Psychol Psychiatry* 2010; 51(8): 944-52.
 9. Farran EK, Branson A, King BJ. Visual search for basic emotional expressions in autism; impaired processing of anger, fear and sadness, but a typical happy face advantage. *Res Autism Spectr Disord* 2011; 5: 455-62.
 10. Nasseh H. With autism from diagnosis to treatment. 3rd ed. Tehran, Iran: Danjeh Publications; 2015. [In Persian].
 11. Sadock BJ, Sadock VA. Kaplan and Sadock's synopsis of psychiatry: Behavioral sciences/clinical psychiatry. 10th ed. Philadelphia, PA: Lippincott Williams and Wilkins; 2007.
 12. Kahana-Kalman R, Goldman S. Intermodal matching of emotional expressions in young children with autism. *Res Autism Spectr Disord* 2008; 2(2): 301-10.
 13. da Fonseca D, Santos A, Bastard-Rosset D, Rondan C, Poinso F, Deruelle C. Can children with autistic spectrum disorders extract emotions out of contextual cues? *Res Autism Spectr Disord* 2009; 3(1): 50-6.
 14. Kryska KM, Rutherford MD. A threat-detection advantage in those with autism spectrum disorders. *Brain Cogn* 2009; 69(3): 472-80.
 15. Schultz RT. Developmental deficits in social perception in autism: the role of the amygdala and fusiform face area. *Int J Dev Neurosci* 2005; 23(2-3): 125-41.

Effect of "Let's Face It" Computer Game on Improving Face Recognition Skills in Patients with Autism Spectrum Disorders

Mostafa Najafi MD¹, Zeinab Jafari², Behzad Mahaki PhD³

Original Article

Abstract

Background: Autism is a complex social-relations type developmental disorder that its main cause is unknown. Complete inability to recognize faces is one of the serious problems in these patients. This study aimed to determine the effect of "Let's Face It" (LFI) educational software in improving face cognitive skills in children with autism.

Methods: 33 patients with autism, including 17 case in intervention and 16 in control groups, were studied. After obtaining the consent from the parents, the intervention group underwent "Let's Face It" training program for 20 hours and both the groups received the training programs consistent with autistic centers. At the end, both the groups were tested using "Let's Face It" application and the results were compared using t test and analysis of covariances.

Findings: Most of the studied areas, the expressed emotional states (tap link) ($P = 0.003$), the identity of the parts (monkey links) ($P = 0.003$), the immediate memory for faces (zebra link) ($P = 0.032$), the face-latency mode (rhinoceros link) ($P = 0.015$) and the size of face (stork link) ($P = 0.043$) significantly increased in the intervention group. However, There was not any significant change in any of the the studied areasin the control group ($P > 0.050$). According to "Let's Face It" software, only the face-latency mode (rhinoceros link) was significantly higher in the intervention group compared to the control group.

Conclusion: This study indicated that the use of educational software such as "Let's Face It" can be effective in education of patients with autism and face recognition; this can lead to improve the treatment of these patients.

Keywords: Autism, Let's Face It (LFI) educational software, Face recognition skills

Citation: Najafi M, Jafari Z, Mahaki B. Effect of "Let's Face It" Computer Game on Improving Face Recognition Skills in Patients with Autism Spectrum Disorders. J Isfahan Med Sch 2016; 33(365): 2279-87

1- Associate Professor, Behavioral Sciences Research Center AND Department of Psychiatry, School of Medicine, Isfahan University of Medical Sciences, Isfahan, Iran

2- Student of Medicine, School of Medicine AND Student Research Committee, Isfahan University of Medical Sciences, Isfahan, Iran

3- Assistant Professor, Department of Biostatistics, School of Medicine, Isfahan University of Medical Sciences, Isfahan, Iran

Corresponding Author: Zeinab Jafari, Email: z.jafari.med86@gmail.com

تأثیر لیزر فتوکوگولاسیون رتین به روش‌های Pattern Scan و تک نقطه‌ای در تغییرات ایسکمی رتین و نئواسکولاریزاسیون آن در بیماران مبتلا به رتینوپاتی دیابتی؛ یک کارآزمایی بالینی

دکتر فرزان کیان ارشی^۱، دکتر علیرضا جمشیدی مدد^۲، دکتر علیرضا دهقانی^۱، دکتر خدایار گلابچی^{۱*}،
دکتر حشمت الله قنبری^۱، دکتر محمد رضا اخلاقی^۱

مقاله پژوهشی

چکیده

مقدمه: درمان استاندارد رتینوپاتی دیابتی پرولیفراتیو، لیزر فتوکوگولاسیون رتین می‌باشد این درمان به صورت تک نقطه‌ای و Pattern scan انجام می‌شود. هدف از این مطالعه، ارزیابی تغییرات ایسکمی رتین و پسرفت نئواسکولاریزاسیون رتین با استفاده از روش Pattern scan در مقایسه با تک نقطه‌ای در بیماران مبتلا به رتینوپاتی دیابتی پرولیفراتیو بود.

روش‌ها: این مطالعه، یک کارآزمایی بالینی آینده‌نگر بود که در ۱۴۶ چشم از ۷۳ بیمار مبتلا به رتینوپاتی دیابتی پرولیفراتیو انجام شد. یک چشم بیماران به صورت تصادفی با لیزر Pattern scan و چشم دیگر، با لیزر تک نقطه‌ای تحت درمان قرار گرفت. بعد از مدت ۶ ماه، میزان پسرفت نئواسکولاریزاسیون رتین در ناحیه دیسک عصب اپتیک و رتین و نیز تغییرات ایسکمی رتین بر اساس میزان ناحیه‌ی خون‌رسانی نشده که در فلورسین آنژبیوگرافی مشخص گردید، مورد مقایسه قرار گرفت.

یافته‌ها: تفاوت معنی‌داری در میزان پسرفت نئواسکولاریزاسیون رتین در ناحیه‌ی دیسک و رتین خارج از Pole خلفی بر اساس میزان لیک در آنژبیوگرافی در دو روش لیزر شامل تک نقطه‌ای ($P = 0/31$) و Pattern scan ($P = 0/26$) وجود نداشت. پیشرفت ایسکمی در ۹ چشم درمان شده با روش Pattern scan مشاهده شد، در حالی که این میزان پیشرفت در گروه دیگر تنها ۲ مورد بود ($P = 0/02$).

نتیجه‌گیری: نواحی پیشرفت ایسکمی رتین در گروه درمان شده با لیزر Pattern scan در مقایسه با لیزر تک نقطه‌ای بالاتر بود. این یافته نشان داد که مطالعات بیشتری لازم است تا روشهای پیشرفت ایسکمی رتین در گروه Pattern scan پیدا شود که افراد مشابه پیشرفت ایسکمی رتین در روش تک نقطه‌ای داشته باشند.

وازگان کلیدی: لیزر فتوکوگولاسیون تک نقطه‌ای، لیزر Pattern scan، لیزر فتوکوگولاسیون Panretinal

ارجاع: کیان ارشی فرزان، جمشیدی مدد علیرضا، دهقانی علیرضا، گلابچی خدایار، قنبری حشمت الله، اخلاقی محمد رضا. تأثیر لیزر فتوکوگولاسیون رتین به روش‌های Pattern Scan و تک نقطه‌ای در تغییرات ایسکمی رتین و نئواسکولاریزاسیون آن در بیماران مبتلا به رتینوپاتی دیابتی؛ یک کارآزمایی بالینی. مجله دانشکده پزشکی اصفهان ۱۳۹۴؛ ۳۳(۳۳): ۲۲۸۸-۲۲۹۵.

مقدمه

رتینوپاتی دیابتی، شایع‌ترین علت اختلال دید و نایابنایی در جمعیت فعلی جامعه می‌باشد (۱). رتینوپاتی دیابتی، یک بیماری عروقی مزمن و پیشرونده‌ی رتین است که به ایسکمی رتین و در نتیجه، ایجاد نئواسکولاریزاسیون و عوارض ناشی از آن منجر می‌شود (۲). بر اساس چندین مطالعه‌ی بزرگی که در رابطه با رتینوپاتی دیابتی انجام شده است (مانند Early treatment diabetic retinopathy study (ETDRS)، استفاده از لیزر فتوکوگولاسیون روشهای با عارضه‌ی کم

و غیر تهاجمی برای درمان رتینوپاتی دیابتی غیر پرولیفراتیو خیلی شدید (Nonproliferative diabetic retinopathy) (NPDR) و رتینوپاتی دیابتی پرولیفراتیو (PDR) یا Very severe NPDR) (Very severe PDR) یا کاهش کمبود اکسیژن رتین با استفاده از لیزر فتوکوگولاسیون، کاهش کمبود اکسیژن رتین با استفاده از کاهش نیاز به اکسیژن و همچنین، افزایش انتشار اکسیژن از کروپید با استفاده از اسکار لیزر است (۴-۵). Panretinal photocoagulation (PRP) در فتوکوگولاسیون

- دانشیار، گروه چشم‌پزشکی، بیمارستان فیض، دانشگاه علوم پزشکی اصفهان، اصفهان، ایران
- دستیار، گروه چشم‌پزشکی، بیمارستان فیض، دانشگاه علوم پزشکی اصفهان، اصفهان، ایران

Email: kh_golabchi@edc.mui.ac.ir

نویسنده‌ی مسؤول: دکتر خدایار گلابچی

یووئیت، رتینیت پیگمتوزا، میوپی پاتولوژیک و عصب اپتیک غیر طبیعی بودند.

در این مطالعه، چشم‌هایی که دارای ادم ماقولای دیابتی بودند، قبل از انجام PRP، با لیزر فوکال یا Grid تحت درمان قرار گرفتند (مشخصات دستگاه: Viridis twin, quantel medical Inc, Cournon-d'Auvergne, France). اندازه‌ی نقطه‌ی لیزر ۵۰–۱۰۰ میکرون با فاصله‌ی یک نقطه بین آن‌ها و نیز زمان لیزر ۰/۱ ثانیه بود. حدت بینایی اصلاح شده در همه‌ی بیماران با Snellen chart بررسی شد. معاینه با دستگاه Slate lamp از سگمان قدامی و نیز اندازه‌گیری فشار چشم (IOP) یا Goldmann tonometry (Intraocular pressure) با استفاده از این مطالعه شد. سگمان خلفی با افتالموسکوپی غیر مستقیم با استفاده از لنز ۲۰ یا با Slate lamp با استفاده از لنز ۷۸ تحت معاینه قرار گرفت. Optical coherence tomography، فوندوس فتوگراف پایه، (OCT) و فلورسین آنژیوگرافی پایه برای هر چشم با دستگاه TOPCON (Topcon optical company, Japan, Tokyo) تهیی شد (مشخصات دستگاه: .

در این مطالعه، یکی از چشم‌ها به صورت تصادفی تحت درمان با لیزر تک نقطه‌ای (مشخصات دستگاه: Viridis twin, quantel medical Inc, Cournon-d' Auvergne, France) و چشم دیگر (مشخصات دستگاه: بیمار تحت درمان با لیزر Pattern scan (Valon, Duallaser Inc, Helsinki, Finland) قرار گرفت. در تمام جلسات، لیزر با روش یکسان در هر چشم انجام شد. قبل از انجام لیزر، یک قطره تراکائین ۰/۵ درصد در هر چشم چکانده شد تا بی‌حسی موضعی ایجاد شود. تنظیماتی که در لیزر تک نقطه‌ای استفاده شد، شامل تعداد نقاط لیزر ۱۵۰۰–۲۰۰۰ عدد با اندازه‌ی هر نقطه ۳۰۰–۴۰۰ میکرون و فاصله‌ی یک نقطه بین لیزرها و زمان لیزر ۱۰۰ میلی‌ثانیه بود.

برای لیزر Pattern scan از نوع ۱۶ نقطه‌ای (۴ × ۴) استفاده شد که تعداد نقاط لیزر، ۲۵۰۰–۳۰۰۰ عدد با اندازه‌ی ۳۰۰–۴۰۰ میکرون و زمان لیزر ۲۰ میلی‌ثانیه بود. این دو روش در ۳ جلسه در هر چشم با روش یکسان انجام شد. در جلسه‌ی اول، لیزر در قسمت تختانی رتین، ۲ هفته بعد در سمت نازال رتین و ۲ هفته بعد، لیزر در قسمت فوقانی و تمپورال رتین انجام شد. قدرت (Power) دستگاه لیزر در حدی تعیین شد که سفید شدگی رتین ناشی از لیزر مشاهده شود. برای مشخص کردن درک درد توسط بیماران در این دو روش لیزر، از Visual analog scale (VAS) استفاده گردید که یک روش غیر عینی است و به ۴ شماره‌ی ۰ (بدون درد)، ۱ (درک درد خفیف)، ۲ (درک درد شدید) و ۳ (درد غیرقابل تحمل) تقسیم می‌شود. بیماران

یا PRP) کل رتین به جز مرکز ماکولا و ۵۰۰ میکرون اطراف دیسک تحت درمان با لیزر قرار می‌گیرد. چندین سیستم مختلف لیزر برای ایجاد نقاط لیزری وجود دارد. در روش مرسوم (قدیمی) با فشردن هر پدال از دستگاه، یک نقطه‌ی لیزر بر روی رتین ایجاد می‌شود. این روش، نیاز به چندین جلسه درمان دارد و نیز گیرد (۳). این نوع از لیزر، نیاز به زمان بیشتری برای انجام دارد و نیز درد و ناراحتی بیمار در طی انجام لیزر بیشتر است که علت آن، آسیب بیشتر به رتین خارجی و ناجه‌ی کرویید که غنی از اعصاب حسی است، می‌باشد (۶–۷).

روش جدیدتر از لیزر فتوکواگولاسیون، سیستم Pattern scan است که با فشردن هر پدال از دستگاه ۵۶ نقطه از لیزر به رتین می‌رسد. در این روش، مدت زمان لیزر کوتاه‌تر (۲۰–۳۰ میلی‌ثانیه) است که باعث می‌شود آسیب حرارتی به بافت رتین کمتر شود و در نتیجه، بیمار احساس درد کمتری داشته باشد (۷–۹). هدف از این مطالعه، مقایسه‌ی لیزر فتوکواگولاسیون تک نقطه‌ای و Pattern scan از جهت پسرفت نشوواسکولاریزاسیون رتین، ایسکمی رتین و همچنین عوارض ناشی از PRP بود.

روش‌ها

این مطالعه یک کارآزمایی بالینی آینده‌نگر بود. در این مطالعه، ۱۶۴ چشم از ۸۲ بیمار مبتلا به دیابت، که به علت رتینوپاتی دیابتی در سال‌های ۱۳۹۱–۹۳ به بیمارستان فیض اصفهان مراجعه کرده بودند، تحت بررسی قرار گرفت.

تشخیص ابتلا به دیابت در بیماران به صورت کلینیک و آزمایشگاهی توسط متخصص داخلی انجام شده بود. همه‌ی بیماران در مرحله‌ی PDR بودند. PDR با نشوواسکولاریزاسیون دیسک عصب اپتیک و رتین مشخص می‌شد (۳). معیارهای ورود به مطالعه، شامل بیمارانی بود دیابت نوع ۲ داشتند و در گذشته، تحت درمان با لیزر فتوکواگولاسیون یا تریپتیک کورتون به داخل ویتره و Anti-VEGF (Anti-vascular endothelial growth factor) قرار نگرفته بودند و نیز دید اصلاح شده‌ی آن‌ها بیشتر از ۰/۱ بود. طرح این مطالعه، در دانشگاه علوم پزشکی اصفهان با کد پژوهشی ۳۹۳۸۹۸ مورد تأیید قرار گرفت.

معیارهای خروج بیماران از مطالعه شامل بروز هر گونه خونریزی ویتره یا جدا شدگی کششی رتین در ۲ ماه اول شروع مطالعه، عدم امکان انجام لیزر با بروز هر گونه کدورت مسیر بیانی مانند کدورت قرنیه، کاتاراكت یا خونریزی ویتره، وجود بیماری‌های سیستمیک به جز دیابت که باعث تغییرات غیر طبیعی عروق رتین شده باشد (مانند فشار خون بالا و واسکولیت)، بیماری‌های چشمی مانند گلوكوم،

همه بیماران در هر دو چشم در مرحله PDR بودند. میانگین طول مدت بیماری دیابت در بیماران، $3/32 \pm 10/20$ سال بود. میانگین حدت بیانی در چشم‌هایی که به روش لیزر تک نقطه‌ای درمان شدند، $0/76 \pm 0/14$ LogMAR و در چشم‌هایی که با لیزر Pattern scan درمان شدند، $0/77 \pm 0/13$ LogMAR بود. آزمون t (Paired). تفاوت معنی‌داری بین دو گروه از نظر حدت بیانی بعد از ۶ ماه وجود نداشت؛ به طوری که میانگین حدت بیانی در گروه لیزر تک نقطه‌ای، $0/16 \pm 0/77$ و در گروه لیزر Pattern scan آزمون $P = 0/75$ به دست آمد.

درد

درک درد توسط بیماران بر اساس VAS انجام شد. بیمارانی که به روش لیزر تک نقطه‌ای درمان شده بودند، به طور مشخصی احساس درد بیشتری از بیماران گروه دیگر داشتند؛ به گونه‌ای که ۲ بیمار در این گروه، دردی را تجربه کرده بودند، که در گذشته نظیر آن را نداشتند، در حالی که در گروه دیگر این نوع درد وجود نداشت آزمون $P = 0/04$. آزمون Wilcoxon (جدول ۱).

جدول ۱. فراوانی درک درد در طی انجام لیزر فتوکوآگولاسیون در میان بیماران درمان شده با روش‌های تک نقطه‌ای

(SS-PRP و Single spot-panretinal photocoagulation)

Pattern scan-panretinal) Pattern scan (PS-PRP photoocoagulation

گروه درمان شده با PS-PRP	گروه درمان شده با SS-PRP	مقیاس VAS
بدون درد	۱۵	
درد خفیف	۴۶	
درد شدید	۱۰	
درد غیر قابل تحمل	۲	

SS-PRP: Single spot-panretinal photocoagulation; PS-PRP: Pattern scan- Panretinal photocoagulation; VAS: Visual analog scale

پسرفت نفوواسکولاریزاسیون و ایسکمی

پسرفت NVD (نفوواسکولاریزاسیون سر عصب اپیک) در ۳۶ چشم در هر دو گروه دیده شد، در حالی که پسرفت NVE (نفوواسکولاریزاسیون رتین) در ۵۶ چشم در گروه لیزر تک نقطه‌ای و ۴۶ چشم در گروه لیزر Pattern scan بر اساس معاینه کلینیک و فلورسین آنژیوگرافی مشاهده شد. در این مطالعه، تفاوت معنی‌داری بین پسرفت NVE و NVD در دو گروه مشاهده نشد ($P = 0/26$) در گروه لیزر تک نقطه‌ای و $P = 0/31$ در گروه لیزر Pattern scan

در جلسه اول لیزر از جهت میزان درد در هر کدام از چشم‌ها، مورد سوال قرار گرفتند و به صورت پیش‌گفته، تقسیم‌بندی شدند. بعد از کامل شدن لیزر در ۳ جلسه، در طی ماه ۲ و ۶ بعد آن، یک چشم‌پیش‌شک، معاینه‌ی کامل چشم از جهت میزان نفوواسکولاریزاسیون و خونریزی ویتره و جدایشگی تراکشنال رتین، خونریزی پرهرتینال و عوارض ناشی از درمان با لیزر را مورد بررسی قرار داد. در پایان ماه ۶، فلورسین آنژیوگرافی برای همه بیماران انجام شد.

میزان نفوواسکولاریزاسیون رتین (NVD) یا Neovascularization of the disc (NVE) با فلورسین آنژیوگرافی دقیقه‌ی ۲ بعد از تزریق فلورسین مشخص شد و اندازه‌ی این نواحی، بر اساس قطر دیسک محاسبه گردید و به صورت پیش‌رفت، علم تغییر، پسرفت خفیف (کمتر از ۵۰ درصد پسرفت در اندازه‌ی نفوواسکولاریزاسیون در مقایسه با فلورسین آنژیوگرافی پایه) و پسرفت مشخص (پسرفت کامل یا بیشتر از ۵۰ درصد اندازه‌ی نفوواسکولاریزاسیون در مقایسه با فلورسین آنژیوگرافی پایه) تقسیم‌بندی شد. نواحی ایسکمی رتین بر اساس حضور، عدم خونرسانی مویرگی در فلورسین آنژیوگرافی در دقیقه‌ی ۱ بعد از تزریق فلورسین مشخص شد و اندازه‌ی این نواحی، بر اساس قطر دیسک محاسبه گردید و به دو نوع نواحی بدون تغییر ایسکمی و نواحی با پیش‌رفت ایسکمی تقسیم شد. در طی مطالعه، در صورت کاهش دید بیماران بدون خونریزی ویتره، OCT جهت بررسی ادم ماکولا انجام شد.

داده‌های در نرم‌افزار SPSS نسخه‌ی ۱۹ (version 19, SPSS Inc., Chicago, IL) عنوان سطح معنی‌داری در نظر گرفته شد. همچنین، برای واکاوی داده‌ها، از آزمون‌های McNemar، Wilcoxon و Paired t، ANOVA و استفاده شد. به منظور تجزیه و تحلیل آماری، دید اصلاح شده بیماران به Log minimum angle of resolution (LogMAR) تبدیل شد.

یافته‌ها

مشخصات بیماران

این مطالعه بر روی ۱۶۴ چشم از ۸۲ بیمار انجام شد. ۹ بیمار از مطالعه خارج شدند که یک بیمار به علت جدایشگی کششی رتین در ماه اول پی‌گیری و ۲ بیمار به علت خونریزی ویتره در ماه اول پی‌گیری (یک چشم به روش لیزر Pattern scan و یک چشم به روش لیزر تک نقطه‌ای) و ۶ بیمار به علت عدم پی‌گیری بود. در پایان مطالعه، ۱۴۶ چشم از ۷۳ بیمار (۴۰ زن و ۳۳ مرد) تحت درمان با PRP قرار گرفتند. میانگین سنی بیماران $56/31 \pm 7/33$ سال بود.

جدول ۲. فراوانی پسرفت یا پیشرفت نیوواسکولاریزاسیون سر عصب (Neovascularization of the disc) و نیوواسکولاریزاسیون رتین (Neovascularization elsewhere) در چشم‌های درمان شده با روش‌های تک نقطه‌ای (Single spot-panretinal photocoagulation) و (Single spot-panretinal photocoagulation) Pattern scan بر اساس یافته‌های کلینیک و فلورسین آنژیوگرافی

PS-PRP				SS-PRP			
NVE	NVD	NVE	NVD				
۶	۶	۵	۴				پیشرفت
۱۵	۱۴	۱۳	۱۳				بدون تغییر
۲۴	۲۳	۲۷	۲۱				پسرفت خفیف
۲۲	۱۳	۲۴	۱۵				پسرفت علامت‌دار
۶	۱۷	۴	۲۰				چشم‌های فاقد NVE یا NVD هم زمان

SS-PRP: Single spot-panretinal photocoagulation; PS-PRP: Pattern scan- Panretinal photocoagulation; NVE: Neovascularization elsewhere; NVD: Neovascularization of the disc

نوع روش PRP در پسرفت نیوواسکولاریزاسیون و همچنین، تغییرات ایسکمی رتین در چشم‌های بیماران برسی شد. هدف بعدی در این مطالعه، مقایسه احساس درد در طی انجام لیزر و نیز عوارض ایجاد شده پس از انجام لیزر درمانی بود. یافته‌های اصلی این مطالعه، افزایش مشخص پیشرفت ایسکمی رتین بر اساس فلورسین آنژیوگرافی در روش Pattern scan نسبت به تک نقطه‌ای بود؛ در حالی که تقاضات معنی‌داری بین پسرفت نیوواسکولاریزاسیون در دو نوع روش وجود نداشت. همچنین، احساس درد در چشم‌هایی که با روش تک نقطه‌ای تحت لیزر قرار گرفته بودند، بیشتر بود؛ اما عوارض ناشی از لیزر در هر دو گروه مشابه بود. نیوواسکولاریزاسیون رتین تحت تأثیر عوامل (VEGF) Vascular endothelial growth factors آنژیوژنیک مانند ایکسیژن ایجاد می‌شود. این عوامل، در شرایط کاهش اکسیژن افزایش می‌یابد، همچنین، کاهش VEGF باعث کاهش نیوواسکولاریزاسیون می‌شود.

لیزر باعث تخریب نواحی ایسکمی رتین می‌شود و بنا بر این، نیاز به اکسیژن و در نتیجه، تولید VEGF نیز کاهش می‌یابد. این فرایند، مکانیسم اصلی کنترل نیوواسکولاریزاسیون رتین توسط لیزر PRP است. همچنین، نواحی لیزر شده رتین باعث انتشار مستقیم اکسیژن از کروپید به رتین داخلی می‌شود (۱۱، ۱۰، ۷، ۵). روش جدید انجام PRP به صورت Pattern scan است، که در آن پارامترهای لیزر تغییراتی نظیر کوتاه شدن مدت زمان پالس لیزر داشت و در نتیجه، انرژی کمتری به هر نقطه‌ای لیزر وارد می‌شود (۹).

در بیشتر مطالعات، Pattern scan با سیستم PASCAL انجام شد، در حالی که در مطالعه‌ی حاضر، از سیستم Valon استفاده شد (Valon, Duallaser Inc, Helsinki, Finland). مطالعه‌ی حاضر نشان داد که پیشرفت ایسکمی رتین بر اساس یافته‌های فلورسین آنژیوگرافی در گروه درمان شده با لیزر Pattern scan بیشتر از لیزر تک نقطه‌ای است. شاید علت آن انرژی کمتری است که در روش

جدول ۳. فراوانی پیشرفت یا بدون تغییر بودن ایسکمی رتین بر اساس فلورسین آنژیوگرافی بین چشم‌های درمان شده با روش‌های تک نقطه‌ای (Single spot-panretinal photocoagulation) و (Pattern scan-panretinal photocoagulation)

(Pattern scan-panretinal photocoagulation)

نواحی با ایسکمی رتین	PS-PRP	SS-PRP
بدون تغییر	۶۴	۷۱
پیشرفت ایسکمی	۹	۲

SS-PRP: Single spot-panretinal photocoagulation; PS-PRP: Pattern scan-panretinal photocoagulation

آزمون آزاد (Wilcoxon) (جدول ۲). بر اساس فلورسین آنژیوگرافی، پیشرفت ایسکمی رتین در گروه درمان شده با لیزر Pattern scan به صورت معنی‌داری بیشتر از گروه دیگر بود ($P = 0.02$). آزمون Wilcoxon (جدول ۳ و شکل ۱).

عارض

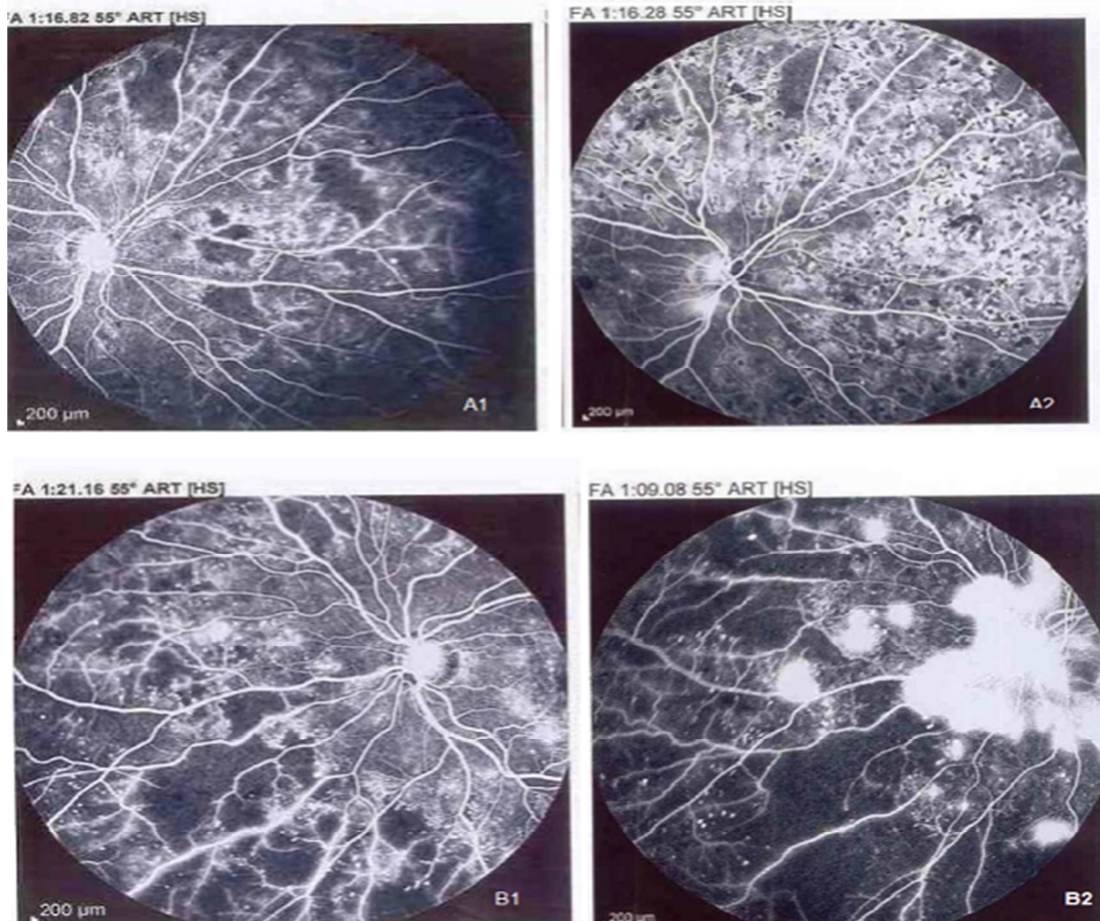
هیچ عارضه‌ی فوری بعد از انجام لیزر در هر دو روش ایجاد نشد. همچنین، تغییر معنی‌داری در فشار چشم در طی مطالعه دیده نشد. چنانچه گفته شد، طی ۲ ماه اول مطالعه، یک چشم مبتلا به جداشدگی کششی رتین و ۲ چشم دچار خونریزی ویتره در این مطالعه وجود داشت، که از مطالعه خارج شدند. همچنین، یک چشم دچار روشنوزیس عنبیه، ۱۴ چشم با خونریزی ویتره و ۸ چشم با جداشدگی کششی رتین بعد از ۲ ماه مشاهده شد. تقاضات معنی‌داری بین دو گروه درمانی از ظرور عوارض ایجاد شده وجود نداشت ($P > 0.05$). آزمون McNemar (جدول ۴). در طی مطالعه، عوارضی مانند خونریزی داخلی رتین، جداشدگی اگزوداتیو رتین یا جداشدگی رگماتوژن رتین ایجاد نشد.

بحث

در این مطالعه، یک چشم بیماران با روش تک نقطه‌ای و چشم دیگر با روش Pattern scan تحت درمان قرار گرفت. آن گاه، تأثیر این دو

لیزر به روش‌های تک نقطه‌ای و Pattern scan یافت نشد. بنا بر این، می‌توان مدعی شد که مطالعه‌ی حاضر، اولین مطالعه در این خصوص است. در دوره‌ی ۶ ماهه‌ی این مطالعه، تفاوت معنی‌داری در میزان پس‌رفت نئوواسکولا‌ریزاسیون بین دو روش دیده نشد.

Pattern scan در هر نقطه‌ی لیزر به رتین می‌رسد و در نتیجه، هیپوکسی رتین کاهش کمتری پیدا می‌کند (۷). در هیچ مطالعه‌ای مقایسه‌ی تغییرات ایسکمی رتین بعد از انجام



شکل ۱. در تصاویر بالا، مناطق ایسکمی رتین نشان داده شده است که قبل و ۶ ماه پس از درمان با روش Pattern scan بدون تغییر باقی مانده است (بر اساس میزان مناطق عدم خون‌رسانی مویرگی در دقیقه‌ی ۱ آنتیوگرافی فلورسین). در تصاویر پایین، پیشرفت نئوواسکولا‌ریزاسیون دیسک ۶ ماه بعد از درمان لیزر فتوکوکلولاسیون رتین به روش Pattern scan نشان داده شده است (آنثیوگرافی فلورسین در دقیقه‌ی ۲ پس از تزریق ماده فلورسین).

جدول ۴. فراوانی عوارض بین گروه درمان شده با روش‌های تک نقطه‌ای (Single spot-panretinal photocoagulation) و (McNemar بعد از دو ماه از شروع مطالعه (آزمون

مقدار	PS-PRP	SS-PRP	
> ۰/۹۹	۱	۱	خونریزی ویتره در ماه اول مطالعه
۰/۹۸	۰	۱	TRD در ماه اول مطالعه
۰/۹۸	۱	۰	نئوواسکولا‌ریزاسیون عنبیه
> ۰/۹۹	۷	۷	خونریزی ویتره
۰/۹۹	۵	۳	°TRD

SS-PRP: Single spot-panretinal photocoagulation; PS-PRP: Pattern scan-panretinal photocoagulation; TRD: Tractional retinal detachment

* خونریزی ویتره و جداسه‌گی کششی رتین (TRD یا Tractional retinal detachment) اتفاق افتاده قبل از دو ماه از مطالعه و نیز بیماران خارج شده از مطالعه

موردی در گروه Pattern scan وجود نداشت. نتایج مشابهی از احساس درد، در مطالعات دیگر نیز وجود دارد (۱۵، ۱۲، ۹، ۷).

بر طبق نتایج مطالعه‌ی Grunwald و همکاران، زمان کوتاه لیزر PRP در چشم‌هایی که با scan pattern درمان شده بودند، با درد کمتری همراه بود (۱۱). احساس درد تحت تأثیر سن، تفاوت فرهنگی و سطح اضطراب بیمار می‌باشد (۱۲). برای کاهش درد ناشی از لیزر PRP، می‌توان از طول مدت زمان کمتر لیزر، از ضد دردهای خوراکی، از ضد دردهای تزریقی ساب تنون و رتروبوبلیار و نیز استفاده از میکروپالس دیود لیزر استفاده کرد (۱۶، ۱۷).

بر اساس یافته‌های مطالعه‌ی حاضر، پیشنهاد می‌شود که مطالعات بیشتری برای ارزیابی تأثیر pattern scan از نظر پیشرفت ایسکمی رتین با مدت زمان طولانی تری انجام شود؛ چرا که احتمال نارسایی در کترل هیپوکسی رتین و عوارض ناشی از آن مانند

نشوواسکولاریزاسیون با روشن pattern scan وجود دارد. نتیجه‌گیری نهایی این که در بیشتر مطالعات، نتایج لیزر به روشن pattern scan با روشن تک نقطه‌ای از جهت درمان رتینوپاتی دیابتی پرولیفراتیو برابر می‌کند. بر طبق مطالعات حاضر، نتایج مشابهی در پیشرفت نشوواسکولاریزاسیون در هر دو روشن به دست آمد، اما لیزر به روشن تک نقطه‌ای در کترل پیشرفت ایسکمی رتین مؤثرتر از روشن pattern scan بود. همچنین، روشن pattern scan برای بیماران راحت‌تر بود و درد کمتری ایجاد کرد.

تشکر و قدردانی

از همه‌ی بیماران و پرسنل بیمارستان فیض که در انجام این مطالعه ما را یاری نمودند، تشکر و قدردانی می‌شود. این طرح تحقیقاتی با شماره‌ی ۳۹۳۸۹۸ بعنوان پایان‌نامه‌ی دستیاری در دانشگاه علوم پزشکی اصفهان به ثبت رسیده است.

در مطالعه‌ی Muraly و همکاران نشان داده شد که کترل نشوواسکولاریزاسیون در گروه درمان شده با pattern scan بهتر بود (۱۲). در مقابل، در بیشتر مطالعات مانند مطالعه‌ی Chappelow و همکاران (۱۵)، روشن pattern scan نسبت به روشن تک نقطه‌ای کترل کمتری در پسرفت نشوواسکولاریزاسیون داشت. شایع‌ترین عارضه در مطالعه‌ی حاضر، خونریزی ویتره بود که میزان آن در بین دو گروه تفاوت معنی‌داری نداشت. این موضوع مشخص نیست که علت خونریزی ویتره ناشی از طبیعت بیماری است یا عارضه‌ی لیزر است. عوارضی مانند جدآشگی اگزوداتیو رتین یا جدآشگی کروئید مشاهده نشد. وضعیت‌های سیستمیک مانند فشار خون بالا و نارسایی کلیه، می‌تواند باعث جدآشگی اگزوداتیو رتین و جدآشگی کروئید در طی لیزر شود (۱۲).

از آن جایی که در این مطالعه، بیماران مبتلا به بیماری سیستمیک از مطالعه خارج شدند، بنا بر این چنین عوارضی مشاهده نشد. به طور کلی، در مطالعات دیگری که انجام شده است، این جدآشگی رتین و کروئید در لیزر به روشن pattern scan کمتر از روشن تک نقطه‌ای بوده است که علت آن، می‌تواند انتقال حرارت کمتر به بافت‌های زیرین در طی زمان لیزر باشد (۱۳-۱۴).

در این مطالعه، تنها یک چشم مبتلا به نشوواسکولاریزاسیون عنیبه (Neovascularization of the iris NVI) یا (NVI) یا ۲ ماه در گروه pattern scan ایجاد شد؛ اما تفاوت معنی‌داری با گروه دیگر نداشت؛ چرا که این عارضه بیشتر مرتبط با کترل ضعیف ایسکمی رتین است. در مطالعه‌ی Chappelow و همکاران نیز ۴ چشم دچار NVI در گروه pattern scan بود، در حالی که در گروه تک نقطه‌ای، موردنی دیده نشد (۱۵).

روشن pattern scan برای بیماران راحت‌تر و تعداد جلسات آن کمتر است. در مطالعه‌ی حاضر، ۲ بیمار از درد غیر قابل تحمل در زمان انجام لیزر به روشن تک نقطه‌ای شاکی بودند؛ در حالی که چنین

References

1. Luttrull JK, Sinclair SH. Safety of transfoveal subthreshold diode micropulse laser for fovea-involving diabetic macular edema in eyes with good visual acuity. Retina 2014; 34(10): 2010-20.
2. Evans JR, Michelessi M, Virgili G. Laser photocoagulation for proliferative diabetic retinopathy. Cochrane Database Syst Rev 2014; 11: CD011234.
3. Early Treatment Diabetic Retinopathy Study Research Group. Early photocoagulation for diabetic retinopathy. ETDRS report number 9. Ophthalmology 1991; 98(5 Suppl): 766-85.
4. Kiire Ch, Sivaprasad S, Chong V. Subthreshold micropulse laser therapy for retinal disorders. Retina Today 2011; 67-70. [Online]. [cited 2011 Jan]; Available from: URL: <http://retinatoday.com/2011/01/subthreshold-micropulse-laser-therapy-for-retinal-disorders/>.
5. Stefansson E. The therapeutic effects of retinal laser treatment and vitrectomy. A theory based on oxygen and vascular physiology. Acta Ophthalmol Scand 2001; 79(5): 435-40.
6. Fong DS, Girach A, Boney A. Visual side effects of successful scatter laser photocoagulation surgery for proliferative diabetic retinopathy: a literature review. Retina 2007; 27(7): 816-24.
7. Nagpal M, Marlecha S, Nagpal K. Comparison of laser photocoagulation for diabetic retinopathy using

- 532-nm standard laser versus multispot pattern scan laser. *Retina* 2010; 30(3): 452-8.
8. Sanghvi C, McLauchlan R, Delgado C, Young L, Charles SJ, Marcellino G, et al. Initial experience with the Pascal photocoagulator: a pilot study of 75 procedures. *Br J Ophthalmol* 2008; 92(8): 1061-4.
 9. Velez-Montoya R, Guerrero-Naranjo JL, Gonzalez-Mijares CC, Fromow-Guerra J, Marcellino GR, Quiroz-Mercado H, et al. Pattern scan laser photocoagulation: safety and complications, experience after 1301 consecutive cases. *Br J Ophthalmol* 2010; 94(6): 720-4.
 10. Stefansson E. Ocular oxygenation and the treatment of diabetic retinopathy. *Surv Ophthalmol* 2006; 51(4): 364-80.
 11. Grunwald JE, Riva CE, Brucker AJ, Sinclair SH, Petrig BL. Effect of panretinal photocoagulation on retinal blood flow in proliferative diabetic retinopathy. *Ophthalmology* 1986; 93(5): 590-5.
 12. Muraly P, Limbad P, Srinivasan K, Ramasamy K. Single session of Pascal versus multiple sessions of conventional laser for panretinal photocoagulation in proliferative diabetic retinopathy: A comparative study. *Retina* 2011; 31(7): 1359-65.
 13. Doft BH, Blankenship GW. Single versus multiple treatment sessions of argon laser panretinal photocoagulation for proliferative diabetic retinopathy. *Ophthalmology* 1982; 89(7): 772-9.
 14. Yuki T, Kimura Y, Nanbu S, Kishi S, Shimizu K. Ciliary body and choroidal detachment after laser photocoagulation for diabetic retinopathy. A high-frequency ultrasound study. *Ophthalmology* 1997; 104(8): 1259-64.
 15. Chappelow AV, Tan K, Waheed NK, Kaiser PK. Panretinal photocoagulation for proliferative diabetic retinopathy: pattern scan laser versus argon laser. *Am J Ophthalmol* 2012; 153(1): 137-42.
 16. Al-Hussainy S, Dodson PM, Gibson JM. Pain response and follow-up of patients undergoing panretinal laser photocoagulation with reduced exposure times. *Eye (Lond)* 2008; 22(1): 96-9.
 17. Weinberger D, Ron Y, Lichter H, Rosenblat I, Axer-Siegel R, Yassur Y. Analgesic effect of topical sodium diclofenac 0.1% drops during retinal laser photocoagulation. *Br J Ophthalmol* 2000; 84(2): 135-7.

Comparison of the Effects of the Pattern Scan and Conventional Single Spot Panretinal Photocoagulation in Patients with Proliferative Diabetic Retinopathy; A Randomized Clinical Trial

Farzan Kianersi MD¹, Alireza Jamshidimadad MD², Alireza Dehghani MD¹, Khodayar Golabchi MD², Heshmatollah Ghanbari MD¹, Mohamadreza Akhlaghi MD¹

Original Article

Abstract

Background: The retinal laser photocoagulation is the gold standard treatment of the proliferative diabetic retinopathy. Nowadays, we can perform panretinal photocoagulation with single spot or pattern scan laser methods. This study aimed to compare the retinal ischemic changes and the retinal neovascularization regression between these two techniques.

Methods: In a prospective clinical trial study, 146 eyes of 73 patients with proliferative diabetic retinopathy was enrolled. One eye of patients was treated with single spot laser photocoagulation randomly and other eye was preserved for pattern scan laser photocoagulation. The changes of retinal ischemia on the basis of noncapillary perfusion and the regression of neovascularization on the basis of amount of leakage on fluorescein angiography were compared between the two groups after 6 months.

Findings: There was no significant difference in the retinal neovascularization regression of disc and elsewhere in eyes treated with pattern scan ($P = 0.26$) or single spot laser ($P = 0.31$). While the areas of the retinal ischemia progression was significantly higher (9 cases) in group treated with pattern scan in comparison to other group (2 cases) ($P = 0.02$).

Conclusion: The areas of retinal ischemia progression were higher after treatment with pattern scan laser compared to single spot laser. Future researches are recommended to find a better modality than the pattern scan to induce regression of the retinal ischemia similar to the single spot laser technique.

Keywords: Diabetic retinopathy, Pattern scan laser photocoagulation, Single spot laser photocoagulation, Panretinal photocoagulation

Citation: Kianersi F, Jamshidimadad A, Dehghani A, Golabchi Kh, Ghanbari H, Akhlaghi M. Comparison of the Effects of the Pattern Scan and Conventional Single Spot Panretinal Photocoagulation in Patients with Proliferative Diabetic Retinopathy; A Randomized Clinical Trial. J Isfahan Med Sch 2016; 33(365): 2288-95

1- Associate Professor, Department of Ophthalmology, Feyz Hospital, Isfahan University of Medical Sciences, Isfahan, Iran
2- Resident, Department of Ophthalmology, Feyz Hospital, Isfahan University of Medical Sciences, Isfahan, Iran

Corresponding Author: Khodayar Golabchi MD, Email: kh_golabchi@edc.mui.ac.ir

بررسی میزان ابتلا به اختلالات خواب در بیماران مبتلا به ریزش موی سکه‌ای

دکتر غلامحسین غفارپور^۱، دکتر عباس زمانیان^۲، دکتر سپیده اسدبیگی^۳، دکتر شیوا قدس^۴

مقاله پژوهشی

چکیده

مقدمه: ریزش موی سکه‌ای یا منطقه‌ای (Alopecia areata) یا آنژهانی مو در ناحیه‌ی سر، ریش، ابرو، مژه و یا هر جای دیگری از بدن شود. اتیولوژی ریزش موی سکه‌ای شناخته شده نیست؛ اما به نظر می‌رسد که یک بیماری خود ایمنی که تحت تأثیر عوامل ژنتیک و استرس روانی بروز می‌کند، عامل شروع این بیماری باشد. محرومیت از خواب و کیفیت پایین آن، به عنوان عاملی که با تابعیت بسیار متنوع از اختلالات فیزیکی و روانی همراه است، شناخته می‌شود. یکی از عوایق این اختلال، ارتات منفی بر روی سیستم ایمنی و همچنین اثرات استرس زای آن بر روی بدن است.

روش‌ها: در این مطالعه مورد-شاهدی، جمعیت مورد مطالعه ۹۲ نفر شامل ۲ گروه ۴۶ نفره از بیماران مبتلا به ریزش موی سکه‌ای و افراد سالم بود. علاوه بر پرسشنامه‌ی اطلاعات دموگرافیک و تاریخچه‌ی بیماری مبتلایان، پرسشنامه‌ی کیفیت خواب (Pittsburgh sleep quality index) که کیفیت خواب را در ۷ قلمرو مختلف می‌سنجد، توسط هر دو گروه تکمیل و امتیازبندی شد. در انتهای، داده‌ها جمع‌آوری شد و با استفاده از نرم‌افزار SPSS نسخه‌ی ۱۶ مورد آنالیز قرار گرفت. $P < 0.05$ به عنوان سطح معنی‌داری تلقی شد.

یافته‌ها: میزان ابتلا به اختلال خواب به طور معنی‌داری در گروه مبتلا به ریزش موی سکه‌ای (۴۵/۷ درصد) در مقایسه با افراد سالم (۲۱/۷ درصد) بالاتر بود. اختلافی در نمره‌ی آزمون و در نتیجه شدت اختلال خواب در بین بیماران مبتلا به ریزش موی سکه‌ای ($Score = 5/37$) و افراد سالم ($Score = 4/40$) وجود نداشت ($P > 0.05$). میزان ساعت خواب افراد مبتلا به ریزش موی سکه‌ای (با میانگین ۶/۷۳ ساعت) نسبت به افراد سالم (با میانگین ۷/۷۶ ساعت) به طور قابل توجهی از لحظه‌ی آماری کمتر بود ($P < 0.05$).

نتیجه‌گیری: در مجموع، در این مطالعه ارتباط معنی‌داری بین میزان ابتلا به اختلال در کیفیت خواب و ابتلا به ریزش موی سکه‌ای وجود داشت که نشان دهنده‌ی بالاتر بودن میزان اختلال خواب در بیماران مبتلا به ریزش موی سکه‌ای در مقایسه با گروه شاهد بود، اما اختلافی در شدت اختلال خواب در بین بیماران مبتلا به ریزش موی سکه‌ای و افراد سالم وجود نداشت. با توجه به نتایج این مطالعه، به نظر می‌رسد که اختلال خواب، می‌تواند علت یا معلول ریزش موی سکه‌ای باشد.

واژگان کلیدی: ریزش موی سکه‌ای، پرسشنامه‌ی کیفیت خواب Pittsburgh، اختلال خواب

ارجاع: غفارپور غلامحسین، زمانیان عباس، راثی عباس، اسدبیگی سپیده، قدس شیوا. بررسی میزان ابتلا به اختلالات خواب در بیماران مبتلا به ریزش موی سکه‌ای. مجله دانشکده پزشکی اصفهان ۱۳۹۴؛ ۳۳(۳۶۵): ۲۲۹۶-۲۳۰۱.

مقدمه

ریزش موی سکه‌ای یا منطقه‌ای (Alopecia areata) یا آنژهانی مو در ناحیه‌ی درگیر کننده‌ی مو است که با ریزش سریع مو به صورت یک یا چند ناحیه‌ی Patch مانند اطلاق می‌شود. عوامل متفاوتی از جمله علل ایمونولوژیک، اختلالات اندوکرین، عوامل ژنتیک و

اختلالات روان‌پزشکی / روان‌شناختی را به عنوان اتیولوژی این بیماری پیشنهاد کرده‌اند؛ گرچه هیچ کدام از این عوامل تا به حال به صورت قطعی به اثبات نرسیده است (۱). استرس روانی، به عنوان یکی از عوامل شروع و پیشرفت این بیماری گزارش شده است؛ تا جایی که در برخی از مطالعات، تا حدود ۹۳ درصد بیماران مبتلا به AA را

- ۱- دانشیار، مرکز تحقیقات پوست و سلول‌های بنیادی، دانشگاه علوم پزشکی تهران و گروه پوست و مو، دانشکده‌ی پزشکی، دانشگاه علوم پزشکی ایران، تهران، ایران
- ۲- دانشیار، گروه پوست و مو، دانشکده‌ی پزشکی، دانشگاه علوم پزشکی ایران، تهران، ایران
- ۳- پزشک عمومی، مرکز تحقیقات بیماری‌های پوستی و سالک، دانشگاه علوم پزشکی اصفهان، اصفهان و گروه پوست و مو، دانشکده‌ی پزشکی، دانشگاه علوم پزشکی ایران، تهران، ایران
- ۴- دستیار، مرکز تحقیقات بیماری‌های پوستی و سالک، دانشگاه علوم پزشکی اصفهان، اصفهان و گروه پوست و مو، بیمارستان حضرت رسول اکرم (ص)، دانشگاه علوم پزشکی ایران، تهران، ایران

Email: may1986glory@gmail.com

نویسنده‌ی مسؤول: دکتر سپیده اسدبیگی

ثبت شد و پرسشنامه‌ی شاخص کیفیت خواب پیتسبرگ (PSQI) یا Pittsburgh sleep quality index این پرسشنامه، توسط Buysse و همکاران برای اندازه‌گیری کیفیت خواب و کمک به تشخیص افرادی که خواب خوب یا بد دارند، ساخته شده است (۷). این مقیاس خود گزارشی، قلمروهای متعددی دارد که شامل کیفیت خواب ذهنی، تأخیر خواب، مدت خواب، کیفیت عادت خواب، اختلال خواب، استفاده از داروی خواب و اختلال عمل در طی روز می‌باشد. همچنین، سؤالات آن به دو صورت جواب باز و چند جوابی تشکیل می‌شود. بیشتر موارد بر اساس سؤالات چند جوابی تنظیم شده، کوتاه و به آسانی قابل فهم هستند. دامنه‌ی نمرات ۰-۲۱ است و نمره‌ی بالاتر از ۵ به عنوان یک اختلال خواب قابل ملاحظه تلقی می‌شود. نمره‌دهی با محاسبه‌ی نمره در هر قلمرو و جمع نمرات کل قلمروها می‌باشد. در سؤالات چند جوابی، پاسخ‌ها بین ۰-۳ درجه‌بندی می‌شوند. نمره‌ی کل بالاتر از ۵ به عنوان یک اختلال خواب قابل ملاحظه تلقی می‌شود و هر نمره‌ی بالاتر، مؤید اختلال شدیدتر می‌باشد. پایابی این مقیاس به نسبت بالا و ضریب Cronbach's alpha آن ۰/۸۳ گزارش شده است. حساسیت ۸۹/۶ درصد و ویژگی ۵/۸۶ درصد، شاخص‌های اعتبار این مقیاس را تشکیل می‌دهند. در این مطالعه، از نسخه‌ی معتر و استاندارد فارسی شده‌ی این ابزار، جهت جمع‌آوری اطلاعات استفاده شد.

حداقل حجم نمونه با استفاده از فرمول حجم نمونه و یافته‌های مطالعات قبلی تعیین شد. در این مطالعه ۹۲ نفر، شامل ۴۶ نفر در گروه مورد (مبتلا به AA) و ۴۶ نفر در گروه شاهد (سالم) وارد مطالعه شدند. معیار ورود افراد به مطالعه، دارا بودن سن بالای ۱۸ سال و نداشتن مشکلات شناختی بوده است. در نهایت، داده‌ها با استفاده از نرم‌افزار SPSS نسخه ۱۶ (SPSS Inc., Chicago, IL) تجزیه و تحلیل شد. برای داده‌ها، شاخص‌های آماری مرکزی از جمله میانگین و شاخص‌های پراکنده‌ی از جمله انحراف معیار تعیین گردید. درصد فراوانی نیز برای داده‌ها تعیین شد. از آزمون‌های آن Fisher's exact و Mann-Whitney و Independent sample t جهت بررسی بین متغیرها استفاده شد.

یافته‌ها

در این مطالعه ۹۲ نفر، شامل ۴۶ نفر در گروه مورد و ۴۶ نفر در گروه شاهد وارد مطالعه شدند. میانگین سنی افراد در این مطالعه، ۳۲/۷۱ سال بود. از ۹۲ نفر شرکت کننده، ۳۸ نفر مرد (درصد ۴۱/۳) و ۵۴ نفر زن (۵۸/۷) بودند. از میان افراد مبتلا، ۲۱ بیمار (درصد ۴۵/۷) در این مطالعه ریزش مو در سطح اسکالپ، ۵ بیمار (درصد ۱۰/۹) ریزش موی ابرو، ۷ بیمار (درصد ۱۵/۲) ریزش موی

مببتلا به یک بیماری روانی جدی می‌دانند (۲). محرومیت خواب (Sleep deprivation)، به عنوان عاملی که با نتایج بسیار متنوعی از اختلالات فیزیکی و روانی همراه است، شناخته می‌شود (۳). اختلالات خواب و استرس نیز دو شرایطی هستند که به طور قوی با هم در ارتباط هستند و به نظر می‌رسد که پاتوفیزیولوژی این دو بیماری روانی تداخلاتی با یکدیگر داشته باشد. استرس می‌تواند باعث به وجود آمدن اختلالات خواب شود و همچنین، اختلالات خواب به تشدید بیماری‌های اضطرابی منجر می‌شوند. هم‌زمانی این دو بیماری، تأثیرات منعی متعددی بر روی پیش آگهی این دو بیماری دارد (۴). همراهی اختلالات و بیماری‌های خواب و بیماری‌های خود اینم به صورت هم‌زمان نیز پیشنهاد شده است؛ به طوری که اختلالات خواب، سبب افزایش احتمال ابتلا به بیماری‌های خود اینم می‌شود (۵). محرومیت از خواب، به عنوان یک عامل استرس زا می‌تواند بدن را تحت تأثیر قرار دهد (۶). با توجه به این که اتیولوژی این بیماری شناخته شده نیست و همچنین روش‌های درمانی متفاوتی برای این بیماری به کار می‌رود که مطالعات قوی کمی این روش‌ها را ارزیابی کرده‌اند و با در نظر گرفتن اثر منفی روانی و اجتماعی بالای این بیماری که اغلب از سنین جوانی شروع می‌شود، همراهی اختلالات خواب و بیماری ریزش موی سکه‌ای و درمان این اختلال، می‌تواند کیفیت زندگی بیماران مبتلا را ارتقا دهد و به پیش‌گیری، کوتاه شدن سیر بیماری، کاهش دفعات و یا شدت عود آن کمک کند. از این رو، مطالعه‌ی حاضر با هدف بررسی ارتباط میان اختلالات خواب و بیماری ریزش موی سکه‌ای انجام شد.

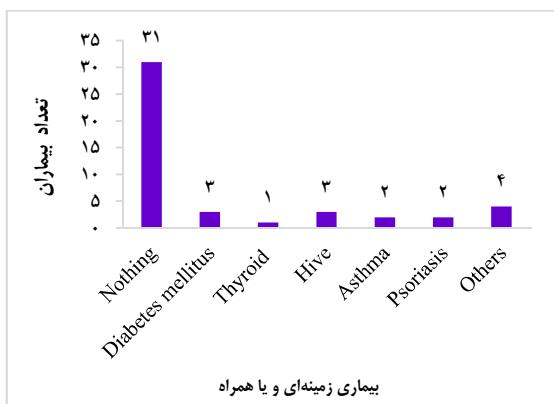
روش‌ها

مطالعه‌ی حاضر، یک مطالعه‌ی مورد-شاهدی بود. گروه مورد مطالعه، کلیه‌ی بیماران مراجعه کننده به کلینیک پوست و مو بودند که تشخیص بیماری Alopecia areata برای آن‌ها قطعی بود. گروه شاهد شامل کارکنان و دانشجویان شاغل در بیمارستان و همراهان بیماران مراجعه کننده به درمانگاه‌های مختلف بود که از لحاظ سن و جنس با گروه مورد مطابقت داشتند و هیچ گونه سابقه‌ی ابتلا به بیماری Alopecia areata نداشتند. کارورزان، دستیاران، پرستاران و سایر افراد با شافت‌های کاری مکرر شبانه در این مطالعه وارد نشدند. ضمن جمع‌آوری اطلاعات دموگرافیک مانند سن و جنس با استفاده از پرسشنامه‌های حاوی لیست متغیرها، سن در اولین تاریخ ابتلا، تعداد دفعات عود، بیماری‌های زمینه‌ای شناخته شده، سابقه‌ی سایر بیماری‌های پوست، نوع بالینی ریزش موی سکه‌ای، نوع درمان، سابقه‌ی فامیلی مثبت و وضعیت فعال و یا غیر فعال بودن ریزش مو در زمان مراجعه کننده به درمانگاه بر اساس اطلاعات بیمار و پرونده‌ی بالینی درمانگاه

نتیجه، به نظر می‌رسد که در مبتلایان به AA، میزان بیشتری از اختلالات خواب وجود دارد؛ اما افراد مبتلا به AA و افراد غیر مبتلا که اختلال خواب دارند، تفاوتی از نظر شدت این اختلال با هم ندارند. میانگین ساعت خواب شبانه‌ی مبتلایان، ۶/۷۳ ساعت و میانگین ساعت خواب شبانه‌ی غیر مبتلایان، ۷/۷۶ ساعت بود ($P < 0.05$) که نشان دهنده‌ی تفاوت معنی‌دار آماری و میزان خواب شبانه‌ی کمتر در مبتلایان، در مقایسه با غیر مبتلایان بود.

در بررسی سایر پارامترها در این مطالعه، ۴۲/۱ درصد از مردان مبتلا به AA، اختلال خواب داشتند و ۵۷/۹ درصد آنان اختلال خواب نداشتند. ۴۸/۱ درصد از زنان مبتلا به AA، اختلال خواب داشتند و ۵۱/۹ درصد آنان اختلال خواب نداشتند ($P > 0.05$)؛ در نتیجه، اختلافی بین زنان و مردان مبتلا به AA از نظر میزان ابتلا به اختلال خواب وجود ندارد.^۳ ۲۶/۳ درصد از مردان غیر مبتلا به AA و ۱۸/۵ درصد از زنان غیر مبتلا به AA اختلال خواب داشتند ($P > 0.05$). در نتیجه، اختلافی بین زنان و مردان گروه شاهد نیز از نظر میزان ابتلا به اختلال خواب وجود نداشت

از بین افراد مبتلا، در این مطالعه ۳۱ نفر (۶۷/۴ درصد) هیچ نوع بیماری زمینه‌ای و همراه نداشتند و ۳ نفر (۶/۵ درصد) دیابت، ۳ نفر (۶/۵ درصد) سابقه‌ی راش‌های متعدد، ۲ نفر (۴/۳ درصد) آسم آرژیک، ۱ نفر (۲/۲ درصد) کم کاری تیرویید، ۲ نفر (۴/۳ درصد) پسوریاژیس، ۴ نفر (۸/۷ درصد) بیماری‌های دیگر، ۱ نفر (Frozen shoulder)، ۱ نفر آپنه‌ی خواب، ۱ نفر Seizure و ۱ نفر اسکیزوفرنی را ذکر کردند (شکل ۲).



شکل ۲. تفکیک بیماری زمینه‌ای و یا همراه در مبتلایان به ریزش موی سکه‌ای

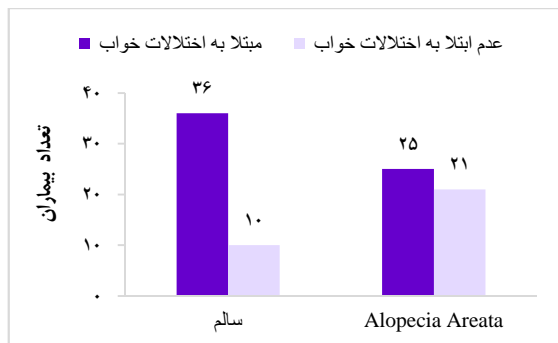
بین بیماران مبتلا به AA از نظر میزان ابتلا به اختلال خواب و فعال بودن بیماری، اختلاف آماری معنی‌داری وجود داشت که می‌تواند نشان دهنده‌ی اختلال خواب به عنوان Trigger شروع فعالیت مجدد بیماری باشد (جدول ۲).

ریش، ۱ بیمار (۲/۲ درصد) ریزش مو به صورت Ophiasis داشتند. ۲ بیمار (۴/۳ درصد) مبتلا به نوع Totalis و ۱۱ بیمار (۲۳/۹ درصد) سابقه‌ی ریزش مو در هر ابرو و سطح اسکالپ را به طور همزمان و یا جدا از هم داشتند (جدول ۱).

جدول ۱. مقایسه‌ی درصد ابتلا به اختلالات خواب به تفکیک محل در گیری بیماری

محل ریزش مو	درصد ابتلا به اختلال خواب
Scalp	۵۰
Eyebrow	۰
Barbae	۱۴
Totalis	۱۰۰
Ophiasis	۱۰۰
Scalp and eyebrow/beard	۶۳

در بین افراد مورد مطالعه، ۳۱ نفر (۳۳/۷ درصد) مبتلا به اختلال خواب بودند و ۶۱ نفر (۶۶/۳ درصد) اختلال خواب نداشتند. از بین افراد مبتلا به AA، ۲۱ نفر (۴۵/۷ درصد) و در بین غیر مبتلایان، ۱۰ نفر (۲۱/۷ درصد) مبتلا به اختلال خواب بودند. با از استفاده از آزمون Fisher's exact آزمون $P < 0.05$ ، فرضیه‌ی صفر و نشان دهنده‌ی وجود همراهی اختلال خواب و AA بود (شکل ۱).



شکل ۱. مقایسه‌ی درصد ابتلا به اختلالات خواب در مبتلایان به AA (آزمون Mann-Whitney) در مقایسه با گروه شاهد (افراد سالم)

میانگین نمره‌ی آزمون انجام شده بر روی بیماران مبتلا به AA ۵/۳۷ و میانگین نمره‌ی غیر مبتلایان ۴/۰۴ بود. به علت غیر طبیعی بودن توزیع داده‌ها، از آزمون Mann-Whitney استفاده شد. نشان دهنده‌ی معنی‌دار نبودن تفاوت میانگین نمره‌ی اختلال خواب در دو گروه با وجود معنی‌دار بودن میزان ابتلا بود. در

بر خلاف گروه شاهد، بین بیماران مبتلا به AA از نظر میزان ابتلا به اختلال خواب و افزایش سن، اختلاف آماری معنی داری وجود نداشت. این نتیجه، می‌تواند نشان دهنده ارتباط بین اختلال خواب به عنوان عاملی جهت شروع بیماری باشد. بیماری AA، بیماران را بیشتر در گروه سنی ۲۰-۳۰ سال درگیر می‌کند و بیشتر بودن میزان اختلال خواب در گروه سنی پایین‌تر که بر خلاف ارتباط معکوس در گروه شاهد بود، بیانگر ارتباط متقابل این دو اختلال می‌باشد.

بحث

Alopecia areata، یک بیماری خود ایمن در ارتباط با دو عامل اصلی ژنتیک و محیط می‌باشد. حواضد روحی و یا استرس‌زا را همیشه به عنوان عامل مرتبط با شروع و یا تشدید این بیماری نام برده‌اند (۸). محرومیت از خواب، به عنوان عاملی که همراهی با نتایج بسیار متنوعی از اختلال فیزیکی و روانی دارد، شناخته شده است (۳). یکی از عواقب اختلال خواب، اثرات منفی بر روی سیستم ایمنی از TNF alpha اثر بر روی IL-6 (Interleukin-6)، IL-1 و TNF alpha (Tumor necrosis factor alpha) است (۹). به نظر می‌رسد که AA بر روی کیفیت زندگی بیماران نیز اثرات منفی دارد، اما با این حال، ارتباط بین اختلالات خواب و AA که شاید به دنبال اثرات منفی این بیماری بر روی کیفیت زندگی افراد مبتلا به وجود آمده باشد، هنوز ناشناخته است (۱۰).

در مطالعه‌ی Inui و همکاران (۱۰) که جهت بررسی کیفیت خواب در بیماران مبتلا به AA انجام شده بود، میزان خواب آلودگی شدید روانه (Excessive daytime sleepiness) با استفاده از مقیاس ESS (Epworth sleepiness scale) بررسی گردید و ارتباط معنی داری بین این دو اختلال یافت نشد. ESS، مقیاسی برای اندازه‌گیری خواب آلودگی روزانه است که شامل یک پرسشنامه‌ی بسیار کوتاه می‌باشد (۱۱). در مطالعه‌ی حاضر، از پرسشنامه‌ی پیتزبورگ استفاده گردید و اختلاف آماری معنی داری که مؤید ارتباط بین میزان ابتلای همزمان به اختلال خواب و ابتلا به AA بود، یافت شد. دو پرسشنامه‌ی پیتزبورگ و ESS جهت بررسی اختلال خواب رایج می‌باشند که هم‌پوشانی محدودی دارند و جنبه‌های مختلف خواب را با هم مقایسه می‌کنند. اختلاف نتایج این دو مطالعه، می‌تواند مربوط به اختلاف ابزار مطالعه باشد.

در مطالعه‌ی رمضان‌پور و همکاران (۱۲) که جهت بررسی کیفیت خواب در بیماران مبتلا به AA و افراد طبیعی جامعه انجام شده بود، از دو پرسشنامه جهت جمع‌آوری اطلاعات دموگرافیک و از پرسشنامه‌ی SF-36 (Short form-36) گفته شد. در این مطالعه، وضعیت خواب نیز به عنوان یکی

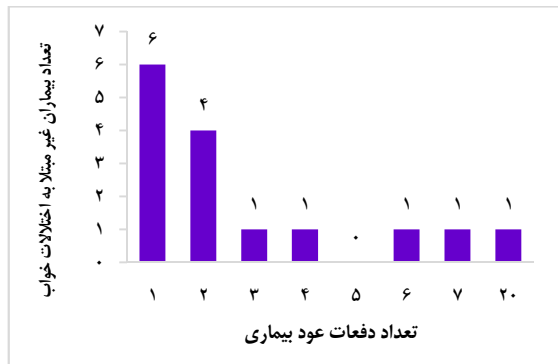
جدول ۲. میزان ابتلا به خواب به تفکیک فعال بودن بیماری

فعالیت ریزش مو	وجود اختلال خواب (درصد)	فقدان اختلال خواب (درصد)	
		فعال	غیرفعال
	۶۲/۱۵	۳۷/۸۵	
	۲۲/۲۵	۷۷/۷۵	

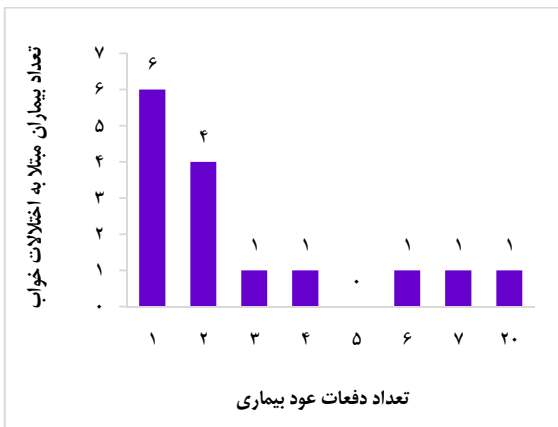
بین بیماران مبتلا به AA از نظر میزان ابتلا به اختلال خواب و سابقه‌ی خانوادگی مثبت بیماری، سابقه‌ی بیماری پوستی و تعداد دفعات عود، اختلاف آماری معنی داری وجود نداشت (جدول ۳ و شکل‌های ۳ و ۴).

جدول ۳. میزان ابتلا به خواب به تفکیک سابقه‌ی خانوادگی

سابقه‌ی خانوادگی	وجود اختلال خواب (درصد)	فقدان اختلال خواب (درصد)	
		ندارد	دارد
	۵۷/۶	۴۲/۴	
	۴۶/۱	۵۳/۹	



شکل ۳. تعداد بیماران غیر مبتلا به اختلالات خواب به تفکیک تعداد دفعات عود بیماری ریزش موی سکه‌ای



شکل ۴. تعداد بیماران مبتلا به اختلالات خواب به تفکیک تعداد دفعات عود بیماری ریزش موی سکه‌ای

بیماری AA باشد و یا با توجه به اثر منفی محرومیت از خواب بر روی سیستم ایمنی و هماهی AA با اختلالات خود ایمن، این اختلال در خواب به عنوان یکی از عوامل شروع AA تلقی می‌شود. با توجه به بار روانی بالای این بیماری و علت به نسبت ناشناخته‌ی آن، درمان هم‌زمان اختلال خواب و بررسی بیماران از لحاظ این اختلال نیز توصیه می‌شود. بیماران مبتلا به AA در معرض اختلالات روانی بیشتری از جمله اضطراب، افسردگی و اختلال خواب می‌باشند و با توجه به اختلال خواب همراه، به نظر می‌رسد که درمان دارویی با داروهای کترول کننده اضطراب و ضد افسردگی نظیر بنزوپیدیازین‌ها و SSRIs (Selective serotonin re-uptake inhibitors) می‌تواند به سیر درمان بیماری کمک کند.

با توجه به مورد-شاهدی بودن نوع مطالعه، ارزیابی رابطه‌ی علت و معلولی بیماری AA و اختلال خواب، مشکل است. توصیه می‌شود مطالعات بیشتری جهت بررسی تقدم و تأخیر این دو اختلال انجام شود. با توجه به مطالعات بسیار محدود در این زمینه، پیشنهاد می‌شود مطالعاتی جهت بررسی بازده درمان اختلال خواب و تأثیر آن بر بیماری AA انجام شود.

تشکر و قدردانی

بدین‌وسیله از مرکز تحقیقات پوست و مو و تمامی اساتید محترم گروه پوست و مو بیمارستان حضرت رسول اکرم (ص) قادردانی به عمل می‌آید.

از عوامل دخیل در کیفیت زندگی بیماران AA ارزیابی و مشاهده شد که وضعیت خواب بیماران مبتلا به AA ضعیفتر از گروه شاهد بوده است ($P = 0.006$). در مطالعه‌ی حاضر نیز ارتباط مشابهی دیده شد. نتیجه‌گیری نهایی این که در مجموع، در این مطالعه ارتباط معنی‌داری بین میزان ابتلا به اختلال خواب و ابتلا به AA وجود داشت که نشان دهنده‌ی بالاتر بودن میزان اختلال خواب در بیماران مبتلا به AA در مقایسه با گروه شاهد بود، اما اختلافی در شدت اختلال خواب در بین بیماران مبتلا به AA و افراد سالم وجود نداشت. این امر، بیانگر آن است که گرچه بیماران مبتلا به AA به میزان بیشتری مبتلا به اختلالات خواب هستند، اما شدت این اختلال خواب در بین این بیماران نسبت به افراد طبیعی جامعه بیشتر نیست.

میزان ساعت خواب افراد مبتلا به AA نسبت به افراد طبیعی نیز به طور قابل توجهی کمتر بود. در افراد مبتلا به AA، اختلال خواب در سن پایین‌تر، بیشتر از سنین بالاتر بود که این بر خلاف جمعیت سالم جامعه می‌باشد و می‌تواند نشان دهنده‌ی این باشد که اختلال خواب، با AA ارتباط دارد؛ چرا که AA نیز در سنین پایین‌تر (۳۰-۲۰ سال) بیشتر دیده می‌شود.

با توجه به نتایج این مطالعه، به نظر می‌رسد که اختلال خواب، می‌تواند علت یا معلول AA باشد. با توجه به اثرات منفی این بیماری بر روی کیفیت زندگی بیماران مبتلا، اختلال خواب می‌تواند معلول

References

1. Gulec AT, Tanrıverdi N, Duru C, Saray Y, Akçalı C. The role of psychological factors in alopecia areata and the impact of the disease on the quality of life. *Int J Dermatol* 2004; 43(5): 352-6.
2. Perini GI, Veller FC, Cipriani R, Bettin A, Zecchino F, Peserico A. Life events and alopecia areata. *Psychother Psychosom* 1984; 41(1): 48-52.
3. Johnson, LC. Sleep deprivation and performance. In: Webb WB, editor. *Biological rhythms, sleep and performance*. New York, NY: John Wiley and Sons; 1982. p. 111.
4. Jennum P, Zachariae B. Stress and insomnia. *Ugeskr Laeger* 2012; 174(4): 197-200. [In Danish].
5. Dikeos D, Georgantopoulos G. Medical comorbidity of sleep disorders. *Curr Opin Psychiatry* 2011; 24(4): 346-54.
6. Hu J, Chen Z, Gorczynski CP, Gorczynski LY, Kai Y, Lee L, et al. Sleep-deprived mice show altered cytokine production manifest by perturbations in serum IL-1ra, TNF α , and IL-6 levels. *Brain Behav Immun* 2003; 17(6): 498-504.
7. Buysse DJ, Reynolds CF 3rd, Monk TH, Berman SR, Kupfer DJ. The Pittsburgh Sleep Quality Index: A new instrument for psychiatric practice and research. *Psychiatry Res* 1989; 28(2): 193-213,
8. Alfani S, Antinone V, Mozzetta A, di Pietro C, Mazzanti C, Stella P, et al. Psychological status of patients with alopecia areata. *Acta Derm Venereol* 2012; 92(3): 304-6.
9. Rechtschaffen A, Bergmann BM, Everson CA, Kushida CA, Gilliland MA. Sleep deprivation in the rat: X. Integration and discussion of the findings. *Sleep* 1989; 12(1): 68-87.
10. Inui S, Hamasaki T, Itami S. Sleep quality in patients with alopecia areata: questionnaire-based study. *Int J Dermatol* 2014; 53(1): e39-e41.
11. King LE, Jr., Eastham AW, Curcio NM, Schmidt AN. A potential association between alopecia areata and narcolepsy. *Arch Dermatol* 2010; 146(6): 677-9.
12. Ramezanpour A, Golchai J, Ghanbari A, Sadreddeshkavary S, Darjani A, Alizad N. A comparative study on health-related quality of life in healthy people and patients with alopecia areata. *World Appl Sci J* 2012; 18(5): 689-92.

The Prevalence of Sleep Disorders in Patients with Alopecia Areata

Gholamhossein Ghafarpour MD¹, Abbas Zamanian MD², Abbas Rasi MD²,
Sepideh Asadbeigi MD³, Shiva Ghods MD⁴

Original Article

Abstract

Background: Alopecia areata is a chronic inflammatory disorder that causes nonscarring hair loss. The cause is unknown, but an interaction between autoimmune and psychological factors may trigger the disease. Sleep deprivation is associated with a variety of adverse consequences including the effects on both psychological and physical health. Sleep deprivation can adversely affect immune function and exacerbate autoimmunity. Poor sleep quality is also associated with stress.

Methods: A case control study was conducted on 92 patients divided into two groups of 46, those diagnosed with alopecia areata and a healthy population. The demographic information of both groups was gathered with a questionnaire and the sleep quality was evaluated using Pittsburgh Sleep Quality Index (PSQI), a self-rated questionnaire that assesses sleep quality and disturbances over a 1-month time interval. SPSS₁₆ was used to analyze the data. P value of less than 0.05 was considered significant.

Findings: 45.7% of patients with alopecia areata and 21.7% of the control group had sleep disorders. The difference between these percentages was significant ($P < 0.05$). There was not any significant difference in the scores of PSQI between the two groups (mean score = 5.37 and 4.04 in alopecia areata and control groups, respectively). The mean night sleep hours in patients with alopecia areata (6.73 hours) was significantly lower than the normal population (7.76 hours).

Conclusion: The results of this study revealed that the poor sleep quality is more common among patients with alopecia areata compared to the normal population; but the difference of the severity of sleep disturbances between the two groups was not statistically significant.

Keywords: Alopecia areata, Pittsburgh Sleep Quality Index, Sleep disorder

Citation: Ghafarpour Gh, Zamanian A, Rasi A, Asadbeigi S, Ghods Sh. **The Prevalence of Sleep Disorders in Patients with Alopecia Areata.** J Isfahan Med Sch 2016; 33(365): 2296-2301

1- Associate Professor, Skin and Stem Cell Research Center, Tehran University of Medical Sciences AND Department of Dermatology, School of Medicine, Iran University of Medical Sciences, Tehran, Iran

2- Associate Professor, Department of Dermatology, School of Medicine, Iran University of Medical Sciences, Tehran, Iran

3- General Practitioner, Skin Disease and Leishmaniasis Research Center, Isfahan University of Medical Sciences, Isfahan AND Department of Dermatology, School of Medicine, Iran University of Medical Sciences, Tehran, Iran

4- Resident, Skin Disease and Leishmaniasis Research Center, Isfahan University of Medical Sciences, Isfahan AND Department of Dermatology, Rasoul Akram Hospital, Iran University of Medical Sciences, Tehran, Iran

Corresponding Author: Sepideh Asadbeigi MD, Email: may1986glory@gmail.com

بررسی تأثیر پارامترهای پرتو درمانی بر کیفیت زندگی بیماران مبتلا به سرطان سر و گردن پس از پرتو درمانی تطبیقی سه بعدی

سید رضا موسوی^۱، دکتر نصرالله جباری^{۲*}

مقاله پژوهشی

چکیده

مقدمه: هدف از انجام مطالعه‌ی حاضر، بررسی تأثیر پارامترهای پرتو درمانی بر کیفیت زندگی بیماران مبتلا به سرطان سر و گردن پس از پرتو درمانی تطبیقی سه بعدی (3 dimension-conformal radiotherapy) یا 3D-CRT) بود.

روشن‌ها: در این مطالعه، کیفیت زندگی ۴۵ بیمار مرتبط با غده‌ی تیروئید، غدد بزاوی و چشم، پس از پرتو درمانی تطبیقی سه بعدی، تحت تأثیر پارامترهای نظیر ناحیه‌ی درمان، ذر تجویزی، مرحله‌ی سرطان و نوع درمان به دست آمد. در این تحقیق، از پرسش‌نامه‌های (EORTC QLQ-C30) European Organization for Research and Treatment of Cancer quality of life questionnaire-Core 30 (QLQ-H&N35) برای بررسی کیفیت زندگی بیماران مبتلا به سرطان سر و گردن استفاده گردید. برای بررسی نتایج استفاده Kruskal-Wallis و Mann-Whitney پس از آزمون‌های Kruskal-Wallis.

یافته‌ها: بین موقعیت تومور و اختلال عملکرد تیروئید بیماران، ارتباط معنی‌داری وجود داشت ($P = 0.002$). ضمن این که، بین کیفیت زندگی بیماران با کل ذر دریافتی، مرحله‌ی سرطان و نوع درمان ارتباط معنی‌داری مشاهده نشد.

نتیجه‌گیری: پرتو درمانی تطبیقی سه بعدی، با حفظ اندام‌های در معرض خطر، سبب کاهش تابش دهی به اندام‌های طبیعی می‌شود و این امر، بیانگر اهمیت به کارگیری فنون و روش‌های مناسب جهت کاهش احتمال عوارض بافت‌های طبیعی و در نتیجه‌ی آن، بهبود کیفیت زندگی بیماران پس از اتمام دوره‌ی درمان می‌باشد.

وازگان کلیدی: سرطان سر و گردن، پرتو درمانی تطبیقی سه بعدی، کیفیت زندگی

ارجاع: موسوی سید رضا، جباری نصرالله. بررسی تأثیر پارامترهای پرتو درمانی بر کیفیت زندگی بیماران مبتلا به سرطان سر و گردن پس از پرتو درمانی تطبیقی سه بعدی. مجله دانشکده پزشکی اصفهان ۱۳۹۴؛ ۳۳(۳۶۵): ۲۳۰۲-۲۳۰۸.

(ICRU) International Commission on Radiation Units

تعیین می‌شود. به علت این که تعیین دقیق ناحیه‌ی درمان به آسانی می‌سر نیست و اختلافاتی در این زمینه وجود دارد، International Commission on Radiological Protection (ICRP) حجم‌های CTV و GTV را نیز تعریف کرده است (۳).

هدف صلی 3D-CRT، از بین بردن سلول‌های مبتلا به سرطان و کاهش ذر رسیده به سلول‌های بافت طبیعی می‌باشد (۴). بدین منظور، طراحی درمان استاندارد لازم است؛ به گونه‌ای که چندین بیم تابشی از جهات مختلف به هدف می‌تابد و سلول‌های سرطان، تمام ذر را دریافت می‌کنند. در حالی که سلول‌های بافت طبیعی، ذر کمتری را

مقدمه

پرتو درمانی تطبیقی سه بعدی 3D-CRT یا 3 dimension- conformal radiotherapy (3D-CRT)، یکی از راه‌های درمان سرطان سر و گردن است که به تطابق ذر با تومور و حفظ بافت‌های طبیعی منجر می‌گردد (۱). برای طراحی درمان جهت 3D-CRT (GTV) Gross treatment volume یا (PTV) Planning treatment volume و (OARs) Organs-at-risk (CTV) (2). PTV توسط پزشک انکولوژیست پرتویی بر اساس شیوه‌نامه‌های بین‌المللی کمیته‌ی اندازه‌گیری واحد‌های پرتویی

۱- کارشناس ارشد، گروه فیزیک و تصویربرداری پزشکی، دانشکده پزشکی ارومیه، ارومیه، ایران

۲- دانشیار، گروه فیزیک و تصویربرداری پزشکی، دانشکده پیراپزشکی، دانشگاه علوم پزشکی ارومیه، ارومیه، ایران

Email: rmousavimp@gmail.com

نویسنده‌ی مسؤول: سید رضا موسوی

در این تحقیق، از پرسش نامه های EORTC QLQ-C30 و EORTC QLQ-H & N 35 برای بررسی کیفیت زندگی بیماران سرطانی سر و گردن استفاده گردید (۱۰). سپس کیفیت زندگی بیماران در زمینه های براق و دهان با بررسی سؤالات درد گلو، خرابی دندان، درد دهان، خشکی براق، فهمیدن طعم غذا، کاهش اشتها، بلع مشکل، تهوع و استفراغ؛ کیفیت زندگی بیماران در زمینه تیروئید با بررسی سؤالات احساس خستگی، تنگی نفس، کم خوابی، سرفه، کاهش وزن و تغییر سطح هشیاری و کیفیت زندگی بیماران در زمینه سیستم بینایی با بررسی تغییر قدرت بینایی تعیین گردید. در این تحقیق، سؤالات مربوط به پرسش نامه هی هر بیمار براساس ناحیه درمان تعیین شد. از بیماران تقاضا شد که بر اساس اختلال عملکرد هایی که بلافاصله پس از اتمام درمان به آن مبتلا شدند، به سؤالات پرسش نامه پاسخ دهند.

در این تحقیق، میانگین مقادیر حاصل از سؤالات مرتبط با هر ناحیه (تیروئید، غدد براقی و چشم) به دست آمد و به درصد تبدیل شد. عدد به دست آمده (بین ۰-۱۰۰) گویای اختلال عملکرد ناحیه هی موردنظر بود؛ بر این مبنای، هر چه عدد حاصل به ۱۰۰ نزدیکتر بود، اختلال بیشتر در عملکرد آن اندام تلقی شد.

تجزیه و تحلیل داده ها، در نرم افزار SPSS نسخه ۲۰ (version 20, SPSS Inc., Chicago, IL) انجام شد. همچنین، از آمارهای توصیفی مانند نسبت ها برای توصیف داده ها، آزمون Mann-Whitney به منظور بررسی اختلافات کیفیت زندگی بیماران مبتلا به سرطان و مقایسه آنها در بیماران و آزمون های ANOVA و Kruskal-Wallis به منظور بررسی اختلافات بین زیر گروه های بیماران استفاده گردید. همچنین، جهت بررسی ارتباط بین نمرات کیفیت زندگی بیماران، ضریب همبستگی Spearman تعیین شد. در تمامی آزمون ها، $P < 0.05$ به عنوان سطح معنی داری در نظر گرفته شد.

یافته ها

در این مطالعه، اندام های طبیعی در معرض خطر 3D-CRT سر و گردن شامل تیروئید، غدد براقی (پاروتید راست، پاروتید چپ، ساب مندیبل راست و ساب مندیبل چپ) و چشم (لنژ راست و لنژ چپ) انتخاب شدند؛ هر چند بر اساس ناحیه تحت تابش، ممکن است بیش از یک اندام در معرض خطر قرار گیرد. بنا بر این، اندام های طبیعی در معرض خطر در شرایط درمانی گوناگون، مختلف می باشند. در جدول ۱ نسبت هر یک از اندام های در معرض خطر، نوع درمان، ناحیه تومور، مرحله سرطان و جنسیت بیماران آمده است. در این مطالعه، کل دز تابشی به بیماران از ۷۰۰۰-۳۰۰۰ سانتی گری تشکیل شده بود. از تعداد ۴۵ بیماری که بعد از اتمام

نسبت به سلول های بافت مبتلا به سرطان دریافت می کنند (۵). برای انجام 3D-CRT ۳ شیوه نامه های وجود دارد که مطابق آن در منطقه هی مبتلا به سرطان نباید تابش بیش از حد صورت گیرد و تابش از مقدار توصیه شده نیز نباید کمتر باشد. به عبارت دیگر، در نظر گرفتن حساسیت پرتویی در جلسات 3D-CRT ۳ دز بیش ممکن سلول های مبتلا به سرطان از بین بروند و در عین حال سلول های سالم در امان بمانند (۶). اگر طی انجام 3D-CRT دز بیش از مقدار توصیه شده به بافت های طبیعی مجاور برسد، می تواند سبب کاهش کیفیت زندگی بیمار شود. در حال حاضر، مشکلات ناشی از پرتو درمانی سرطان سر و گردن همانند مشکل بلع، خشکی دهان، اشکال در تکلم، نکروز استخوان، فیروز بافت نرم و آسیب های شنوایی و تکلم، به خوبی شناخته شده است (۷).

عوامل بسیاری همچون راهبردهای درمان و شرایط دموگرافیک بیماران بر نتایج حاصل از کیفیت زندگی بیماران تأثیرگذار است. امروزه، معتبرترین پرسش نامه های سازمان اروپایی تحقیقات کیفیت زندگی بیماران مبتلا به سرطان، پرسش نامه های European Organization for EORTC (EORTC QLQ-C30, Research and Treatment of Cancer QLQ-H & (EORTC quality of life questionnaire-core 30) (Quality of life questionnaire- head and neck 35) N 35 می باشد (۸).

درمان مؤثر و مفید سرطان، سبب افزایش بقا و در امان نگهداشتن شخص از بیماری می شود. راه کارهای درمانی مختلفی جهت رسیدن به درمان مؤثر سرطان سر و گردن وجود دارد. ارزیابی کیفیت زندگی بیماران مبتلا به سرطان، نقش مهمی در به دست آوردن اطلاعات بیشتر در مورد درمان مؤثر و بهینه ای این بیماران دارد (۹).

از این رو، هدف از انجام مطالعه هی حاضر، بررسی تأثیر پارامترهای پرتو درمانی بر کیفیت زندگی بیماران مبتلا به سرطان سر و گردن پس از پرتو درمانی تطبیقی سه بعدی بود.

روش ها

در این تحقیق، ۴۵ بیمار مبتلا به سرطان Squamous cell سر و گردن مراجعه کننده به مرکز پژوهشی - درمانی اید شهرستان ارومیه در سال های ۱۳۹۰-۹۳ که دوره دیگر درمان 3D-CRT را به پایان رسانده بودند و دسترسی به آنها ممکن بود، شرکت داشتند. اطلاعات دموگرافیک بیماران و کیفیت زندگی آنان جمع آوری گردید. سپس اختلال عملکرد هر ناحیه (غده تیروئید، غدد براقی و چشم) تحت تأثیر پارامترهای مانند ناحیه درمان، دز تجویزی، مرحله سرطان و نوع درمان به دست آمد.

بود و ارتباط معنی داری بین کیفیت زندگی بیماران و نواحی تحت تابش وجود داشت ($P < 0.050$). درد گلو در ناحیه تحت تابش سوپراگلوتیک، حنجره و نازوفارینکس نسبت به سایر نواحی ارتباط معنی داری داشت. تخریب دندانها در ناحیه تحت تابش نازوفارینکس و سوپراگلوتیک ارتباط معنی داری داشت. درد دهان در ناحیه تابش سوپراگلوتیک و مشکل بلع در موقعیت تحت تابش نازوفارینکس ارتباط معنی داری داشت.

همچنین، احتمال تغییر ترشح بزاق در موقعیت‌های تحت تابش نازوفارینکس و سوپراگلوتیک ارتباط معنی داری داشت. احتمال تغییر اشتها نیز در موقعیت تحت تابش نازوفارینکس و سوپراگلوتیک بیشتر مشاهده شد. همچنین، میزان تهوع و استفراغ در موقعیت‌های تحت تابش نازوفارینکس و سوپراگلوتیک افزایش نشان داد. اختلال در طعم غذا نیز در موقعیت‌های تحت تابش نازوفارینکس و سوپراگلوتیک بیشتر گردید. در موقعیت تحت تابش نازوفارینکس، احساس خستگی بیشتر مشاهده شد. تنگی نفس نیز در موقعیت تحت تابش گردن و نازوفارینکس افزایش یافت. کاهش وزن در موقعیت تحت تابش نازوفارینکس بیشتر از تومورهای سایر نواحی مشاهده گردید.

همچنین، کم خوابی در موقعیت تحت تابش نازوفارینکس کاهش معنی داری داشت. در مطالعهی حاضر، کاهش بینایی در نواحی تحت تابش گردن و سر بیشتر از سایر نواحی مشاهده شد. احتمال کاهش هشیاری نیز با موقعیت تحت تابش گردن و نازوفارینکس ارتباط معنی داری داشت. در نهایت، سرفه بیشتر تحت تأثیر نواحی تحت تابش گردن و نازوفارینکس قرار داشت.

میان موقعیت تومور و اختلال عملکرد تیروئید بیماران، رابطه‌ی معنی داری مشاهده نشد ($P = 0.002$) (جدول‌های ۳، ۲ و ۴). در این مطالعه، ضربیت همبستگی Spearman برای اختلال عملکرد چشم و غدد بزاقی $r_s = 0.131$ ، برای اختلال عملکرد چشم و تیروئید $r_s = -0.026$ و برای اختلال عملکرد غدد بزاقی و تیروئید $r_s = -0.019$ به دست آمد.

بحث

بر اساس نتایج به دست آمده از این مطالعه، اختلال عملکرد تیروئید بیماران پس از درمان با 3D-CRT تحت تأثیر موقعیت تومور قرار دارد. بر اساس مطالعه‌ی صورت گرفته، موقعیت تومور در روند تغییر میزان ترشح بزاق اثرگذار نمی‌باشد که با مطالعه‌ی Hey و همکاران تطبیق دارد (۱۱).

همچنین، در این مطالعه بین مقدار دز دریافتی و کاهش کیفیت زندگی بیماران (غدد بزاقی، تیروئید و چشم) ارتباط معنی داری مشاهده نگردید.

دوره‌ی درمان پرسش‌نامه را تکمیل کردند، ۲۸/۸ درصد دارای احساس درد گلو، ۲۶/۶ درصد دچار پوسیدگی دندان، ۲۴/۴ درصد مبتلا به درد دهان، ۲۴/۴ درصد دچار سختی در بلع آب و غذا، ۳۱/۱ درصد مبتلا به تغییر ترشحات بزاق، ۳۳/۳ درصد دچار اشکال در تشخیص طعم غذا و ۴۸/۸ درصد آنان دچار تهوع و استفراغ بودند. این موارد، مربوط به اختلال عملکرد بزاق بود. از میان بیمارانی که ناحیه تیروئید آنان در معرض خطر قرار داشت، ۳۵/۵ درصد با احساس خستگی، ۲۲/۲ درصد مبتلا به تنگی نفس، ۳۷/۷ درصد دچار کاهش وزن، ۳۷/۷ درصد دچار کم خوابی، ۴۴/۴ درصد معتبرض از سرفه و ۳۵/۶ درصد مبتلا به کاهش سطح هشیاری بودند. همچنین، ۱۷/۷ درصد بیمارانی که ناحیه بینایی آنان در معرض خطر قرار داشت، از کاهش قدرت بینایی شکایت داشتند.

جدول ۱. متغیرهای دموگرافیک و درمانی بیماران (n = ۴۵)

متغیرها	تعداد (درصد)
جنسيت	زن (۳۳/۳)
	مرد (۶۶/۶)
	گردن (۴۶/۶)
	حنجره (۱۵/۵)
	سر (۱۵/۵)
	نازوفارینکس (۱۱/۱)
موقعیت تومور	سوپراگلوتیک (۱۱/۱)
	۱ (۲۴/۴)
	۲ (۴۰/۰)
	۳ (۲۶/۶)
	۴ (۱۵/۵)
	۱۱ (۴۶/۶)
مرحله‌ی تومور	۲ (۴۰/۰)
	۳ (۲۶/۶)
	۴ (۱۵/۵)
	۵ (۱۱/۱)
	۶ (۴۰/۰)
	۷ (۲۶/۶)
نوع درمان	۳D-CRT (۱۹/۲)
	۳D-CRT و شیمی‌درمانی (۵/۱)
	۳D-CRT و جراحی (۲۶/۷)
	پاروتید چپ (۱۱/۴)
	پاروتید راست (۱۲/۶)
	ساب مندیبل چپ (۶/۳)
OARs	ساب مندیبل راست (۷/۵)
	لتر چپ (۱۱/۴)
	لتر راست (۱۱/۴)
	۳D-CRT: 3 dimension- conformal radiotherapy; OARs: Organs-at-risk

در مطالعه‌ی حاضر، کیفیت زندگی بیمارانی که دوره‌ی درمان

به پایان رسانده بودند، وابسته به موقعیت تومور تحت تابش، متفاوت

جدول ۲. میانگین و انحراف معیار پارامترهای پرتودرمائی بر حسب اختلال عملکرد تیروئید بیماران

پارامترهای پرتودرمائی	متغیر	تعداد (درصد)	میانگین ± انحراف معیار	مقدار P برای QOL تیروئید	موقعیت تومور
موقعیت تومور	گردن	۲۱ (۴۶/۶)	۵۶/۳۶ ± ۳۶/۰۹	.۰۰۰۲	
	حنجره	۷ (۱۵/۵)	۴۰/۸۱ ± ۴۰/۷۶		
	سر	۷ (۱۵/۵)	۸/۱۶ ± ۲۱/۵۹		
	سوپر اگلوتیک	۵ (۱۱/۱)	۱۷/۱۴ ± ۳۸/۳۲		
مرحله‌ی تومور	۱	۱۱ (۲۴/۴)	۳۸/۷۸ ± ۴۲/۵۲	.۰/۱۷۶	
	۲	۱۸ (۴۰/۰)	۲۱/۴۲ ± ۳۰/۶۹		
	۳	۱۲ (۲۶/۶)	۵۳/۵۶ ± ۴۱/۸۱		
	۴	۴ (۱۵/۵)	۳۹/۲۷ ± ۴۵/۷۲		
کل دز دریافتی	کمتر از ۴۵۰۰ سانتی گری	۱۳ (۲۸/۸)	۲۰/۷۳ ± ۳۷/۱۹	.۰/۰۹۸	
	۴۵۰۰-۷۰۰۰ سانتی گری	۳۲ (۷۱/۱)	۴۱/۹۵ ± ۳۸/۷۲		
نوع درمان	پرتودرمائی	۲۱ (۴۶/۶)	۴۹/۶۵ ± ۴۲/۵۲	.۰/۱۲۷	
	پرتودرمائی و شیمی درمانی	۱۹ (۴۲/۲)	۲۱/۷۰ ± ۲۹/۵۱		
	پرتودرمائی و جراحی	۵ (۱۱/۱)	۳۱/۴۲ ± ۴۳/۳۱		

QOL: Quality of life

جدول ۲. میانگین و انحراف معیار پارامترهای پرتودرمائی بر حسب اختلال عملکرد غدد بزاقی بیماران

پارامترهای پرتودرمائی	متغیر	تعداد (درصد)	میانگین ± انحراف معیار	مقدار P برای QOL غدد بزاقی	موقعیت تومور
موقعیت تومور	گردن	۲۱ (۴۶/۶)	۲۱/۴۲ ± ۳۴/۹۴	.۰/۰۸۰	
	حنجره	۷ (۱۵/۵)	۲۸/۵۷ ± ۳۷/۳۰		
	سر	۷ (۱۵/۵)	۲۶/۷۸ ± ۴۵/۸۸		
	نازوفارینکس	۵ (۱۱/۱)	۶۷/۵۰ ± ۳۰/۱۰		
مرحله‌ی تومور	سوپر اگلوتیک	۵ (۱۱/۱)	۶۲/۵۰ ± ۴۲/۳۸	.۰/۰۸۴۷	
	۱	۱۱ (۲۴/۴)	۲۳/۸۶ ± ۳۸/۹۱		
	۲	۱۸ (۴۰/۰)	۳۶/۱۱ ± ۴۰/۴۲		
	۳	۱۲ (۲۶/۶)	۳۲/۲۹ ± ۳۸/۲۳		
کل دز دریافتی	۴	۴ (۱۵/۵)	۴۶/۸۷ ± ۵۴/۳۶	.۰/۰۳۷۴	
	کمتر از ۴۵۰۰ سانتی گری	۱۳ (۲۸/۸)	۲۵/۹۶ ± ۳۳/۶۴		
	۴۵۰۰-۷۰۰۰ سانتی گری	۳۲ (۷۱/۱)	۳۵/۹۳ ± ۴۲/۲۱		
	نوع درمان	۲۱ (۴۶/۶)	۳۵/۷۱ ± ۴۵/۸۰	.۰/۰۷۸۲	
پرتودرمائی و شیمی درمانی	پرتودرمائی	۱۹ (۴۲/۲)	۳۰/۹۲ ± ۳۴/۷۰		
	پرتودرمائی و جراحی	۵ (۱۱/۱)	۳۰/۰۰ ± ۳۸/۱۱		

QOL: Quality of life

در مطالعه‌ی دیگری از سه دسته بیمار به منظور پی‌گیری روند بهبود غده‌ی پاروتید به مدت ۳۶ ماه بعد از پرتودرمائی ناحیه‌ی سر و گردن استفاده شد. متوسط دز بیماران گروه اول (۳۶ نفر) کمتر از ۲۶ گری، متوسط دز گروه دوم (۴۵ نفر) ۴۰-۴۰ گری و متوسط دز گروه سوم (۳۶ نفر)، بیش از ۴۰ گری بود. در این مطالعه، بین بیماران گروه یک و سه تفاوت‌های قابل توجهی در تمام زمان‌های بررسی وجود داشت ($P < ۰/۰۵$). بعد از ۱۲ و ۳۶ ماه از زمان پرتودرمائی، در گروه یک و دو بهبود عملکرد غده‌ی پاروتید قابل

بر اساس مطالعه‌ای که بر روی ۲۰۵ نفر از بیماران مبتلا به سرطان سر و گردن انجام شده بود، کیفیت زندگی بیماران بر اساس پرسشنامه‌های QLQ-H&N و 35 QLQ-C30 مورد بررسی قرار گرفت. نتایج مطالعه‌ی پیش‌گفته، تشنان دهنده‌ی تأثیر سن، جنسیت، استعمال دخانیات، موقعیت تومور و مرحله‌ی بیماری بر کیفیت زندگی بیماران در طول پرتودرمائی بود (۹). نتیجه‌ی این مطالعه نیز بیانگر اهمیت موقعیت تومور بر کیفیت زندگی بیماران بود.

جدول ۴. میانگین و انحراف معیار پارامترهای پرتودرمانی بر حسب اختلال عملکرد بینایی بیماران

پارامترهای پرتودرمانی	متغیر	تعداد (درصد)	میانگین ± انحراف معیار	مقدار P برای QOL چشم
موقعیت تومور	گردن	۲۱ (۴۶/۶)	۱۹/۰۴ ± ۴۰/۲۳	۰/۲۳۸
	سر	۷ (۱۵/۵)	۴۲/۸۵ ± ۵۳/۴۵	
	نازوفارینکس	۵ (۱۱/۱)	۲۰/۰۰ ± ۴۴/۷۲	۰/۲۳۲
مرحله‌ی تومور	۱	۱۱ (۲۴/۴)	۹/۰۹ ± ۳۰/۱۵	
	۲	۱۸ (۴۰/۰)	۲۲/۲۲ ± ۴۲/۷۷	۰/۲۳۲
	۳	۱۲ (۲۶/۶)	۸/۲۳ ± ۲۹۸/۸۶	
	۴	۴ (۱۵/۵)	۵۰/۰۰ ± ۵۷/۷۳	۰/۵۵۸
کل دز دریافتی	کمتر از ۴۵۰۰ سانتی گری	۱۳ (۲۸/۸)	۲۳/۰۷ ± ۴۳/۸۵	
	۴۵۰۰-۷۰۰۰ سانتی گری	۳۲ (۷۱/۱)	۱۵/۶۲ ± ۳۶/۸۹	۰/۱۲۵
نوع درمان	پرتودرمانی	۲۱ (۴۶/۶)	۲۳/۸۰ ± ۴۳/۶۴	
	پرتودرمانی و شیمی درمانی	۱۹ (۴۲/۲)	۲۶/۵۰ ± ۲۲/۹۴	
	پرتودرمانی و جراحی	۵ (۱۱/۱)	۴۰/۰۰ ± ۵۴/۷۷	

QOL: Quality of life

نمی‌تواند به اندازه‌ی کافی سبب حفظ بافت‌های طبیعی شود. در حالی که IMRT (Intensity modulated radiation therapy) می‌تواند سبب حفظ بهتر پاروتید و ارتقای کیفیت زندگی بیماران در مقایسه با 3D-CRT شود (۱۳).

پیشرفت فنون پرتوتایی همانند IMRT منجر به تطبیق بیشتر دز با تومور و حفظ بافت‌های طبیعی شده است (۱۴). تغییر بزرگ ناحیه‌ی آنatomیک سر و گردن در طول IMRT سبب افزایش خطر دریافت دز بیش از حد به غدد پاروتید و در نتیجه خشکی دهان می‌شود (۱۵). در ادامه، به تعدادی از مطالعات که در آن‌ها قابلیت‌ها و تفاوت‌های جدیدترین فنون پرتودرمانی مورد بحث و بررسی قرار گرفته‌اند، اشاره می‌شود.

VMAT (Volumetric modulated arc therapy) در مقایسه با IMRT قابلیت بیشتری در آزاد سازی دز تابشی در طول چرخش گانتری هماهنگ با تلفیق حفره‌ی پرتو و تغییر آهنگ دز دارد (۱۶). مطالعات بسیاری نشان می‌دهند که VMAT، سبب پوشش مناسب‌تر هدف و حفظ بیشتر اندام‌های در معرض خطر با کاهش Monitor units و کاهش زمان درمان می‌شود (۱۷). هر چند، در رابطه با اختلاف سنجش دز، بین IMRT و VMAT اختلاف نظر وجود دارد. بر اساس مطالعات، ۴π plan می‌تواند سبب حفظ اندام‌های بحرانی و تصحیح کترول تومور شود (۱۸).

RapidArc (RA) و Helical tomotherapy (HT) اهدافی را که به سادگی با حجم هدف اندام در معرض خطر وقی و داده می‌شوند، فراهم می‌کنند. بر اساس مطالعه‌ای HT در مقایسه با RA دز بالای PTV را کاهش می‌دهد و پراکندگی دز یکنواخت‌تری را فراهم می‌آورد، اما نسبت به RA دز انگرال غیر توموری را افزایش می‌دهد (۱۹).

در نهایت، چند اندازه‌گیری ساده، از جمله گرینش دقیق بیماران،

مشاهده بود. بعد از ۳۶ ماه بیماران گروه یک به ۷۴ درصد شرایط طبیعی جریان بزاق دست یافتد. بهبود عملکرد پاروتید در دوره‌ی ۲۴ و ۳۶ ماهه برای گروه یک و دو قابل توجه بود. در حالی که در گروه سه هیچ گونه اثر بهبودی در دوره‌های ۲۴، ۱۲ و ۳۶ ماهه یافت نشد. بهبودی در جریان بزاق بعد از ۳۶ ماه از زمان پرتودرمانی در موقعیت‌های مختلف تومور، لارینکس یا هایپوفارینکس (۶۲ درصد) و اروفارینکس (۵۶ درصد) در مقایسه با حفره‌ی دهان (۳۱ درصد) مشاهده شد. چندین آنالیز رگرسیون خطی نشان داد که در غده‌ی پاروتید و ناحیه‌ی تومور، از عوامل مستقل تسکین در زمان‌های ۱۲ و ۳۶ ماه بعد از پایان پرتودرمانی می‌باشد (۱۱). در مطالعه‌ی حاضر نیز کیفیت زندگی بیماران از لحاظ عدد بزاقی، پس از درمان تحت تأثیر موقعیت تومور قرار نداشت.

در مطالعه‌ای دیگر به مدت ۶ هفته، ۶ ماه، ۱۲ ماه و ۵ سال بعد از پرتودرمانی، ارتباط معنی‌داری بین تغییر نسبت جریان هر دو پاروتید راست و چپ دیده نشد ($P = 0/600$)؛ در حالی که ارتباط قابل توجهی بین نسبت خشکی دهان ($P = 0/010$) مشاهده شد. در این مطالعه، هیچ گونه دلیلی مبنی بر کاهش خشکی دهان تحت تأثیر جریان پاروتید مشاهده نگردید ($P = 0/790$) (۲۰). در حالی که اثر گذشت زمان بر کاهش خشکی دهان ($P = 0/003$) قابل توجه بود. به عبارت دیگر، می‌توان گفت مشکل خشکی دهان با گذشت زمان قابل حل می‌باشد و ربطی به تصحیح جریان پاروتید ندارد. همچنین، هیچ گونه ارتباط مشخصی بین تغییر در میزان خشکی دهان در طول زمان با دز پاروتید یا دز ساب مندبیل و نیز ارتباط قابل توجهی بین میزان خشکی دهان با گذشت زمان Braam و متوسط دز خلد بزاقی مختلف مشاهده نشد. همچون مطالعه‌ی Braam و همکاران (۱۲)، در تحقیق حاضر نیز ارتباطی بین مقدار دز دریافتی و اختلال عملکرد غدد بزاقی بیماران یافت نگردید.

بر اساس نتایج این تحقیق و مطالعات صورت گرفته، 3D-CRT

همچنین، با بررسی کیفیت زندگی بیمارانی که با شرایط و روش‌های مختلف، درمان شده‌اند، می‌توان شرایط و روش درمان مناسب را برای هر بیمار و با توجه به امکانات درمانی موجود در هر مرکز فراهم آورد.

تشکر و قدردانی

از دانشگاه علوم پزشکی ارومیه به خاطر تأمین هزینه انجام طرح و از تمامی پژوهشکان، کارکنان و پرسنل بیمارستان امید شهرستان ارومیه که ما را در انجام این تحقیق یاری نمودند، سپاسگزاری می‌گردد. این مقاله، برگرفته از طرح پژوهشی به شماره‌ی ۱۳۸۶-۰۴-۶۲-۱۳۹۳-۰۴ مصوب دانشگاه علوم پزشکی ارومیه در خرداد ۱۳۹۳ می‌باشد.

طراحی درمان اندیشمندانه و تجهیزات مدرن پرتویی، می‌تواند سبب کاهش ذر بافت‌های مجاور و کاهش شیوع سرطان ثانویه شود (۲۰). بهینه‌سازی شرایط پرتودرمانی، می‌تواند سبب رسیدن به شیوه‌نامه‌های پرتودرمانی مختص هر بیمار شود (۲۱).

از جمله محدودیت‌های این تحقیق، مناسب نبودن بعضی از طرح‌های درمانی موجود جهت استخراج داده‌های مورد نیاز بود که در این صورت نموده به طور کامل از جمعیت مورد مطالعه حذف می‌شد. در پایان، به محققانی که قصد انجام کارهای مشابه را دارند، توصیه می‌شود که تا حد امکان بیماران بیشتری را وارد مطالعه کنند و راه کارهای مورد نیاز مناسب را به منظور بررسی کیفیت زندگی بیماران پیدا کنند.

References

- van de Water TA, Bijl HP, Schilstra C, Pijls-Johannesma M, Langendijk JA. The potential benefit of radiotherapy with protons in head and neck cancer with respect to normal tissue sparing: a systematic review of literature. *Oncologist* 2011; 16(3): 366-77.
- Taylor LS. History of the International Commission on Radiological Units and Measurements (ICRU). *Health Phys* 1958; 1(3): 306-14.
- International Commission on Radiation Units and Measurements (ICRU).
- Jackson A, Kutcher GJ, Yorke ED. Probability of radiation-induced complications for normal tissues with parallel architecture subject to non-uniform irradiation. *Med Phys* 1993; 20(3): 613-25.
- Drzymala RE, Mohan R, Brewster L, Chu J, Goitein M, Harms W, et al. Dose-volume histograms. *Int J Radiat Oncol Biol Phys* 1991; 21(1): 71-8.
- Fertil B, Malaise EP. Inherent cellular radiosensitivity as a basic concept for human tumor radiotherapy. *Int J Radiat Oncol Biol Phys* 1981; 7(5): 621-9.
- Dehkordi A, Heydarnejad MS, Fatehi D. Quality of Life in cancer patients undergoing Chemotherapy. *Oman Med J* 2009; 24(3): 204-7.
- Bjordal K, de Geraeff A, Fayers PM, Hammerlid E, van Pottelsberghe C, Curran D, et al. A 12 country field study of the EORTC QLQ-C30 (version 3.0) and the head and neck cancer specific module (EORTC QLQ-H&N35) in head and neck patients. EORTC Quality of Life Group. *Eur J Cancer* 2000; 36(14): 1796-807.
- Zmijewska-Tomeczak M, Milecki P, Olek-Hrab K, Hojan K, Golusinski W, Rucinska A, et al. Factors influencing quality of life in patients during radiotherapy for head and neck cancer. *Arch Med Sci* 2014; 10(6): 1153-9.
- Hassan SJ, Weymuller EA, Jr. Assessment of quality of life in head and neck cancer patients. *Head Neck* 1993; 15(6): 485-96.
- Hey J, Setz J, Gerlach R, Janich M, Hildebrandt G, Vordermark D, et al. Parotid gland-recovery after radiotherapy in the head and neck region--36 months follow-up of a prospective clinical study. *Radiat Oncol* 2011; 6: 125.
- Braam PM, Roesink JM, Raaijmakers CP, Busschers WB, Terhaard CH. Quality of life and salivary output in patients with head-and-neck cancer five years after radiotherapy. *Radiat Oncol* 2007; 2: 3.
- Zhao N, Yang R, Jiang Y, Tian S, Guo F, Wang J. A hybrid IMRT/VMAT technique for the treatment of nasopharyngeal cancer. *Biomed Res Int* 2015; 2015: 940102.
- Chatterjee S, Willis N, Locks SM, Mott JH, Kelly CG. Dosimetric and radiobiological comparison of helical tomotherapy, forward-planned intensity-modulated radiotherapy and two-phase conformal plans for radical radiotherapy treatment of head and neck squamous cell carcinomas. *Br J Radiol* 2011; 84(1008): 1083-90.
- Castelli J, Simon A, Louvel G, Henry O, Chajon E, Nassef M, et al. Impact of head and neck cancer adaptive radiotherapy to spare the parotid glands and decrease the risk of xerostomia. *Radiat Oncol* 2015; 10(1): 6.
- Otto K. Volumetric modulated arc therapy: IMRT in a single gantry arc. *Med Phys* 2008; 35(1): 310-7.
- Lee TF, Ting HM, Chao PJ, Fang FM. Dual arc volumetric-modulated arc radiotherapy (VMAT) of nasopharyngeal carcinomas: a simultaneous integrated boost treatment plan comparison with intensity-modulated radiotherapies and single arc VMAT. *Clin Oncol (R Coll Radiol)* 2012; 24(3): 196-207.
- Sheng K, Dong P, Gautam A, Cheng CW, Ruan D, Low D, et al. Evolution of ipsilateral head and neck radiotherapy. *Curr Cancer Ther Rev* 2014; 10(4): 343-52.
- Vernat SS, Ali D, Messina C, Pommier P, Dussart S, Puyraveau M, et al. Intensity modulated arc therapy in bilaterally irradiated head and neck cancer: a comparative and prospective multicenter planning study. *Cancer Invest* 2014; 32(5): 159-67.
- Shikrul M, Belkacemi Y, Kuten A. Secondary malignancies in survivors of breast cancer: how to overcome the risk. *Crit Rev Oncol Hematol* 2012; 84(Suppl 1): e86-e89.
- Wang W, Lang J. Strategies to optimize radiotherapy based on biological responses of tumor and normal tissue. *Exp Ther Med* 2012; 4(2): 175-80.

Influence of Radiation Therapy Parameters on the Quality of Life in Patients with Head and Neck Cancer Treated with Three-Dimensional Conformal Radiotherapy

Seyed Reza Mousavi MSc¹, Nasrollah Jabbari PhD²

Original Article

Abstract

Background: The present study aimed to investigate the influence of therapeutic parameters of radiation therapy on the quality life in patients suffering from head and neck cancer after being treated with three-dimensional conformal radiotherapy (3D-CRT).

Methods: In this study, the quality life of 45 patients with organs at risks of thyroid, salivary glands and eyes was assessed after treatment of three-dimensional conformal radiotherapy under the influence of parameters such as the treatment region, prescribed dose, the grade of cancer and the type of treatment. The European organization for research and treatment of cancer quality of life questionnaire-core 30 (EORTC QLQ-C30) and the Quality of life questionnaire-head and neck 35 (QLQ-H&N35) were used to assess the quality of life in patients with head and neck cancer. Having collected data, Mann-Whitney and Kruskal-Wallis tests were used to analyze. The level of significance was considered as 0.05 in all the tests.

Findings: There was a significant correlation between the site of the tumors in different regions of head and neck and the reduction in quality life due to thyroid dysfunction ($P = 0.002$). However, there was not any significant correlation between the quality life and total received dose, the grade of cancer, and the type of treatment.

Conclusion: According to the results of this study and other researches, three-dimensional conformal radiotherapy with protection of organs at risk lead to satisfactory maintenance of normal tissues of head and neck regions after the treatment. This reveals the importance of using new techniques and methods to reduce the probability of normal tissue side effects and finally improve the quality life of the patients after taking the course of treatment.

Keywords: Head and neck cancer, Three-Dimensional conformal radiotherapy, Quality of life

Citation: Mousavi SR, Jabbari N. **Influence of Radiation Therapy Parameters on the Quality of Life in Patients with Head and Neck Cancer Treated with Three-Dimensional Conformal Radiotherapy.** J Isfahan Med Sch 2016; 33(365): 2302-2308

1- Department of Medical Physics and Imaging, Urmia University of Medical Sciences, Urmia, Iran

2- Associate Professor, Department of Medical Physics and Imaging, Urmia University of Medical Sciences, Urmia, Iran

Corresponding Author: Seyed Reza Mousavi MSc, Email: rmousavimp@gmail.com

بررسی مقایسه‌ای، اضطراب، افسردگی، استرس و کیفیت زندگی در دو گروه مبتلا و غیر مبتلا به آکنه

دکتر محمد علی نیلفروش‌زاده^۱، نیلوفر حمیدی نسب^۲، محمدرضا نیلی‌پور طباطبایی^۳، آسیه حیدری^۳، دکتر سید محسن حسینی^۴

مقاله پژوهشی

چکیده

مقدمه: آکنه ولگاریس، یک بیماری مزمن التهابی پوستی است که با ایجاد عوارض جانبی همچون اسکارهای هایپرتروفیک و آتروفیک و پیگمانتسیون طولانی مدت، ازرات روان‌شناختی نامطلوبی بر روی فرد دارد. این مطالعه با هدف مقایسه اختلالات روان‌شناختی و کیفیت زندگی در یک گروه از بیماران مبتلا به آکنه و یک گروه از افراد غیر مبتلا به این عارضه، به انجام رسید.

روش‌ها: طی یک مطالعه مورد-شاهدی، ۱۰۰ بیمار مبتلا (گروه مورد) و ۱۰۰ فرد غیر مبتلا به آکنه (گروه شاهد) انتخاب شدند. شیوع و شدت اختلالات روان‌شناختی شامل افسردگی، اضطراب و استرس در آنان با استفاده از پرسشنامه‌ی DASS (Depression Anxiety Stress Scales) و کیفیت زندگی آنان با استفاده از پرسشنامه‌ی WHOQOL-BREF (World Health Organization Quality of Life-BREF) بررسی و مقایسه شد.

یافته‌ها: از دو گروه مورد و شاهد به ترتیب ۷ و ۸ درصد از گروه مورد دچار افسردگی خفیف، ۵ درصد از گروه مورد دچار افسردگی متوسط و ۲ درصد از گروه شاهد دچار افسردگی شدید بودند و توزیع فراوانی شدت افسردگی در دو گروه اختلاف معنی‌دار نداشت ($P = 0.70$). در دو گروه مورد و شاهد، به ترتیب ۷ و ۵ درصد دارای اضطراب خفیف، ۴ و ۲ درصد دارای اضطراب متوسط و ۱ درصد دارای اضطراب شدید بودند؛ شدت اضطراب، در دو گروه اختلاف معنی‌دار نداشت ($P = 0.60$). ۸ درصد در گروه مورد و ۱ درصد در گروه شاهد دچار استرس خفیف بودند و شدت استرس، در دو گروه اختلاف معنی‌دار نداشت ($P = 0.17$). میانگین نمره‌ی کیفیت زندگی در دو گروه مورد و شاهد به ترتیب $11/19 \pm 10/00$ و $79/30 \pm 10/73$ بود و اختلاف معنی‌داری بین دو گروه مشاهده نشد ($P = 0.94$).

نتیجه‌گیری: شیوع اختلالات روان‌شناختی در بیماران مبتلا به آکنه، نسبت به گروه شاهد بالاتر است. از طرف دیگر، بیماران مبتلا به آکنه (اغلب خفیف و متوسط) نیز به درجات کمتری از حمایت‌های دیگران، کیفیت زندگی و رضایتمندی از وضعیت سلامتی برخوردار می‌باشند و به نظر می‌رسد، این بیماران در معرض کاهش سطح کیفیت زندگی قرار داشته باشند. از این رو، لازم است بیماران مبتلا به آکنه خفیف و متوسط نیز از نظر وجود این اختلالات، مورد بررسی قرار گیرند و اقدامات پیش‌گیرانه در مورد آنان لحاظ گردد.

وازگان کلیدی: آکنه ولگاریس، اختلالات روان‌شناختی، کیفیت زندگی

ارجاع: نیلفروش‌زاده محمد علی، حمیدی نسب نیلوفر، نیلی‌پور طباطبایی محمدرضا، حیدری آسیه، حسینی سید محسن. بررسی مقایسه‌ای، اضطراب، افسردگی، استرس و کیفیت زندگی در دو گروه مبتلا و غیر مبتلا به آکنه. مجله دانشکده پزشکی اصفهان ۱۳۹۴؛ ۳۳(۳۶۵): ۲۳۰-۹-۲۳۱۵

مقدمه

آکنه ولگاریس، یک بیماری مزمن التهابی پوستی است که باعث درگیری واحدهای پیلوسیاسه می‌گردد. گسترش آکنه در نواحی از بدن که غدد سباسه بیشتری دارند، مانند صورت، پشت، قفسه‌ی سینه و قسمت بالای زانوها دیده می‌شود. درمان مؤثر و زودهنگام این

بیماری برای جلوگیری از ضایعات اسکار آکنه بر وضعیت روان‌شناختی و وضعیت زیبایی بیمار سیار مؤثر می‌باشد (۱-۵).

اگر چه این بیماری حیات فرد را تهدید نمی‌کند، اما با در نظر گرفتن شیوع بالای این عارضه در نوجوانان ایرانی، و ایجاد عوارض جانبی همچون اسکارهای هایپرتروفیک و آتروفیک و پیگمانتسیون

- دانشیار، مرکز تحقیقات پوست و سلول‌های بنیادی، دانشگاه علوم پزشکی تهران، تهران، ایران
- دانشجوی پزشکی، دانشگاه آزاد اسلامی واحد نجف‌آباد و مرکز تحقیقات بیماری‌های پوستی و سالک، دانشگاه علوم پزشکی اصفهان، اصفهان، ایران
- مرکز تحقیقات بیماری‌های پوستی و سالک، دانشگاه علوم پزشکی اصفهان، اصفهان، ایران
- استاد، مرکز تحقیقات بیماری‌های پوستی و سالک، دانشگاه علوم پزشکی اصفهان، اصفهان، ایران

نویسنده‌ی مسؤول: آسیه حیدری

Email: ac.heidari@yahoo.com

(WHOQOL-BREF) استفاده گردید.

DASS یک پرسشنامه‌ی ۴۲ سؤالی (و فرم کوتاه ۲۱ سؤالی) در ارتباط با علایم افسردگی، اضطراب و استرس است. در این پرسشنامه، مفاهیم استرس ذهنی و اضطراب بدنی به عنوان دو پدیده‌ی جدا از هم در نظر گرفته شده است. این وسیله‌ی غربال‌گری، وضعیت فرد را در طی ۷ روز گذشته مورد سنجش قرار می‌دهد. ضریب آماره‌ی گاما که نمایانگر بار هر مقیاس بر روی عامل کلی (نمره‌ی کلی) می‌باشد، برای افسردگی ۰/۷۱، برای اضطراب ۰/۸۶ و برای استرس ۰/۸۸ محسوبه گردیده است. انتظار می‌رود اضطراب و استرس، بار زیادتری بر روی عوامل مشترک در مقایسه با افسردگی داشته باشند؛ چرا که آن‌ها با هم بیشتر مرتبط هستند. پایایی این سه مقیاس، به اندازه‌ی کافی و قابل قبول است و اندازه‌ی آن به روش قبل و بعد، به ترتیب برای افسردگی، اضطراب و استرس ۰/۷۹، ۰/۷۱ و ۰/۸۱ می‌باشد (۱۳). آزمون تحلیل عوامل اکشافی و تأییدی خواص این سه عامل را حمایت کرده‌اند. مقدار ارتباط بین نمره‌ی اضطراب Beck anxiety inventory (BAI) یا DASS برابر ۰/۸۱ و مقدار ارتباط بین نمره‌ی افسردگی Beck depression inventory (BDI) یا WHO QOL-100 کشور، فرم ۱۵ WHO QOL-100 تهیه شده است. این تلاش‌ها، به ایجاد پیش‌زمینه‌ای برای تعریف کیفیت زندگی در نهایت به تولید فرم WHO QOL BREF که فرم خلاصه شده‌ای از فرم WHO QOL-100 بود، منجر گردید. برخلاف پرسشنامه‌ی WHO QOL-100 که برای کاربرد عملی خسته کننده و طولانی است، فرم WHOQOL-BREF برای بررسی کوتاه مدت کیفیت زندگی ایجاد شده است و دارای ۲۶ آیتم می‌باشد. سؤالات فرم ارزیابی کیفیت زندگی WHO QOL BREF در ۴ حیطه‌ی اصلی شامل سلامت فیزیکی و جسمی، روان‌شناختی، روابط اجتماعی و محیط طراحی شده است.

در این پرسشنامه، هر یک از ۲۶ مورد سؤال، به طور جداگانه نمره‌گذاری می‌شود و دامنه‌ی هر مورد ۱-۵ می‌باشد. امتیازات در جهت مثبت درجه‌بندی و تنظیم می‌گردد. از این‌رو، امتیازات بالاتر، نشان دهنده‌ی کیفیت زندگی بهتر است. پس از آن، میانگین امتیازات در هر حیطه محسابه و در عدد ۴ ضرب می‌شود تا امتیازات هر حیطه با امتیازات استفاده شده در WHO QOL-100 قابل مقایسه باشند. از

طولانی مدت، اثرات روان‌شناختی نامطلوبی داشته و این عارضه صدمات جبران ناپذیری را در شکل‌گیری شخصیت و ناتوانی اجتماعی به همراه دارد. از طرفی، مطالعات انجام یافته در این حیطه محدود می‌باشد (۶-۷). در بعضی مطالعات نشان داده شده است که درجات مشکلات روانی و اجتماعی و احساسی این بیماران، با بیماری‌هایی همچون آسم، تشنج، کمردرد، دیابت و آرتیت برابر است و حتی آکنه خفیف و متوسط، می‌تواند با افسردگی شدید و حتی افکار خودکشی همراه باشد (۸).

مطالعه‌ی دیگری با بررسی تأثیر بیماری‌های پوستی بر روی کیفیت زندگی، نشان داد که ارتباط معنی‌داری بین اضطراب و افسردگی و ابتلا به آکنه در افراد مورد مطالعه به دست آمده است (۹). مطالعات مختلف نشان داده است که سطح اضطراب و عصبانیت در بیماران مبتلا به آکنه، نسبت به گروه شاهد افزایش داشته است (۱۰-۱۱). همچنین، مطالعات دیگر حاکی از کاهش اعتماد به نفس در بیماران مبتلا به آکنه می‌باشد (۱۲).

این مطالعه با هدف مقایسه‌ی اختلالات روان‌شناختی و کیفیت زندگی در یک گروه از بیماران مبتلا به آکنه و یک گروه از افراد غیر مبتلا به این عارضه، به انجام رسید.

روش‌ها

این مطالعه، یک مطالعه‌ی مورد-شاهدی بود که در سال ۱۳۹۳ در مرکز تحقیقات پوست و سالک دانشگاه علوم پزشکی اصفهان به انجام رسید. جامعه‌ی آماری مورد مطالعه، شامل بیماران مبتلا به آکنه و مراجعه کننده به این مرکز و افراد غیر مبتلا به آکنه بودند.

معیارهای ورود شامل موافقت بیمار برای شرکت در مطالعه و وجود علایم بیماری آکنه در صورت بیماران و معیارهای خروج شامل عدم پاسخ‌گویی صحیح به سؤالات و یا عدم همکاری بیماران بودند. تشخیص و میزان شدت آکنه به صورت بالینی توسط پزشک متخصص پوست در درمانگاه تخصصی پوست صورت گرفت.

بر اساس فرمول حجم نمونه، افراد مورد نیاز در هر گروه برابر با ۸۳ نفر تعیین گردید؛ ولی جهت اطمینان بیشتر، در این مطالعه، ۱۰۰ بیمار مبتلا (گروه مورد) و ۱۰۰ فرد غیر مبتلا به آکنه (گروه شاهد) که از نظر سن و جنس با گروه مورد همسان بودند، انتخاب گردیدند. اطلاعات دموگرافیک مانند سن، جنس، سطح تحصیلات، شغل و وضعیت تأهل شرکت کنندگان، با استفاده از پرسشنامه‌ی خود ایفا جمع‌آوری شد. جهت سنجش میزان اضطراب، افسردگی و استرس، از PERSH-NAMHE استاندارد شده‌ی Depression Anxiety Stress Scales (DASS) و برای بررسی کیفیت زندگی، از پرسشنامه‌ی استاندارد World Health Organization Quality of Life-BREF

میانگین نمره‌ی استرس نیز در دو گروه مورد و شاهد به ترتیب $4/45 \pm 4/30$ و $3/52 \pm 5/00$ بود و اختلاف معنی‌داری بین دو گروه وجود نداشت (P = 0/160).

از نظر سطح افسردگی و سطح اضطراب، طبق آزمون Fisher's exact توزیع فراوانی شدت افسردگی و اضطراب در دو گروه اختلاف معنی دار نداشت ($P > 0.05$). از نظر سطح استرس بر حسب این آزمون، شدت استرس در دو گروه اختلاف معنی دار نداشت ($P = 0.17$) (جدول ۲).

سطح کیفیت زندگی با مؤلفه‌های میزان رضایت از وضعیت سلامتی، ارزیابی کیفیت زندگی از دیدگاه افراد و دریافت انواع حمایت‌ها از طرف دیگران مورد ارزیابی، قرار گفت.

در شکل ۱، توزیع فراوانی دریافت انواع حمایت‌ها در دو گروه مورد و شاهد آمده است. بر حسب این شکل، بیشتر افراد گروه‌های مورد و شاهد، از حمایت اجتماعی متوسط برخوردار بودند؛ به طوری که میزان حمایت در ۴۲ بیمار و ۴۱ شاهد در حد متوسط بوده است. همچنین، میزان حمایت دیگران در ۲۶ بیمار و ۱۵ فرد سالم، در حد زیاد بوده است. در عین حال، آزمون Mann-Whitney نشان داد که میزان حمایت اجتماعی، دیگران در دو گروه اختلاف معنی دار نداشت ($P = 0.280$).^(P)

بر حسب شکل ۲، اغلب افراد دو گروه مورد و شاهد، کیفیت زندگی خود را در حد خوب ارزیابی کردند؛ به طوری که ۵۰ فرد از ۵۵ فرد از گروه شاهد اعلام کردند که کیفیت زندگی آن‌ها در حد خوب است. همچنین، ۲۴ فرد از گروه مورد و ۲۶ فرد از گروه شاهد، کیفیت زندگی خود را در حد متوسط ارزیابی کردند.

نتایج آزمون Mann-Whitney بر روی داده‌های به دست آمده، نشان داد که کیفیت زندگی از دیدگاه افراد در دو گروه مورد مطالعه اختلاف معنی دار نداشت ($P = 0.670$).

بررسی نظرات افراد دو گروه نشان داد که ۵۰ فرد از گروه مورد
و ۵۵ فرد از گروه شاهد، وضعیت سلامتی خود را در حالت خوب و به
ترتیب ۱۶ و ۱۱ نفر در حالت خیلی خوب ارزیابی کردند و بر حسب
آزمون Mann-Whitney، وضعیت سلامتی از دیدگاه افراد دو گروه،
 اختلاف معنی دار نداشت ($P = 0.580$) (شکا ۳).

آن جایی که این پرسشنامه در ۱۵ مرکز بین‌المللی مورد ارزیابی قرار گرفته و از اعتبار بین‌المللی برخوردار است، دارای روایی و پایایی قابل قبول می‌باشد (۱۳).

برای جلوگیری از تداخل با سایر بیماری‌ها، پرسشنامه‌ها جهت بیماری آکنه تکمیل می‌گردید و این آگاهی به بیماران داده شد که سوالات، در رابطه با بیماری آکنه در آنان پر می‌شود. داده‌های مطالعه بعد از جمع‌آوری و رفع نقصان، در نرم‌افزار SPSS نسخه‌ی ۲۰ ثبت و تجزیه و تحلیل گردید. از آزمون‌های آماری χ^2 Mann-Whitney و Fisher's exact Paired t.t جهت واکاوی داده‌ها، استفاده شد.

بیانات

میانگین سن دو گروه مورد و شاهد به ترتیب 24.2 ± 7.0 و 24.2 ± 11.2 سال بود. ۱۷ نفر (۱۷ درصد) از گروه مورد و ۱۸ نفر (۱۸ درصد) از گروه شاهد مرد و سایر شرکت کنندگان زن بودند. همچنین، از این دو گروه، به ترتیب ۶۵ و ۵۷ نفر مجرد بودند. به طور کلی، طبق آزمون‌های t و χ^2 تفاوت معنی داری بین دو گروه از نظر توزیع سنی، جنسی، وضعیت تأهل، سطح تحصیلات و وضعیت اشتغال وجود نداشت.

از ۱۰۰ بیمار گروه مورد، ۳۸ نفر (۳۸ درصد) مبتلا به آکنه‌ی خفیف، ۵۴ نفر (۵۴ درصد) مبتلا به آکنه‌ی متوسط و ۸ نفر (۸) درصد) مبتلا به آکنه‌ی شدید بودند. از طرف دیگر، طبق آزمون χ^2 شدلت آکنه در دو جنس اختلاف معنی‌دار نداشت ($P = 0.160$) (جدول ۱). میانگین نمره‌ی کل پرسش‌نامه‌ی DASS در دو گروه مورد و شاهد به ترتیب $11/10 \pm 11/28$ و $14/28 \pm 9/17$ بود و طبق آزمون χ^2 اختلاف معنی‌داری بین دو گروه مشاهده نشد. ($P = 0.340$)

میانگین نمره‌ی افسردگی در دو گروه مورد و شاهد به ترتیب $4/18 \pm 4/35$ و $4/45 \pm 4/32$ بود و طبق آزمون t اختلاف معنی‌دار بود. دو گروه مشاهدۀ نشاند $(P = 0/96)$.

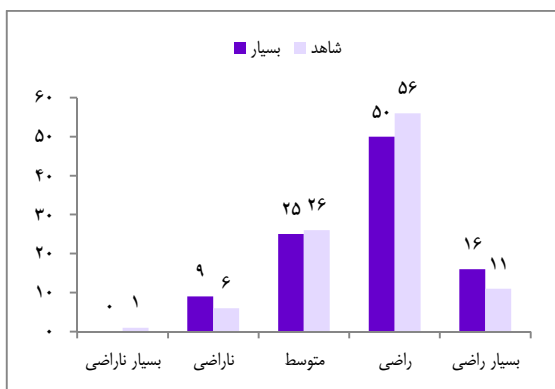
میانگین نمره‌ی اضطراب در دو گروه مورد و شاهد به ترتیب $3/33 \pm 3/63$ و $3/42 \pm 3/09$ بود و طبق آزمون t تفاوت معناداری

جدول ۱. توزیع فراوانی شدت آکنه بر حسب جنس

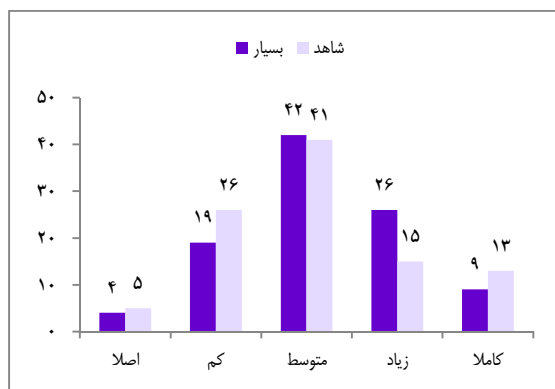
جنس	مرد	زن	جمع	تعداد (درصد)
شدت آکنه	١٣ (١٧/٦)	٣٥ (٤٢/٢)	٣٨ (٣٨/٠)	٢٨ (٣٨/٠)
متوسط	١٢ (٧٠/٦)	٤٢ (٥٠/٦)	٥٤ (٥٤/٠)	٨ (٨/٠)
شدید	٢ (١١/٨)	٦ (٧/٢)	٨ (٨/٠)	١٠٠ (١٠٠)
خفيف				جمع

جدول ۲. توزیع فراوانی شدت افسردگی، اضطراب و استرس در دو گروه

متغیر	گروه		
	مشاهد	مورد	شاهد
	(تعداد و درصد)	(تعداد و درصد)	مقدار P
افسردگی	۹۰	۸۸	طبیعی
	۸	۷	خفیف
	۰	۵	متوسط
	۲	۰	شدید
اضطراب	۹۲	۸۷	طبیعی
	۵	۷	خفیف
	۲	۴	متوسط
	۱	۲	شدید
استرس	۹۹	۹۲	طبیعی
	۱	۸	خفیف
	۰	۰	متوسط
	۰	۰	شدید



شکل ۳. توزیع فراوانی رضایتمندی از وضعیت سلامتی در دو گروه



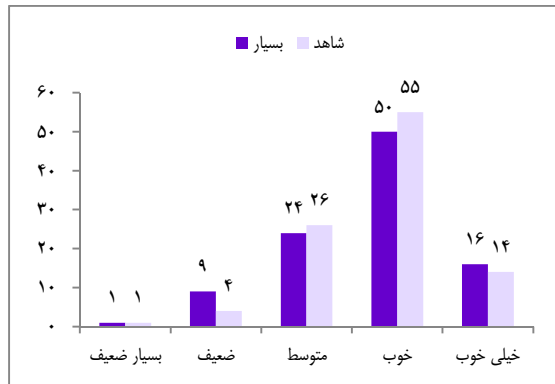
شکل ۱. توزیع فراوانی دریافت حمایت دیگران در دو گروه

بود و اختلاف معنی‌داری بین دو گروه مشاهده نشد ($P = 0.940$). همچنین، بر حسب جدول ۳، وضعیت کیفیت زندگی در چهار حیطه‌ی جسمی، روان‌شناختی، اجتماعی و محیطی، در این دو گروه، اختلاف معنی‌دار نداشت.

بحث

افزایش شیوع اختلالات روانی در بیماران مبتلا به بیماری‌های پوستی همچون اضطراب، افسردگی، افکار خودکشی، کاهش کیفیت زندگی و نارضایتی از ظاهر مطرح بوده است (۱۵). به تازگی، برآورده شده است که عوامل عاطفی در ایجاد بیماری در حداقل یک سوم بیماران دخیل می‌باشد (۱۶). آکنه‌ی ولگاریس، از شایع‌ترین اختلالات پوستی می‌باشد که بیماران به دنبال مراقبت پوستی برای آن می‌باشند (۱۷) و می‌تواند با اثرات روانی در ارتباط باشد (۱۸).

جهت بررسی وجود اختلالات روان‌شناختی، در این مطالعه سه مؤلفه‌ی افسردگی، اضطراب و استرس با استفاده از پرسشنامه‌ی



شکل ۲. توزیع فراوانی ارزیابی کیفیت زندگی از دیدگاه افراد در دو گروه

در جدول ۳، میانگین و انحراف معیار نمره‌ی کیفیت زندگی و نمره‌ی چهار حیطه‌ی جسمی، روان‌شناختی، اجتماعی و محیطی آمده است، بر حسب این جدول، میانگین نمره‌ی کیفیت زندگی در دو گروه مورد و شاهد به ترتیب 11.19 ± 10.73 و 80.00 ± 79.30 است.

جدول ۳. میانگین و انحراف معیار نمره‌ی کیفیت زندگی (QOL) در دو گروه مورد و شاهد

گروه	مورد	شاهد	مقدار P
میانگین نمره کل	۸۰/۰۰ ± ۱۱/۱۹	۷۹/۳۰ ± ۱۰/۷۳	۰/۹۴۰
حیطه جسمی	۲۱/۲۲ ± ۳/۳۳	۲۱/۱۹ ± ۲/۵۱	۰/۹۶۰
حیطه روان‌شناختی	۲۰/۴۹ ± ۳/۰۱	۲۰/۴۱ ± ۲/۸۴	۰/۳۵۰
حیطه اجتماعی	۱۰/۴۱ ± ۲/۴۵	۱۰/۸۳ ± ۲/۷۷	۰/۱۱۰
حیطه محیطی	۲۷/۹۸ ± ۴/۹۲	۲۶/۸۷ ± ۴/۷۴	۰/۶۵۰

QOL: Quality of life

میان یافته‌های مطالعات یافت نمی‌شد.

به هر حال، در مطالعه‌ی حاضر بیماران مبتلا به آکنه‌ی خفیف و متوسط نیز به درجاتی از افسردگی و استرس مبتلا هستند و چنین یافته‌های یادآور می‌شود که حمایت روان‌شناختی‌عطافی از بیماران مبتلا به آکنه‌ی خفیف و متوسط نیز لازم و ضروری می‌باشد. با توجه به این که افراد مبتلا به آکنه‌ی خفیف و متوسط نیز در معرض خطر بروز درجات شدیدتری از آکنه می‌باشند، لازم است وجود اختلالات روان‌شناختی‌دیر آنان نیز مورد توجه و بررسی قرار گیرد.

در مطالعه‌ی حاضر، هر چند که توزیع سه مؤلفه‌ی حمایت دیگران، ارزیابی کیفیت زندگی و رضایتمندی از وضعیت سلامتی بدنی در بین دو گروه مورد و شاهد، اختلاف معنی‌دار نداشت؛ اما فراوانی موارد منفی و نامطلوب در این سه مؤلفه، در بیماران مبتلا به آکنه بالاتر بود؛ چنین نتیجه‌ای در مطالعات قبلی نیز گزارش شده است که به آن اشاره گردید.

با بررسی کیفیت زندگی با استفاده از پرسشنامه‌ی QOL در دو گروه مورد مطالعه، تفاوت معنی‌داری بین نمره‌ی کل کیفیت زندگی و حیطه‌های جسمی، روان‌شناختی، اجتماعی و محیطی مشاهده شد، اما در عین حال، بیماران مبتلا به آکنه، در این چهار مؤلفه از امتیاز پایین‌تری برخوردار هستند و با تفاوت کم، می‌توان گفت آکنه در کاهش کیفیت زندگی مؤثر بوده است. از این رو، لازم است بیماران مبتلا به آکنه‌ی خفیف و متوسط نیز از نظر وجود و وجود اختلالات روان‌شناختی مورد بررسی قرار گیرند و اقدامات پیش‌گیرانه در مورد آنان لحاظ گردد.

پیشنهاد می‌گردد این مطالعه با حجم نمونه‌ی بالاتر و در سطح وسیع‌تری انجام گردد. همچنین، با توجه به شیوع بالای آکنه، پیشنهاد می‌شود بررسی اختلالات روان‌شناختی در بیماران مبتلا به این عارضه، به صورت شیوه‌نامه‌ای در درمانگاه‌های پوست تلوین و اجرا گردد.

تشکر و قدردانی

نویسنده‌گان این مقاله از افراد مورد مطالعه اعم از بیمار و سالم،

DASS در دو گروه مورد و شاهد بررسی و مقایسه شد؛ بر اساس یافته‌ها، از نظر سطح استرس در دو گروه اختلاف معنی‌دار وجود داشت. مطالعات و بررسی‌های قبلی نشان داده است شیوع اختلالات روان‌شناختی به ویژه اضطراب و افسردگی در بیماران مبتلا به آکنه، شایع‌تر از افراد عادی جامعه می‌باشد. به عنوان نمونه، در مطالعه‌ی Gurel و همکاران ارتباط معنی‌دار بین اضطراب و افسردگی و ابتلاء به آکنه به دست آمده است. در این مطالعه، بیشترین درصد عوارض روانی حاصل، به کهیز و آکنه اختصاص داشته است (۸).

همچنین، در مطالعه‌ی Purvis و همکاران، ابتلاء به آکنه با افزایش احتمال بروز علایم افسردگی رابطه داشته و شناس ابتلاء به افسردگی در افراد مبتلا به آکنه، ۲/۰۴ برابر افراد غیر مبتلا بوده است. همچنین، شناس بروز اضطراب در افراد بیمار نسبت به افراد سالم ۲/۳ برابر بوده است. در این مطالعه، احتمال اقدام به خودکشی در افراد مبتلا به آکنه ۱/۸۳ برابر افراد غیر مبتلا بوده است (۱۹).

باغستانی و همکاران نیز در مطالعه‌ی خود نشان دادند که بیماری آکنه در ۵۴/۰۴ درصد از دانشجویان مورد مطالعه، اثر خفیف بر کیفیت زندگی داشت. میانگین امتیازهای QOL و Acne از سه زمینه‌ی درک از خود، نقش اجتماعی، نقش احساس در بین مردان بیشتر از زنان بود و شدت آکنه، اثر معنی‌داری بر کیفیت زندگی داشت (۲۰).

بهشتی و باریکانی در مطالعه‌ای بر روی ابعاد مختلف زندگی بیماران مبتلا به آکنه، نشان دادند که به علت وجود آکنه، ۳۱/۲ درصد بیماران پرخاشگری در حد زیاد و بسیار زیاد، ۱۳/۷ درصد مشکلاتی در فعالیت‌های اجتماعی و ۳۰/۸ درصد احساس افسردگی داشتند. در این مطالعه، ارتباط معنی‌داری بین سطح سواد والدین با کیفیت زندگی دانش‌آموزان مبتلا به آکنه مشاهده شد (۲). یکی از علل تفاوت شدت علایم اختلالات روان‌شناختی در نتایج این مطالعات با مطالعه‌ی حاضر، شدت آکنه در جامعه‌ی آماری است؛ به گونه‌ای که در مطالعه‌ی حاضر، اغلب بیماران مبتلا به آکنه‌ی خفیف و متوسط بودند و این موضوع از محدودیت‌های این مطالعه می‌باشد و در صورت ابتلاء گروه مورد به آکنه‌ی شدید، به احتمال زیاد، چنین اختلالاتی

نجدآباد جهت همکاری در اجرای این مطالعه سپاسگزاری می‌نمایند.

همچنین مرکز تحقیقات بیماری‌های پوستی و سالک و دانشگاه آزاد

References

- Fatemi Naeini F, Akrami H. Comparison of three different regimens of oral azithromycin in the treatment of acne vulgaris. *J Isfahan Med Sch* 2012; 29(173): 302-3033. [In Persian].
- Beheshty A, Barikani A. Assessment of life quality in high school students with acne disease in Ghazvin. *Iran South Med J* 2009; 12(1): 60-6. [In Persian].
- Fatemi F, Najafian J, Savabi Nasab S, Nilforoushzadeh M. Treatment of acne vulgaris using the combination of topical erythromycin and miconazole. *J Skin Stem Cell* 2014; 1(3): e23330.
- Pazoki-Toroudi H, Nilforoushzadeh MA, Ajami M, Jaffary F, Aboutaleb N, Nassiri-Kashani M, et al. Combination of azelaic acid 5% and clindamycin 2% for the treatment of acne vulgaris. *Cutan Ocul Toxicol* 2011; 30(4): 286-91.
- Faghihi G, Rakhshanpour M, Abtahi-Naeini B, Nilforoushzadeh MA. The efficacy of 5% dapson gel plus oral isotretinoin versus oral isotretinoin alone in acne vulgaris: A randomized double-blind study. *Adv Biomed Res* 2014; 3: 177.
- Mirmiran P, Azadbakht L, Esmaillzadeh A, Azizi F. Dietary diversity score in adolescents - a good indicator of the nutritional adequacy of diets: Tehran lipid and glucose study. *Asia Pac J Clin Nutr* 2004; 13(1): 56-60.
- Hatloy A, Torheim LE, Oshaug A. Food variety--a good indicator of nutritional adequacy of the diet? A case study from an urban area in Mali, West Africa. *Eur J Clin Nutr* 1998; 52(12): 891-8.
- Niemeier V, Kupfer J, Gieler U. Acne vulgaris--psychosomatic aspects. *J Dtsch Dermatol Ges* 2006; 4(12): 1027-36.
- Gurel MS, Yanik M, Simsek Z, Kati M, Karaman A. Quality of life instrument for Turkish people with skin diseases. *Int J Dermatol* 2005; 44(11): 933-8.
- Garrie SA, Garrie EV. Anxiety and skin diseases. *Cutis* 1978; 22(2): 205-8.
- van der Meeren HL, van der Schaer WW, van den Hurk CM. The psychological impact of severe acne. *Cutis* 1985; 36(1): 84-6.
- Shuster S, Fisher GH, Harris E, Binnell D. The effect of skin disease on self image [proceedings]. *Br J Dermatol* 1978; 99(Suppl 16): 18-9.
- World Health Organization. The World Health Organization Quality of Life (WHOQOL). [Online]. [cited 2016]; Available from: URL: http://www.who.int/mental_health/publications/whoqol/en/
- Sadock BJ, Sadock VA, Kaplan HI. Kaplan and Sadock's comprehensive textbook of psychiatry. 8th ed. Philadelphia, PA: Lippincott Williams and Wilkins; 2005.
- Nilforoushzadeh MA, Roohafza HR, Jaffary F, Khatuni M. Comparison of quality of life in women suffering from cutaneous leishmaniasis treated with topical and systemic glucantime along with psychiatric consultation compared with the group without psychiatric consultation. *J Isfahan Med* 2012; 29(173): 3046-52. [In Persian].
- Neshat Doust HT, Nilforoushzadeh MA, Dehghani F, Molavi H. Effectiveness of cognitive-behavioral stress management therapy on patients' quality of life with alopecia areata in Skin Disease and Leishmaniasis Research Centre of Isfahan. *J Arak Univ Med Sci* 2009; 12(2): 125-33. [In Persian].
- Shahmoradi Z, Iraji F, Siadat AH, Ghorbani A, Nilforoushzadeh MA. Comparison of topical 5% nicotinamid and 2% clindamycin gels in the treatment of the mild to moderate acne vulgaris: a double-blinded randomized clinical trial. *J Isfahan Med Sch* 2015; 32(316): 2279-85. [In Persian].
- Faghihi G, Kharaziha-Isfahani A, Hosseini SM, Hosseini SM, Nilforoushzadeh MA. Efficacy of intense pulsed light combined with topical erythromycin solution 2% versus topical erythromycin solution 2% alone in the treatment of persistent facial erythematous acne macules. *J Isfahan Med Sch* 2015; 32(13): 2157-64. [In Persian].
- Purvis D, Robinson E, Merry S, Watson P. Acne, anxiety, depression and suicide in teenagers: a cross-sectional survey of New Zealand secondary school students. *J Paediatr Child Health* 2006; 42(12): 793-6.
- Baghestani SH, Mosallanejad Z, Zare SH, Sharifi SM. Acne vulgaris and quality of life in medical student – Bandar Abbas, Iran, 2008. *Hormozgan Med J* 2010; 14(2): 91-7. [In Persian].

Comparison of Anxiety, Depression, Stress and Quality of Life in Patients Acne and Healthy Individuals

Mohammad Ali Nilforoushzadeh MD¹, Niloufar Hamidinasab²,
Mohammad Reza Nilipour-Tabatabaei³, Asieh Heidari³, Sayed Mohsen Hosseini PhD⁴

Original Article

Abstract

Background: Acne vulgaris is a chronic inflammatory skin disease that its side effects like hyper-trophic and atrophic scars and long-term pigmentation has adverse psychological effects on the individual. This study aimed to compare the psychological effects and quality of life in two groups of patients with acne and Healthy individuals.

Methods: In this case-control study, 100 patients with and 100 individuals without acne were selected. The prevalence and severity of psychological effects, including depression, anxiety and stress was assessed using Depression Anxiety Stress Scale (DASS) questionnaire and quality of life was assessed using World Health Organization Quality of Life-BREF (WHOQOL-BREF) questionnaire. The data were compared between the two groups.

Findings: In two groups of patients and controls, 7% and 8% had minor depression, respectively, 5% of patients had moderate depression and 2% of the control group had severe depression with no significant difference between the both groups ($P = 0.070$). In patients and control groups, 7% and 5% had mild, 4% and 2% had moderate and 1% and 2% had severe anxiety, respectively with no significance difference between the both groups ($P = 0.660$). In addition, 8% of patients and 1% of controls suffered from mild stress; the level of stress had significant difference between the both groups ($P = 0.017$). The score of quality of life was 80.00 ± 11.19 and 79.30 ± 10.73 in patients and controls, respectively with no significant difference between the two groups ($P = 0.940$).

Conclusion: The prevalence of psychological effects was higher in patients. On the other hand, patients with acne (mainly mild and moderate) had a lesser degree of support from others, quality of life and health satisfaction. So, it is necessary to evaluate psychological aspects in patients with mild to moderate acne.

Keywords: Acne vulgaris, Psychological effects, Quality of life

Citation: Nilforoushzadeh MA, Hamidinasab N, Nilipour-Tabatabaei MR, Heidari A, Hosseini SM. Comparison of Anxiety, Depression, Stress and Quality of Life in Patients Acne and Healthy Individuals. J Isfahan Med Sch 2016; 33(365): 2309-15

1- Associate Professor, Skin and Stem cell Research Center, Tehran University of Medical Sciences, Tehran, Iran

2- Student of Medicine, Najafabad Branch, Islamic Azad University AND Skin Diseases and Leishmaniasis Research Center, Isfahan University of Medical Sciences, Isfahan, Iran

3- Skin Diseases and Leishmaniasis Research Center, Isfahan University of Medical Sciences, Isfahan, Iran

4- Professor, Skin Diseases and Leishmaniasis Research Center AND Department of Biostatistics and Epidemiology, School of Health, Isfahan University of Medical Sciences, Isfahan, Iran

Corresponding Author: Asieh Heidari, Email: ac.heidari@yahoo.com

تأثیر آلوئهورا بر نفروتوکسیسیتی کلیوی ناشی از جنتامايسین

دکتر مرضیه کافشانی^۱، شبنم حاجیان^۲، دکتر محمود رفیعیان کوپایی^۳

مقاله کوتاه

چکیده

مقدمه: گیاه آلوئهورا، یکی از گیاهان شناخته شده‌ای است که ژل آن کاربرد وسیعی در طب سنتی دارد. هدف از انجام این مطالعه، بررسی میزان فعالیت آنتی‌اکسیدانی و اندازه‌گیری ترکیبات فلاونوئیدی و فنولی عصاره‌ی آلوئهورا و تأثیر درمانی آن بر اثرات نفروتوکسیسیتی ناشی از مصرف جنتامايسین بود.

روش‌ها: این مطالعه، بر روی ۶۰ سرت نر نژاد ویستان انجام شد که به طور تصادفی به ۶ گروه ۱۰ تابی تقسیم شدند. موش‌های گروه ۱ (گروه شاهد) آب مقطر، گروه ۲ روزانه ۳۰۰ میلی‌گرم/کیلوگرم عصاره‌ی آلوئهورا به مدت ۳ روز به صورت خوارکی و سپس، ۸۰ میلی‌گرم/کیلوگرم جنتامايسین به مدت ۷ روز به صورت تزریق وریدی، گروه ۳ روزانه همان میزان عصاره‌ی آلوئهورای خوارکی به مدت ۱۰ روز، گروه ۴ روزانه همان میزان جنتامايسین وریدی به مدت ۷ روز، گروه ۵ روزانه همان میزان جنتامايسین وریدی به مدت ۷ روز و سپس محلول سالین، به مدت ۱۰ روز و گروه ۶ روزانه همان میزان جنتامايسین وریدی به مدت ۷ روز و سپس همان میزان عصاره‌ی آلوئهورای خوارکی به مدت ۱۰ روز دریافت کردند. در پایان، تمامی حیوانات با رعایت اصول اخلاقی کشته شدند.

یافته‌ها: میزان فلاونوئید و ترکیبات فنولیک در عصاره‌ی آلوئهورا به ترتیب برابر با $3/8 \pm 43/0$ میلی‌گرم/گرم معادل Rutin و $3/8 \pm 80/1$ میلی‌گرم/گرم معادل اسید گالیک و فعالیت آنتی‌اکسیدانی عصاره، ۳۸ درصد بود. شدت نفروتوکسیسیتی در گروه ۲، تفاوت معنی‌داری در مقایسه با گروه شاهد و گروه ۳ نداشت. همچنین، شدت نفروتوکسیسیتی در گروه‌های ۴، ۵ و ۶ به طور معنی‌داری بیشتر از گروه شاهد و گروه‌های ۲ و ۳ بود.

نتیجه‌گیری: آلوئهورا با وجود ترکیبات فنولی و آنتی‌اکسیدانی، توانست سبب پیش‌گیری یا کاهش تخریب توبول‌های کلیوی در اثر مصرف جنتامايسین شود.

وازگان کلیدی: آلوئهورا، جنتامايسین، نفروتوکسیسیتی، حفاظت کلیه، نارساپی کلیه، توبولار توکسیسیتی

ارجاع: کافشانی مرضیه، حاجیان شبنم، رفیعیان کوپایی محمود. تأثیر آلوئهورا بر نفروتوکسیسیتی کلیوی ناشی از جنتامايسین. مجله دانشکده پزشکی اصفهان ۱۳۹۴؛ ۳۳: ۲۳۲۰-۲۳۱۶.

مکانیسم‌های متفاوت مثل پراکسیداسیون چربی‌های غشا، دناتوره شدن پروتئین‌ها و آسیب DNA می‌شود (۶-۸). امروزه، گیاهان دارویی به دلیل خواص آنتی‌اکسیدانی جایگاه چشم‌گیری در درمان بیماری‌های کلیوی دارند (۹-۱۱). گیاه آلوئهورا و دیگر گیاهان دارای خاصیت آنتی‌اکسیدانی، کاربرد وسیعی در طب سنتی دارند (۱۲-۱۳). به تازگی، خواص درمانی گیاه آلوئهورا، مورد توجه بیشتری قرار گرفته است و برای درمان مشکلات گوارشی، التهاب پوست، دیابت و زخم معدله مورد استفاده قرار می‌گیرد (۱۴-۱۷). همچنین، از دیگر خواص درمانی این گیاه، می‌توان به اثرات ضد التهابی و ضد پیری آن اشاره نمود (۱۸-۱۹). در بررسی‌های انجام شده، مطالعه‌ای در زمینه‌ی خواص آلوئهورا

مقدمه

جنتامايسین، آنتی‌بیوتیکی آمینوگلیکوزیدی است که به طور گسترده برای درمان عفونت‌های گرم منفی مورد استفاده قرار می‌گیرد. مصرف جنتامايسین، به طور کلی منجر به نفروتوکسیسیتی وابسته به دز در ۱۰-۲۰ درصد موارد درمانی می‌شود (۱-۲).

جنتامايسین، باعث نکروز توبولی و به دنبال آن سبب افزایش کراتینین سرم، نیتروژن اورهی خون و کاهش فیلتراسیون گلومرولی می‌گردد. جنتامايسین، سبب تولید پراکسید هیدروژن در میتوکندری قشر کلیه‌ی موش صحراوی و افزایش تولید گونه‌های اکسیژن فعال می‌شود (۳-۵). تولید غیر طبیعی پراکسید هیدروژن در میتوکندری قشر کلیه‌ی رت، سبب آسیب سلولی، نکروز سلولی از طریق

- متخصص تغذیه، دانشکده تغذیه و علوم غذایی، دانشگاه علوم پزشکی اصفهان، ایران
- کارشناس ارشد، مرکز تحقیقات گیاهان دارویی، دانشگاه علوم پزشکی شهرکرد، شهرکرد، ایران
- استاد، مرکز تحقیقات گیاهان دارویی، دانشگاه علوم پزشکی شهرکرد، شهرکرد، ایران

Email: rafieian@yahoo.com

نویسنده‌ی مسؤول: دکتر محمود رفیعیان کوپایی

حیوانات آزمایشگاهی: ۶۰ موش صحرایی نژاد ویستار در محدوده وزنی ۲۵۰-۲۰۰ گرم، از دانشگاه جندی‌شاپور اهواز خریداری شد. موش‌ها به طور تصادفی به ۱۰ گروه ۱۰ تایی تقسیم و به مدت یک هفته در دمای ۲۵-۲۲ درجه سانتی‌گراد نگهداری شدند؛ در حالی که به آب و غذا آزادانه دسترسی داشتند. در طول مدت آزمایش، سلامت حیوانات بررسی شد.

موش‌های گروه ۱ (گروه شاهد) آب مقطر دریافت نمودند. موش‌های گروه ۲، روزانه ۳۰۰ میلی‌گرم/کیلوگرم عصاره آلوئهورا به مدت ۳ روز به صورت خوراکی دریافت نمودند و سپس، ۸۰ میلی‌گرم/کیلوگرم جنتامایسین به مدت ۷ روز به صورت داخل وریدی به آن‌ها تزریق گردید که این گروه به منظور بررسی اثرات پیش‌گیری کننده آلوئهورا در نظر گرفته شد.

به موش‌های گروه ۳، روزانه ۳۰۰ میلی‌گرم/کیلوگرم عصاره آلوئهورا به مدت ۱۰ روز داده شد تا اثر آلوئهورا در موش سالم بررسی گردد و به موش‌های گروه ۴، روزانه به مدت ۷ روز ۸۰ میلی‌گرم/کیلوگرم جنتامایسین تزریق گردید تا اثر جنتامایسین بر آسیب بافتی به تنها بیانی بررسی شود. به موش‌های گروه ۵، روزانه ۸۰ میلی‌گرم/کیلوگرم جنتامایسین به مدت ۷ روز تزریق گردید و سپس، محلول سالین به مدت ۱۰ روز به آن‌ها داده شد؛ این گروه با هدف کورسازی در نظر گرفته شد. موش‌های گروه ۶، روزانه به مدت ۷ روز ۸۰ میلی‌گرم/کیلوگرم جنتامایسین به صورت تزریق وریدی و سپس، به مدت ۱۰ روز آلوئهورا دریافت نمودند که این گروه به منظور بررسی اثر درمانی آلوئهورا در نظر گرفته شد.

سپس، تمامی رت‌ها با اتر بیهود و کلیه حیوانات جهت مطالعات بافتی برداشته شد و پس از شستشو با سرم فیزیولوژی، به مدت ۱۲ ساعت در فرمالین ۱۰ درصد قرار داده شد. در مرحله‌ی بعد، از بافت‌ها آب‌گیری و سپس قالب‌گیری به عمل آمد.

برش‌های میکروتونی به ضخامت ۵ میکرون تهیه و به روش Hematoxylin-eosin بافت‌ها کلیه از لحاظ واکوئله شدن سلول‌های اپی‌تیال، تخریب بافتی، هیالین کست، صاف شدگی توبول‌های کلیه، اتساع لومن و تخریب سلول‌های لومن بررسی گردید و بر اساس آسیب بافتی، از ۱-۵ درجه‌بندی شد؛ به بافت سالم نمره‌ی صفر تعلق گرفت. این مطالعه، توسط کمیته‌ی اخلاق مرکز تحقیقات گیاهان دارویی دانشگاه علوم پزشکی شهرکرد تصویب گردید.

تجزیه و تحلیل آماری: داده‌ها بر اساس میانگین ± انحراف معیار ارایه شد. برای مقایسه میزان آسیب بافتی در بین گروه‌ها، از آزمون‌های Kruskal-Wallis و Mann-Whitney استفاده شد.

در حفاظت کلیوی یافت نشد. از این رو، هدف از انجام این مطالعه، بررسی خاصیت حفاظتی آلوئهورا در برابر نفوروتوکسیک ناشی از جنتامایسین در موش صحرایی نر و اندازه‌گیری فعالیت آنتی‌اکسیدانی و میزان فلاونوئید و ترکیبات فنولیک این گیاه بود.

روش‌ها

استخراج عصاره: برگ آلوئهورا (*Aloe barbadensis Mill*) پس از تهیه، در مرکز تحقیقات گیاهان دارویی دانشگاه علوم پزشکی شهرکرد تأیید شد. پس از شستشوی برگ‌های تازه و سالم آلوئهورا، آب‌درم برگ‌ها جدا شد و پالپ موسیلاژی درونی با مخلوط کن هموژنیزه گردید و عصاره‌ی آن با اتانول ۸۰ درصد به روش خیساندن استخراج شد. برای حذف فیبر، محلول به دست آمده فیلتر گردید و در

Rotary evaporator تبخیر و خشک شد.

اندازه‌گیری میزان فلاونوئید عصاره: در این مطالعه، از *Rutin* و گالیک اسید به ترتیب به عنوان یک استاندارد برای اندازه‌گیری میزان فلاونوئیدها و ترکیبات فنولی استفاده گردید. ترکیبات فلاونوئیدی گیاه، به روش رنگ‌سنگی کلرید آلومینیوم تعیین شد. بدین صورت که ابتدا محلول‌های استاندارد با غلاظت‌های مختلف ۲۵، ۵۰، ۱۰۰، ۲۵۰ و ۵۰۰ در میلیون (ppm) در اتانول ۶۰ درصد تهیه و ۱ میلی‌لیتر از هر یک از محلول‌ها به لوله‌های آزمایش منتقل شد. آن‌گاه، ۱ میلی‌لیتر از محلول کلرید آلومینیوم ۲ درصد و ۶ میلی‌لیتر از محلول ۵ درصد استات پتاسیم به آن افزوده شد و پس از مدت ۳۰ دقیقه جذب نوری در طول موج ۴۱۵ نانومتر خوانده شد.

اندازه‌گیری فعالیت آنتی‌اکسیدانی گیاه: فعالیت آنتی‌اکسیدانی به روش لینولئیک اسید اندازه‌گیری شد. روش کار به این صورت بود که ۲۰۰ میلی‌گرم/لیتر عصاره به ترکیبی از اسید لینولئیک ۲/۵۱ درصد در ۲ میلی‌لیتر اتانول، ۲ میلی‌لیتر بافر سففات ۰/۰۵ مولار و ۲ میلی‌لیتر آب مقدار اضافه شد و در حرارت ۴۰ درجه سانتی‌گراد قرار گرفت. جذب نوری نمونه پس از ۶ و ۱۲ ساعت اندازه‌گیری و هر ۱۲ ساعت تکرار شد. برای اندازه‌گیری جذب نوری نمونه‌ها، ۰/۱ سی‌سی از امولسیون تهیه شده به ۹/۷ سی‌سی اتانول ۷۵ درصد، ۰/۱ سی‌سی کلرید ۲/۰ مولار در محلول هیدروکلریک اسید ۱۰ درصد افزوده شد. پس از ۳ دقیقه، تیوسیونات آمونیوم ۳۰ درصد به محلول اضافه و جذب نوری نمونه‌ها در طول موج ۵۰۰ نانومتر اندازه‌گیری شد. روش ذکر شده، بر اساس اکسیداسیون آهن دو ظرفیتی توسط پراکسیداز می‌باشد. تیوسیونات آمونیوم، کمپلکس قرمز رنگ تشکیل می‌دهد که آهن سه ظرفیتی با بیشترین جذب در طول موج ۵۰۰ نانومتر و شاخص اندازه‌گیری میزان پراکسید موجود در نمونه‌ها می‌باشد.

همچنین، بیشترین شدت آسیب کلیوی در گروه ۶ که با آلوئهورا درمان شده بودند، دیده شد. بنا بر این، می‌توان نتیجه‌گیری کرد که گیاه آلوئهورا، نمی‌تواند اثر پروفیلاکسی یا درمانی بر نفوروتوکسیسیتی ناشی از جنتامایسین داشته باشد. با توجه به نتایج تحقیقات انجام شده، جنتامایسین به دلیل میل ترکیبی بالا با بافت کلیه، از طریق متابولیت‌های اکسیژن فعلی، منجر به سمیت و تخرب بافت قشری کلیه می‌شود (۲۰-۲۴).

جنتامایسین، به طور معمول در لوله‌ی پروگریمال تجمع می‌باید و باعث افزایش تولید پراکسید هیدروژن در میتوکندری می‌شود. اکسیداتیو استرس در غشاء میتوکندری، منجر به آزاد شدن آهن از میتوکندری و تشکیل کمپلکس با جنتامایسین می‌شود که موجب تسریع اکسیداتیو استرس در بافت کلیه می‌گردد. در مطالعات حیوانی، آنتی‌اکسیدان‌های مصنوعی نقش حفاظتی مؤثری در ممانعت از نفوروتوکسیسیتی ناشی از جنتامایسین دار (۱۰-۱۱). اگر چه با توجه به مطالعات بالینی، هیچ یک از این ترکیبات، به طور کامل اثر پیش‌گیری کننده ندارند.

به تازگی، استفاده از آنتی‌اکسیدان‌های طبیعی که نسبت به انسواع مصنوعی آن عوارض جانبی کمتری دارند، مورد توجه قرار گرفته است. آلوئهورا، یکی از این مواد طبیعی می‌باشد که با توجه به ترکیبات آن شامل ویتامین‌ها، آنزیم‌ها، مواد معدنی، قند، لیگنین‌ها، ساپونین‌ها، اسید سالیسیلیک، اسیدهای امینه و پلی‌فنول‌ها از جمله آلوئه‌امدین و آلوئین که دارای خواص ضد التهابی و ضد سرطان می‌باشد، انتظار می‌رود نقش محافظت کننده در نفوروتوکسیسیتی داشته باشد؛ اگر چه بیشتر پلی‌فنول‌های موجود در آن، ممکن است به تنها یا در حضور ترکیباتی مانند مس خاصیت پرواکسیدانی داشته باشد (۲۴-۲۷).

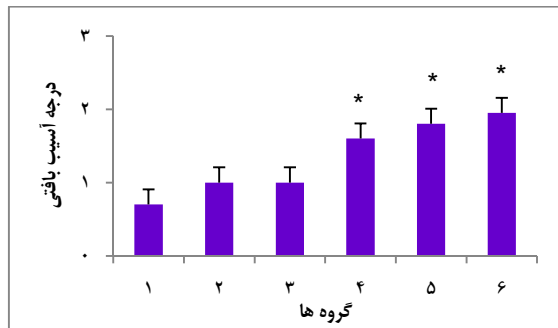
از دیگر ترکیبات قابل ذکر و مهم آلوئهورا که در ترمیم بافت‌ها نقش دارد، می‌توان به گلکومانان که یک منبع غنی از پلی‌ساکارید مانوز است و هورمون رشد ژیبرلین اشاره نمود. ژیبرلین، موجب تحريك گیرنده‌های عامل رشد فیبروبلاست می‌شود و در نتیجه، ستنز کلائزن پس از تماس و مصرف آلوئهورا به طور چشم‌گیری افزایش می‌باید (۲۵-۲۷، ۱۶-۱۸). همچنین، با مصرف آلوئهورا، افزایش تحريك ستنز اسید هیالورونیک و درمانی سولفات، در گرانولهای بافت آسیب دیده منجر به بهبودی زخم می‌شود (۲۶، ۲۵-۲۷، ۱۶-۱۸).

در این مطالعه، خاصیت آنتی‌اکسیدانی آلوئهورا اثبات شد که این نتیجه، مشابه نتایج سایر تحقیقات در این زمینه می‌باشد. از طرفی، در مطالعه‌ی حاضر، وجود ترکیبات فنولی و فلاونوئیدها در آلوئهورا نشان داده شد که مشابه یافته‌های پیشین است که بیان داشتند، خواص آنتی‌اکسیدانی آلوئهورا مربوط به حضور فنول‌ها، فلاونوئیدها،

$P < 0.05$ به عنوان سطح معنی‌داری در نظر گرفته شد.
داده‌های آماری با استفاده از نرم‌افزار SPSS نسخه‌ی ۱۶ (SPSS Inc., Chicago, IL) تجزیه و تحلیل گردید.

یافته‌ها

پیش‌تر گفته شد که در این مطالعه، از Rutin و گالیک اسید به ترتیب به عنوان استاندارد برای اندازه‌گیری میزان فلاونوئیدها و ترکیبات فنولی استفاده گردید. مقدار فلاونوئیدها در عصاره‌ی آلوئهورا برابر با 43.0 ± 8.3 میلی‌گرم/گرم معادل Rutin و مقدار ترکیبات فنولی مساوی 80.1 ± 3.8 میلی‌گرم/گرم معادل گالیک اسید) به دست آمد. همچنین، میزان فعالیت آنتی‌اکسیدانی عصاره برابر با 38.4 ± 3.8 درصد بود. درجه‌ی آسیب پاتولوژی برای همه‌ی گروه‌ها در شکل ۱ آمده است. شدت نفوروتوکسیسیتی در گروه ۲ که 300 میلی‌گرم/کیلوگرم عصاره‌ی آلوئهورا به عنوان پیش‌گیری دریافت کردند، در مقایسه با گروه شاهد و گروه ۳، تفاوت معنی‌داری نداشت ($P > 0.05$). شدت نفوروتوکسیسیتی در گروه‌های ۴، ۵ و ۶ به طور معنی‌داری نسبت به گروه‌های ۱، ۲ و ۳ بیشتر بود؛ به طوری که گروه ۶ بیشترین شدت نفوروتوکسیسیتی را داشت، اما بین گروه‌های ۴، ۵ و ۶ تفاوت معنی‌داری وجود نداشت ($P > 0.05$) (شکل ۱).



شکل ۱. اثرات درمانی و حفاظتی عصاره‌ی آلوئهورا بر نفوروتوکسیتی ناشی از جنتامایسین در موش صحرایی نر

گروه ۱: شاهد، گروه ۲: دریافت عصاره‌ی آلوئهورا به مدت ۳ روز، سپس تزریق جنتامایسین به مدت ۷ روز، گروه ۳: دریافت عصاره‌ی آلوئهورا به مدت ۱۰ روز، گروه ۴: تزریق جنتامایسین به مدت ۷ روز، گروه ۵: تزریق جنتامایسین به مدت ۷ روز و سالین به مدت ۱۰ روز، گروه ۶: تزریق جنتامایسین به مدت ۷ روز و درمان با آلوئهورا به مدت ۱۰ روز ($P > 0.05$).

بحث

در این مطالعه، مشاهده شد که شدت نفوروتوکسیسیتی در گروه ۲ که عصاره‌ی آلوئهورا به عنوان پیش‌گیری دریافت کردند، در مقایسه با گروه شاهد و گروه ۳ که همان دز مصرفی عصاره‌ی آلوئهورا را بدون تزریق جنتامایسین دریافت کردند، تفاوت معنی‌داری نداشت.

آنتی اکسیدانی، ممکن است بتواند سبب پیشگیری یا کاهش تخریب توبولهای کلیوی در اثر مصرف جنتامایسین شود. با توجه به نتایج به دست آمده، مطالعات بالینی دقیق‌تری برای کاربرد بالینی و میران اثربخشی این گیاه مورد نیاز است.

تشکر و قدردانی

بدین‌وسیله از معاونت پژوهشی دانشگاه علوم پزشکی شهرکرد به دلیل تأمین بودجه طرح تشکر و قدردانی می‌شود.

اسکوربیک اسید، بتاکاروتون و آلفا توکوفرول می‌باشد (۱۶-۱۸). با توجه به ترکیبات موجود در آلوئهورا، اثر پیشگیری کننده یا درمانی در نفرو توکسیسیتی ناشی از جنتامایسین مورد انتظار بود که چنین اثری مشاهده نشد.

از نقاط ضعف این مطالعه، می‌توان به یکسان نبودن زمان مطالعه‌ی گروه‌های مختلف اشاره کرد. همچنین، تعیین گونه‌ی آلوئهورا نیز انجام نشد. بنا بر این، با توجه به مطالعات محدود در این زمینه، انجام مطالعات دقیق‌تر ضروری به نظر می‌رسد. نتیجه‌گیری نهایی این که آلوئهورا با داشتن ترکیبات فنولی و

References

1. Tavaří M. Inhibition of gentamicin-induced renal tubular cell necrosis. *J Nephropathol* 2012; 1(2): 83-6.
2. Tamadon MR, Ardalan MR, Nasri H. World Kidney Day 2013; acute renal injury; a global health warning. *J Parathyroid Dis* 2013; 1(2): 27-8.
3. Baradaran A. Ameliorative properties of herbal drugs on diabetic kidney disease. *Acta Epidemiolocrinol* 2016; 1(1): e01.
4. Nasri H. Herbal drugs and new concepts on its use. *J Prev Epidemiol* 2016; 1:e01.
5. Kafeshani M. Ginger, micro-inflammation and kidney disease. *J Renal Endocrinol* 2015; 1: e04.
6. Spasovski D. Renal markers for assessment of renal tubular and glomerular dysfunction. *J Nephropharmacol* 2013; 2: 23-5.
7. Gheissari A. Acute kidney injury and renal angina. *J Renal Inj Prev* 2013; 2(2): 33-4.
8. Gupta A, Chaphalkar S. Immunopharmacological screening of aqueous root extract of Santalum album. *J HerbMed Pharmacol* 2016; 5(1): 7-11.
9. Kafeshani M. Diet and immune system. *Immunopathol Persa*. 2015; 1(1): e04.
10. Mirazi N, Rezaei M, Mirhoseini M. Hypoglycemic effect of Satureja montanum L. hydroethanolic extract on diabetic rats. *J HerbMed Pharmacol* 2016; 5(1): 17-22.
11. Baradaran A. Vascular protective effects of herbal antioxidants. *Angiol Persica Acta* 2016; 1(1): e01.
12. Sarrafchi A, Bahmani M, Shirzad H, Rafieian-Kopaei M. Oxidative stress and Parkinson's disease: New hopes in treatment with herbal antioxidants. *Curr Pharm Des* 2016; 22(2): 238-246.
13. Rafieian-Kopaei M, Baradaran A, Rafieian M. Plants antioxidants: From laboratory to clinic. *J Nephropathol* 2013; 2(2): 152-3.
14. Rajasekaran S, Ravi K, Sivagnanam K, Subramanian S. Beneficial effects of aloe vera leaf gel extract on lipid profile status in rats with streptozotocin diabetes. *Clin Exp Pharmacol Physiol* 2006; 33(3): 232-7.
15. Nasri H, Rafieian-Kopaei M. Herbal medicine and diabetic kidney disease. *J Nephropharmacol* 2013; 2(1):1-2.
16. Hutter JA, Salman M, Stavinoha WB, Satsangi N, Williams RF, Streper RT, et al. Antiinflammatory C-glucosyl chromone from Aloe barbadensis. *J Nat Prod* 1996; 59(5): 541-3.
17. Chithra P, Sajithlal GB, Chandrasekaran G. Influence of Aloe vera on collagen characteristics in healing dermal wounds in rats. *Mol Cell Biochem* 1998; 181(1-2): 71-6.
18. Hu Y, Xu J, Hu Q. Evaluation of antioxidant potential of aloe vera (Aloe barbadensis miller) extracts. *J Agric Food Chem* 2003; 51(26): 7788-91.
19. Saki K, Hassanzad-Azar H, Naghdi N, Bahmani M. Ginkgo biloba; an effective medicinal plant on neurological disorders. *J Prev Epidemiol* 2016; 1: e03.
20. Ardalan MR, Rafieian-Kopaei M. Is the safety of herbal medicines for kidneys under question? *J Nephropharmacol* 2013; 2(2): 11-2.
21. Ardalan MR, Sanadgol H, Nasri H, Baradaran A, Tamadon MR, Rafieian-Kopaei R. Impact of vitamin D on the immune system in kidney disease. *J Parathyroid Dis* 2013; 1(2): 17-20.
22. Nasri H. Cisplatin and renal injury; current concepts. *J Renal Inj Prev* 2013; 2(3): 89-90.
23. Rafieian-Kopaei M, Baradaran A. On the occasion of world diabetes day 2105; act today to change tomorrow. *J Renal Endocrinol* 2015; 1: e02.
24. Nasri H, Abedi-Gheshlaghi Z, Rafieian-Kopaei M. Curcumin and kidney protection; current findings and new concepts. *Acta Persica Pathophysiol*. 2016; 1(1): e01.
25. Ro JY, Lee BC, Kim JY, Chung YJ, Chung MH, Lee SK, et al. Inhibitory mechanism of aloe single component (alprogen) on mediator release in guinea pig lung mast cells activated with specific antigen-antibody reactions. *J Pharmacol Exp Ther* 2000; 292(1): 114-21.
26. Paulsen E, Korsholm L, Brandrup F. A double-blind, placebo-controlled study of a commercial Aloe vera gel in the treatment of slight to moderate psoriasis vulgaris. *J Eur Acad Dermatol Venereol* 2005; 19(3): 326-31.
27. Khodadadi S. Role of herbal medicine in boosting immune system. *Immunopathol Persa*. 2015; 1(1): e01.

The Effects of Aloe Vera against Gentamicin-Induced Tubular Toxicity

Marzieh Kafeshani PhD¹, Shabnam Hajian MSc², Mahmoud Rafieian-Kopaei PhD³

Short Communication

Abstract

Background: Aloe vera is a well-known plant, has been used as alternative medicine. This study aimed to determine the antioxidant activity and phenolic and flavonoid quantities of Aloe vera to investigate the nephroprotective and curative effects of aqueous extract of this plant on gentamicin-induced tubular toxicity in male Wistar rats.

Methods: This preclinical study was performed on 60 male Wistar rats randomly divided into 6 groups of 10. Group I were treated with vehicle (distilled water) as control. Group II received 300 mg/kg/day Aloe vera for three days next orally, then, the same oral Aloe vera plus 80 mg/kg/day intravenous gentamicin for seven more days. Group III received the same amount of oral Aloe vera for 10 days. Group IV received the same amount of intravenous gentamicin for 7 days. Group V received the same amount of intravenous gentamicin for 7 days and then, saline for ten days. Group VI received the same amount of intravenous gentamicin for 7 days and then, the same amount of oral Aloe vera for 10 days.

Findings: The amounts of flavonoid and phenolic component in Aloe vera extract were 43.0 ± 3.8 mg/g of rutin equivalent and 80.1 ± 3.8 mg/g of gallic acid equivalent, respectively. The antioxidant activity of the extract was 38%. The intensity of nephrotoxicity in group 2, which received 300 mg/kg/day Aloe vera orally as prophylaxis was not significantly different from the group I and from the group II, which received the same amount of Aloe vera without gentamicin. In 4, 5, 6 groups the intensity of nephrotoxicity was more than 1, 2 and 3 groups.

Conclusion: This finding reveals that despite the antioxidants and polyphenol compounds of Aloe vera, it cannot prevent or treat the gentamicin-induced nephrotoxicity.

Keywords: Gentamicin, Aloe vera, Nephrotoxicity, Renoprotection, Tubular toxicity, Renal failure

Citation: Kafeshani M, Hajian Sh, Rafieian-Kopaei M. Effects of Aloe Vera against gentamicin-induced tubular toxicity. J Isfahan Med Sch 2016; 33(365): 2316-20

1- School of Nutrition and Food Science, Isfahan University of Medical Sciences, Isfahan, Iran

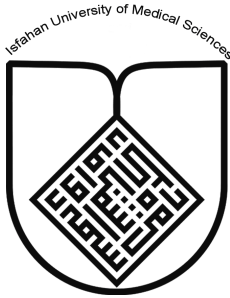
2- Medical Plants Research Center, Shahrekord University of Medical Sciences, Shahrekord, Iran

3- Professor, Medical Plants Research Center, Shahrekord University of Medical Sciences, Shahrekord, Iran

Corresponding Author: Mahmoud Rafieian-Kopaei, Email: rafieian@yahoo.com

Editorial Board (In alphabetical order)

1. **Mojtaba Abtahi** MD, Associate Professor of Otolaryngology, Isfahan University of Medical Sciences, Isfahan, Iran
2. **Khosrow Adeli** PhD, Professor of Clinical Biochemistry, University of Toronto, Toronto, Canada
3. **Mohammad Esmaeil Akbari** MD, Professor of Thoracic Surgery, Tehran University of Medical Sciences, Tehran, Iran
4. **Reza Amin** MD, Professor of Pediatrics, Shiraz University of Medical Sciences, Shiraz, Iran
5. **Babak Amra** MD, Professor of Pulmonology, Isfahan University of Medical Sciences, Isfahan, Iran
6. **Saeid Andalib Jortani** MD, Professor of Pathology, Leuis Weil University, USA
7. **Gholam Reza Askari** MD, PhD of Nutrition, Isfahan University of Medical Sciences, Isfahan, Iran
8. **Reza Bagherian-Sararoudi** PhD, Assistant Professor of Psychiatry, Isfahan University of Medical Sciences, Isfahan, Iran
9. **Majid Barekatain** MD, Professor of Psychiatry, Isfahan University of Medical Sciences, Isfahan, Iran
10. **Ken Bassett** MD, Professor of Dermatology, Dermatology and Leshmaniosis Research Center, Canada
11. **Ahmad Chitsaz** MD, Associate Professor of Neurology, Isfahan University of Medical Sciences, Isfahan, Iran
12. **Afsoon Emami** MD, Associate Professor of Nephrology, Isfahan University of Medical Sciences, Isfahan, Iran
13. **Ali Reza Emami** MD, Associate Professor of Infectious Diseases, Isfahan University of Medical Sciences, Isfahan, Iran
14. **Shahin Emami** Biochemistry and Endocrinology, Saint Antoine Hospital, France
15. **Ebrahim Esfandiary** MD, PhD, Professor of Medical Anatomy, Isfahan University of Medical Sciences, Isfahan, Iran
16. **Faramarz Esmaeil beigi** MD, Professor of Internal Medicine, School of Medicine, USA
17. **Ziba Farajzadegan** MD, Associate Professor of Community Medicine, Isfahan University of Medical Sciences, Isfahan, Iran
18. **Hamid Fesharaki** Associate Professor of Ophthalmology, Isfahan University of Medical Sciences, Isfahan, Iran
19. **Marjane Foladi** PhD of Nursing, University of Flourida, USA
20. **Aziz Gahari** MD, Professor of Dermatology, Dermatology and Leshmaniosis Research Center, Canada
21. **Ali Gheisari** MD, Professor of Cardiovascular Surgery, California, USA
22. **Jafar Golshahi** MD, Associate Professor of Cardiology, Isfahan University of Medical Sciences, Isfahan, Iran
23. **Ali Mohammad Hanjani** MD, Professor of Cardiology, Shiraz University of Medical Sciences, Shiraz, Iran
24. **Mina Hasanzadeh** MD, NeuroImmunology, School of Pharmacy, USA
25. **Saeid Morteza Heidari** MD, Associate Professor of Anesthesiology, Isfahan University of Medical Sciences, Isfahan, Iran
26. **Mansour karamooz** MD, Professor of Urology, California, USA
27. **Roya Kelishadi** MD, Professor of Pediatrics, Isfahan University of Medical Sciences, Isfahan, Iran
28. **Behnaz Khani** MD, Associate Professor of Obstetrics & Gynecology, Isfahan University of Medical Sciences, Isfahan, Iran
29. **Majid Khazaie** MD, PhD, Associate Professor of Medical Physiology, Isfahan University of Medical Sciences, Isfahan, Iran
30. **Parvin Mahzooni** MD, Associate Professor of Pathology, Isfahan University of Medical Sciences, Isfahan, Iran
31. **Majid Maleki** MD, Professor of Cardiology, Shahid Beheshti University of Medical Sciences, Tehran, Iran
32. **Mohammad Mardani** MD, Associate Professor of Medical Anatomy, Isfahan University of Medical Sciences, Isfahan, Iran
33. **Atiye Moghisi** MD, Professor of Endocrinology, Endocrine and Metabolism Research Center, USA
34. **Mehdi Modares** MD, Professor of Ophthalmology, Tehran University of Medical Sciences, Tehran, Iran
35. **Hoshang Moein** MD, Professor of Neurosurgery, Isfahan University of Medical Sciences, Isfahan, Iran
36. **Fereydoun Nouhi** MD, Professor of Cardiology, Tehran University of Medical Sciences, Tehran, Iran
37. **Mohammadreza Nourbakhsh** Associate Professor of Physiotherapy, USA
38. **Farzin Pourfarzad** Department of Cell Biology and Genetics, Erasmus University MC Rotterdam, The Netherlands
39. **Masoud Pourmoghadass** MD, Professor of Cardiology, Isfahan University of Medical Sciences, Isfahan, Iran
40. **Hassan Razmjoo** MD, Professor of Ophthalmology, Isfahan University of Medical Sciences, Isfahan, Iran
41. **Mohammad Reza Safavi** MD, Assistant Professor of Anesthesiology, Isfahan University of Medical Sciences, Isfahan, Iran
42. **Reza Rouzbahani** MD, MPH, Assistant Professor of Community Medicine, Isfahan University of Medical Sciences, Isfahan, Iran
43. **Mansour Sholevar** MD, Associate Professor of Cardiology, Isfahan University of Medical Sciences, Isfahan, Iran
44. **Masoud Soheilian.** MD, Professor of Ophthalmology, Shahid Beheshti University of Medical Sciences, Tehran, Iran



JOURNAL OF ISFAHAN MEDICAL SCHOOL

Vol. 33, No. 365, 1st Week March 2016

Isfahan University of Medical Sciences

Responsible: Mansour Sholehvar MD

Emerita Editor-in-Chief: Roya Kelishadi MD

Editor-in-Chief: Majid Barekatain MD

Associate Editor: Maryam Radahmadi PhD

Published by:

Isfahan University of Medical Sciences
E-mail: publications@mui.ac.ir

Office:

P.O. Box 81744-176, Isfahan, I.R. IRAN
Telefax: +98 31 37922291
E-mail: jims@med.mui.ac.ir
Website: <http://www.journals.mui.ac.ir/jims>

Office Secretary: Golnaz Rajabi

Copy edit, Layout edit, Design and Print:

Farzanegan Radandish Co.
P.O. Box 81465-1798, Isfahan, I.R. IRAN
Telefax: +98 31 36686302
E-mail: esfahanfarzanegan@yahoo.com
f.radandish@gmail.com
www.farzaneganco.ir
Circulation: 500

This journal is indexed in the following international indexers

- Scopus
- Chemical Abstracts
- Islamic World Science Citation Center (ISC)
- Academic Search Complete EBSCO Publishing databases
- WHO/EMRO/Index Medicus
- Google Scholar
- Index Copernicus
- Directory of Open Access Journal (DOAJ)
- Index Academicus
- Scientific Information Database (www.sid.ir)
- www.iranmedex.com

The online version is available in; IUMS website (www.journals.mui.ac.ir/jims), Iran Publications database (www.magiran.com), Scientific Information Database website (www.sid.ir) and in Health Researchers website (www.iranmedex.com).

Copyright: All rights reserved, no part may be reproduced without the prior permission of the publisher.